

ESCUELA

XII Escuela de Arte y Patrimonio «Marcelino Sanz de Sautuola»

El desafío de conservar arte rupestre: Altamira en el siglo XXI

EL SEGUIMIENTO AMBIENTAL EN ALTAMIRA

Carlos Sainz Fernandez

Catedrático de la Universidad de Cantabria



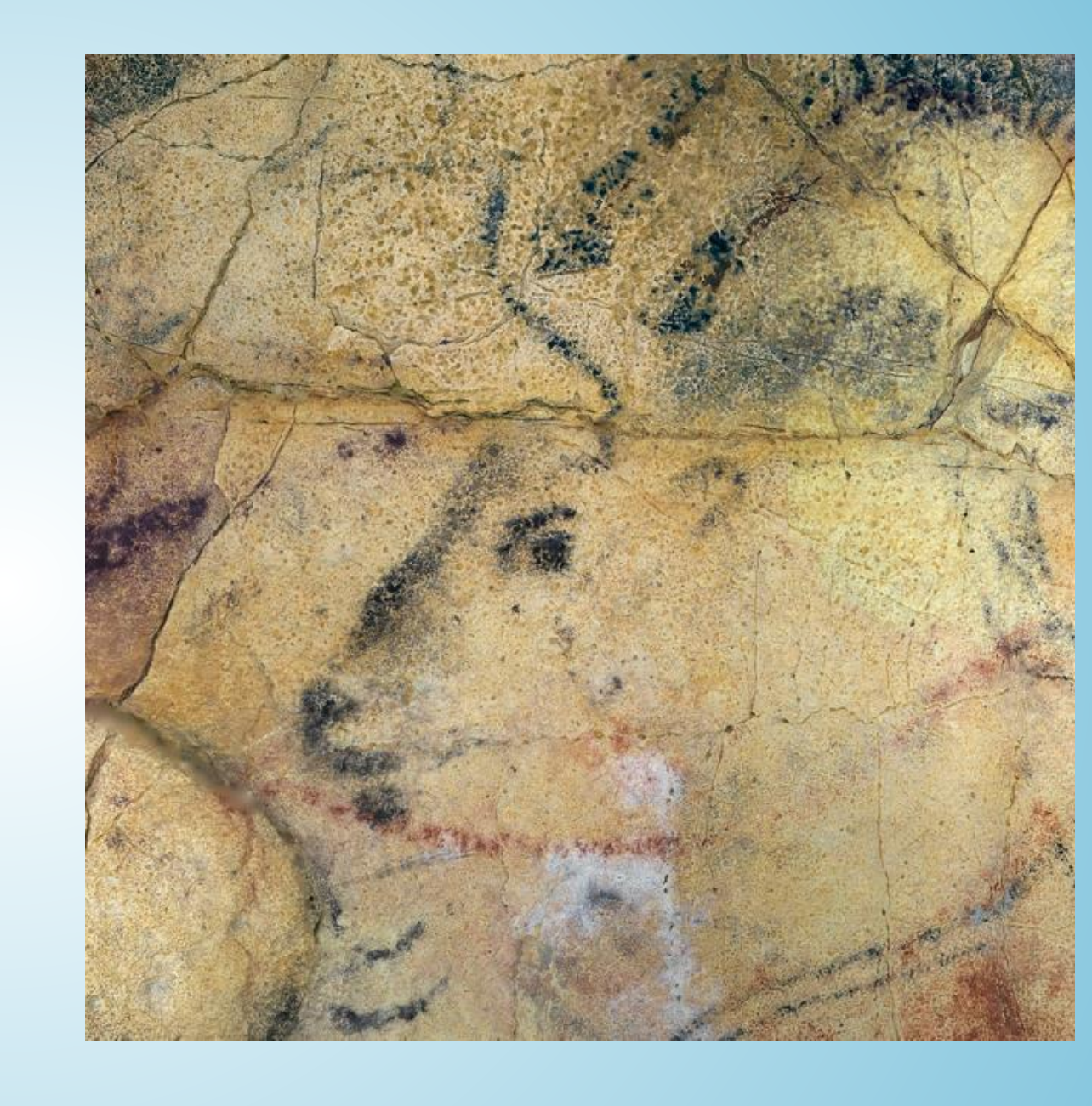


Contexto físico de la cueva de Altamira

¿Qué es el seguimiento ambiental?

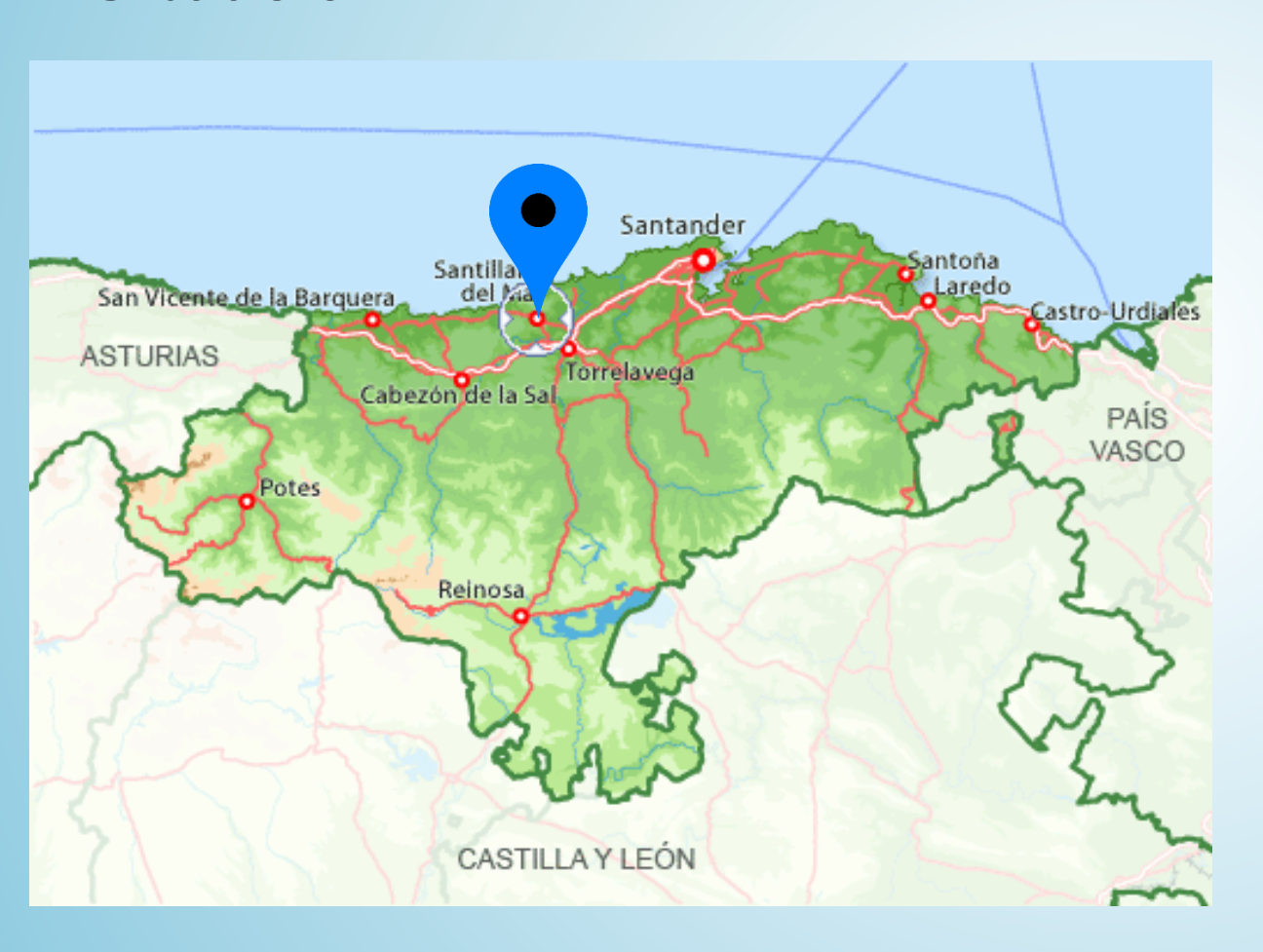
Resultados temperatura, agua, gases, influencia antrópica

Investigación

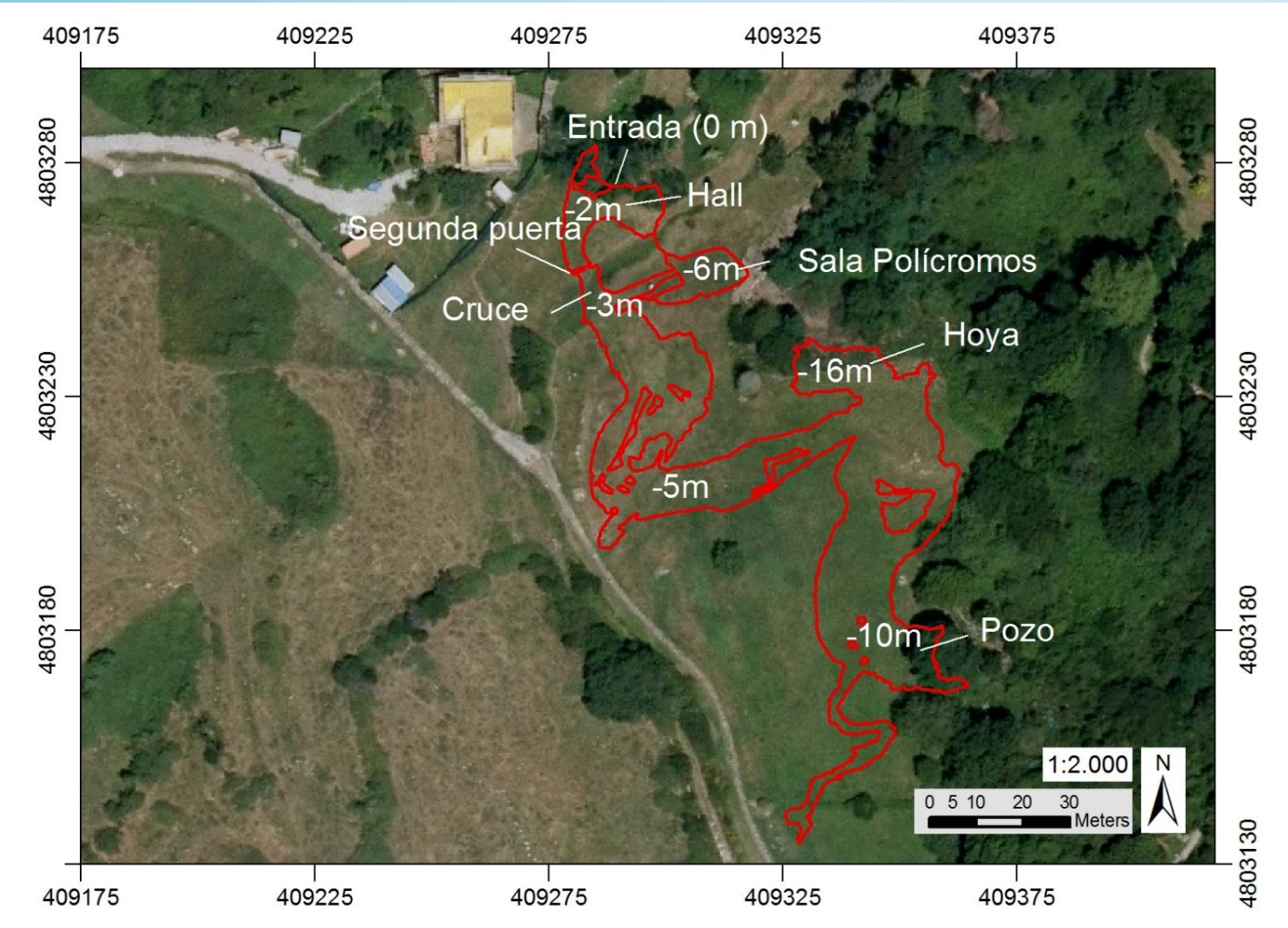


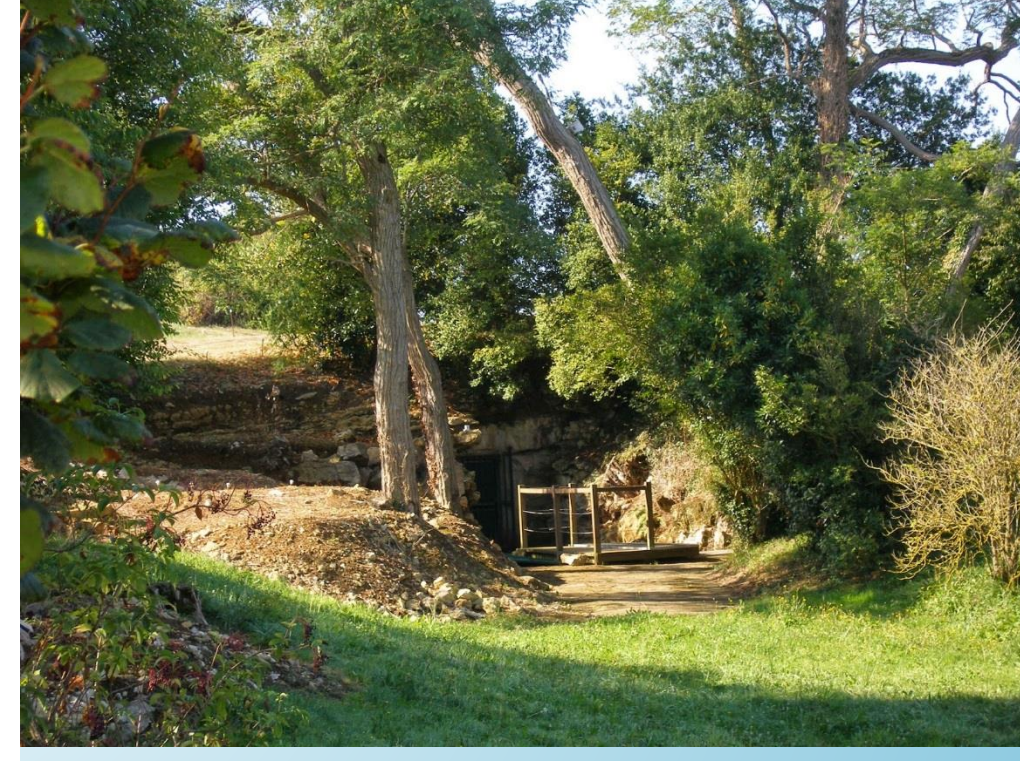
La Cueva de Altamira

Situación

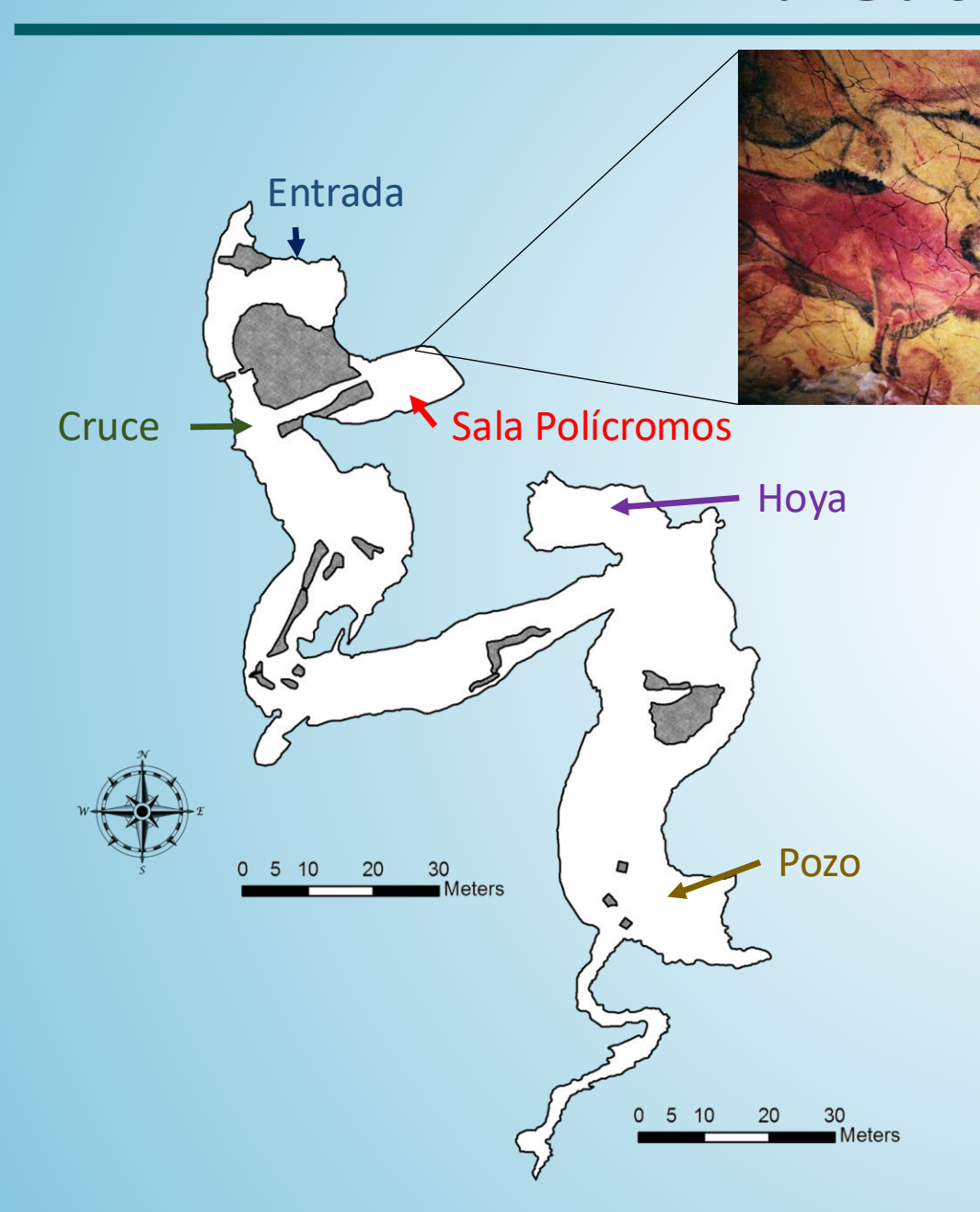


- Santillana del Mar
- Sistema kárstico
- Cueva superficial
- Cota 152 m sobre nivel del mar
- 270 m de longitud





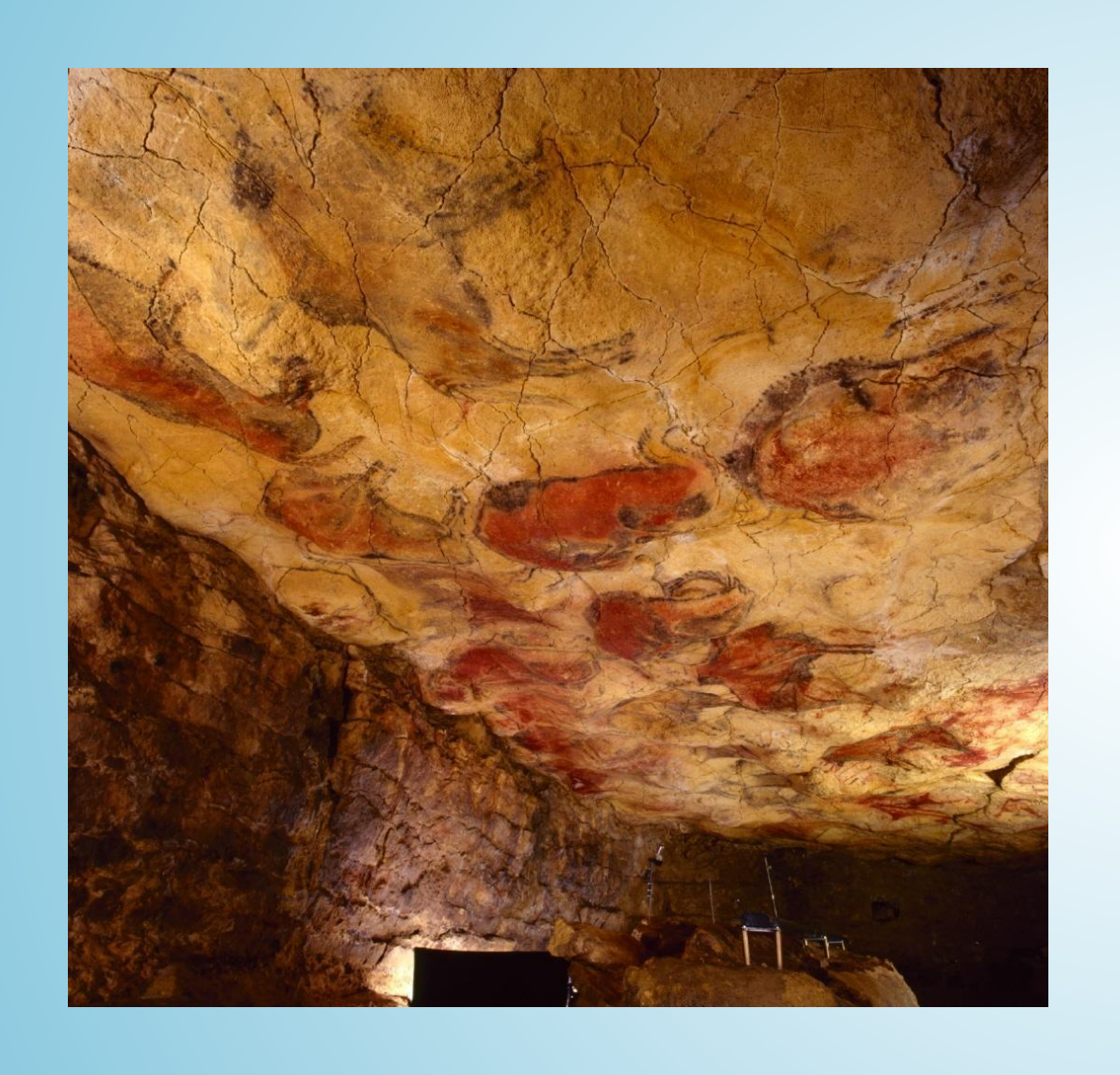
La Cueva de Altamira





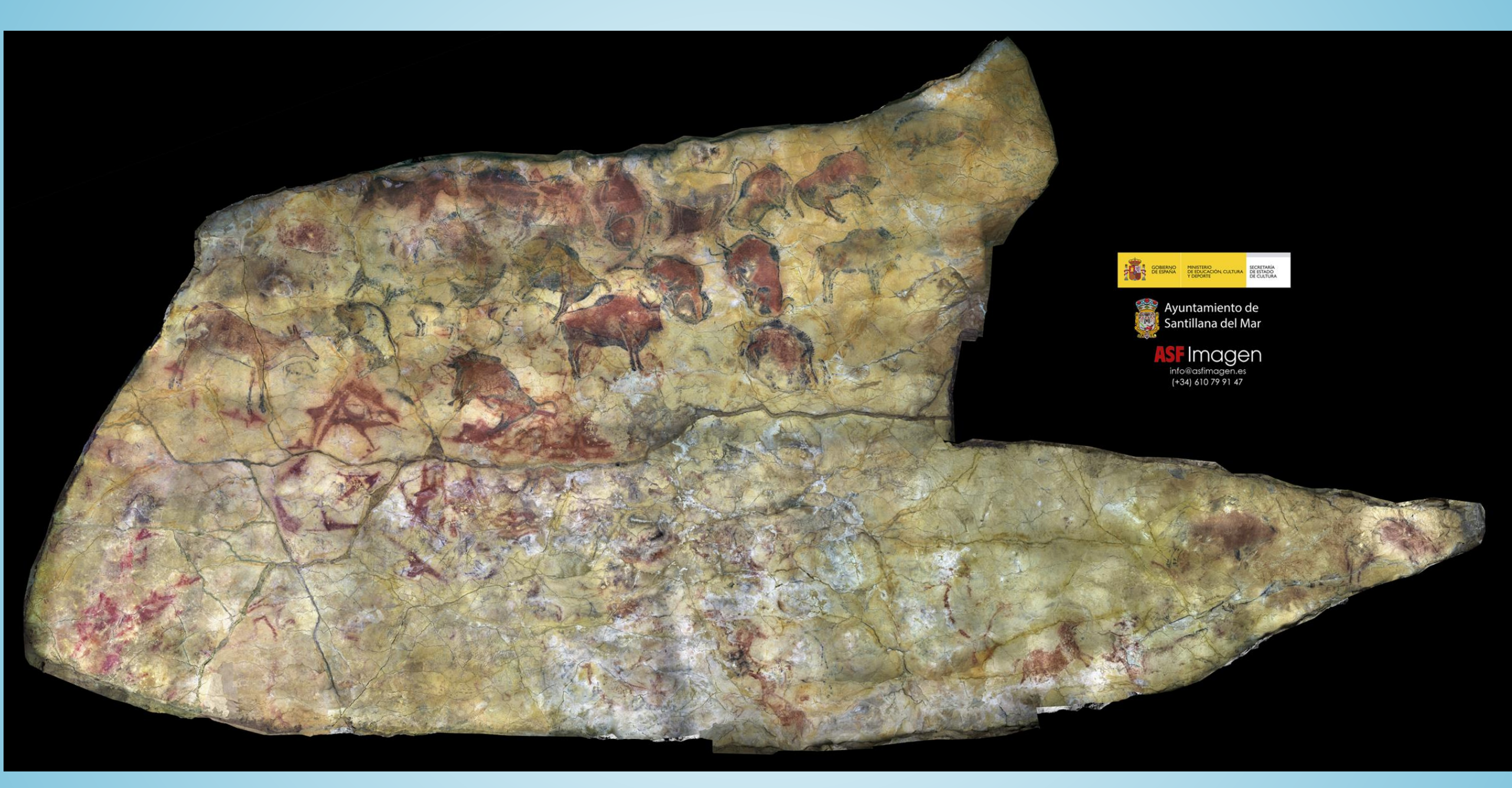
- Descubierta en 1868, Modesto Cubillas.
 - Marcelino Sanz de Sautuola 1875
- Grabados y pinturas por toda la cueva
 - Bisontes, ciervos, caballos y jabalíes
- Edad desde 13.000 hasta 35.600 años BP
- Lista de Patrimonio Mundial por la UNESCO desde 1985

"Valor universal excepcional"



Sala de Polícromos





Estado de conservación tras 30000 años... Sistema de baja oscilación ambiental

¿Condiciones de equilibrio?

¿Cuál es el ambiente "natural"?



¿Cómo conservar el arte?

¿Influencia humana?



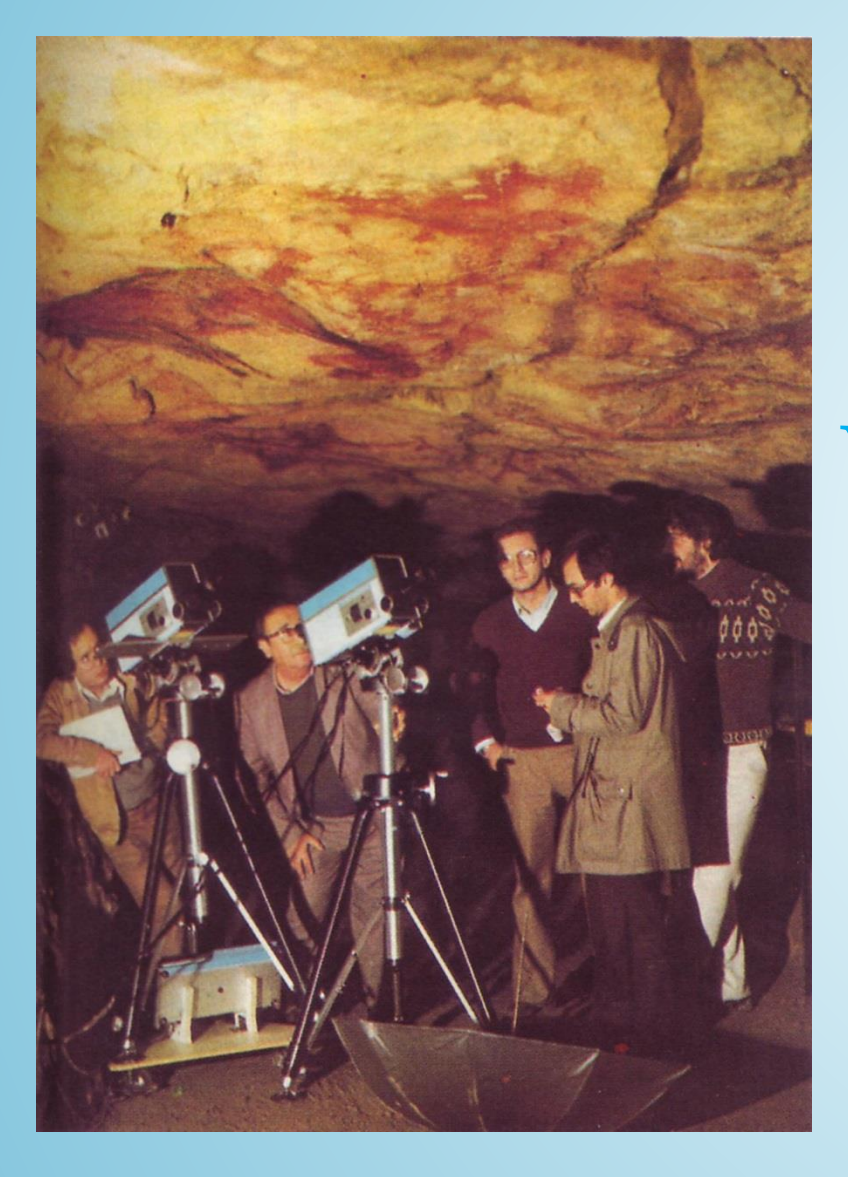
Observación estado (soporte, policromía)

Estabilidad geológica

Condiciones ambientales

Biodeterioro

Accesibilidad



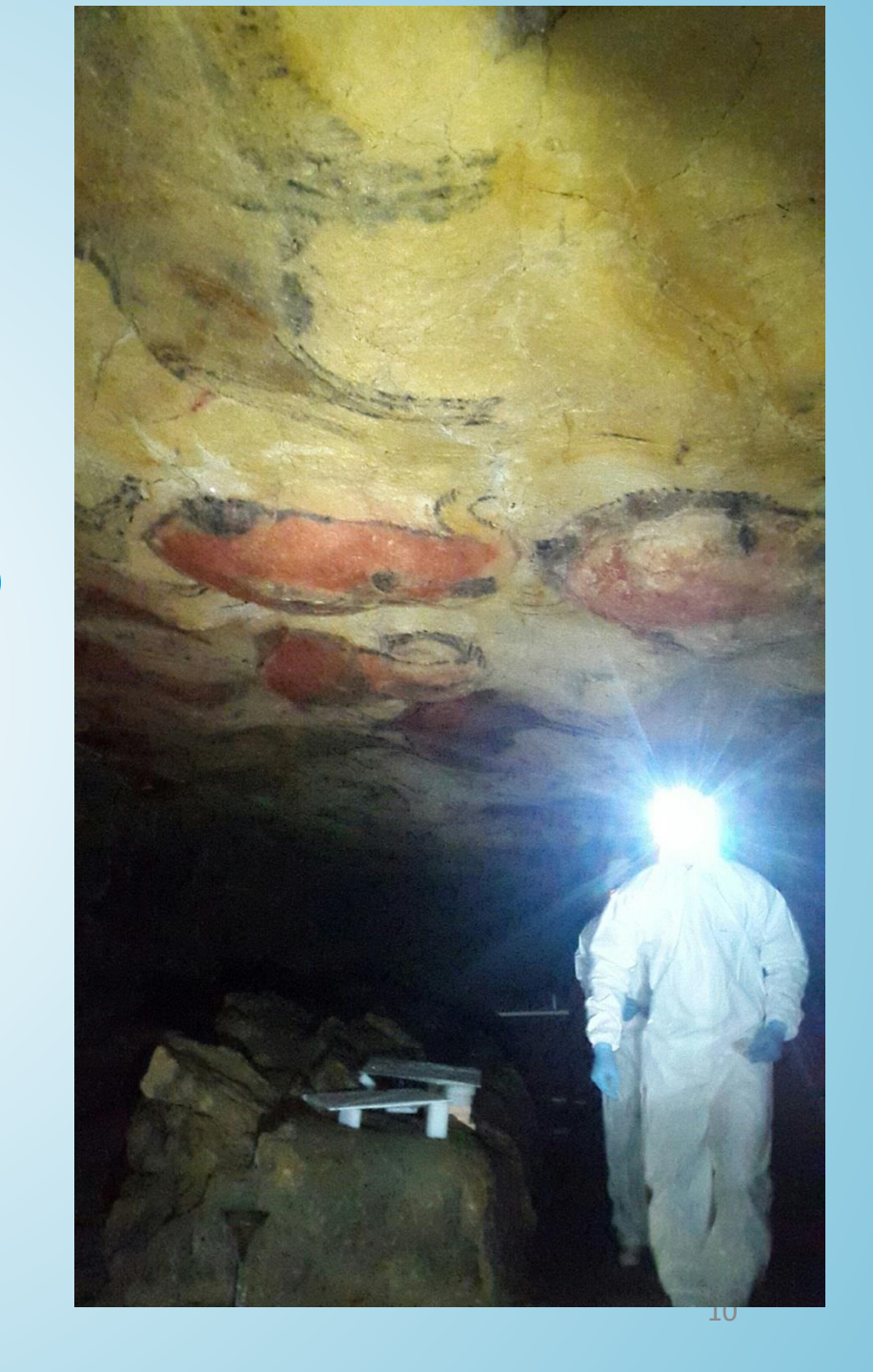
¿Qué es el SEGUIMIENTO AMBIENTAL?



VARIABLES Físico
Químicas de
interés para la
conservación

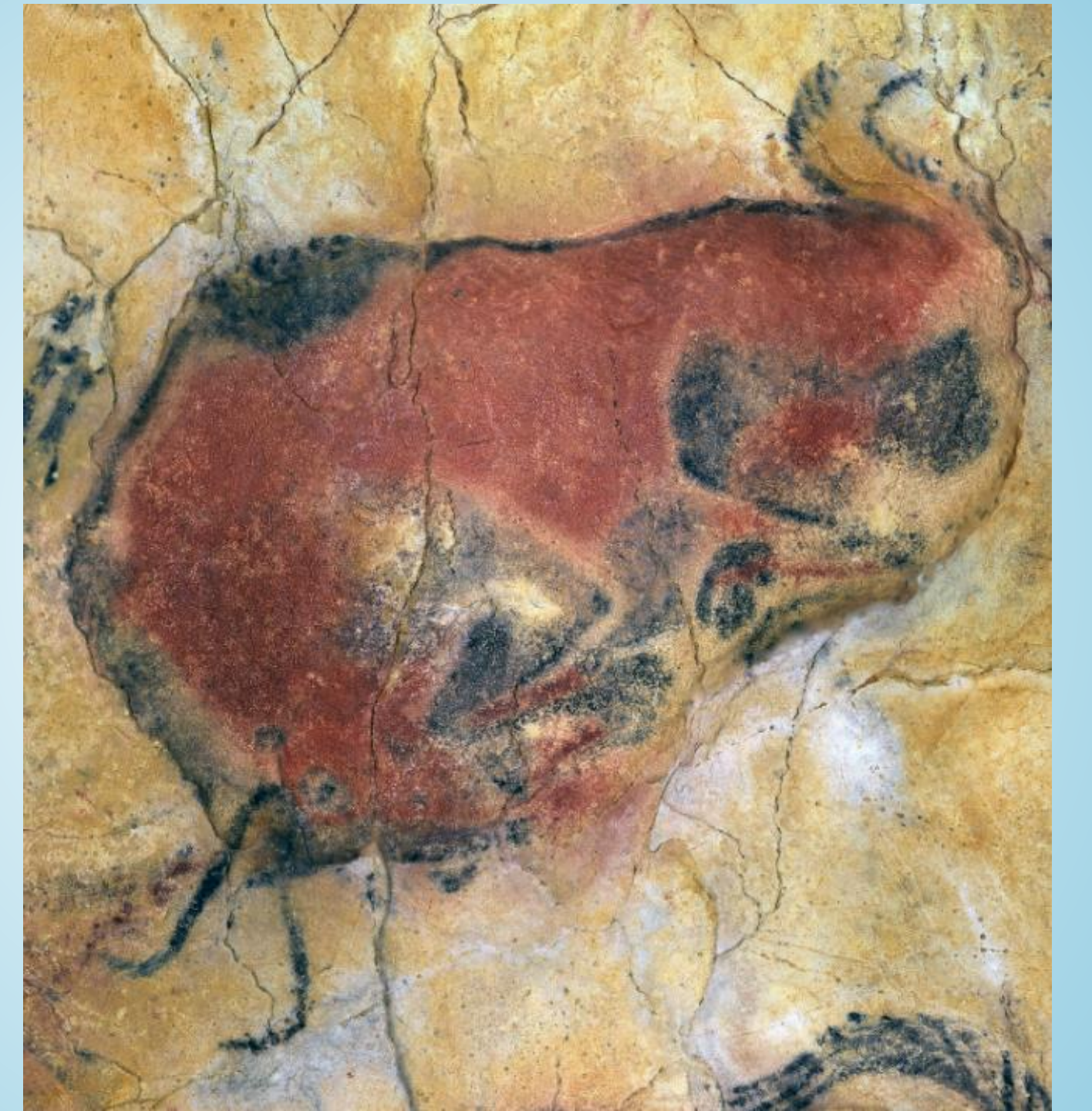


Control y minimización de RIESGOS



VARIABLES Físico Químicas de interés para la conservación

"More is different"
Philipp W. Anderson
Nobel 1977





CAUSAS DE DETERIORO

Desprendimiento del soporte (estabilidad mecánica)

Corrosión por contaminación química (poco probable, aislamiento)

Disolución y arrastre de pigmentos (lento, inexorable)

Descamación (disminución humedad, dilataciones/contracciones)

Precipitación de carbonatos (evaporación rápida, precipitación directa)

Destrucción por microorganismos



Mecanismos de deterioro

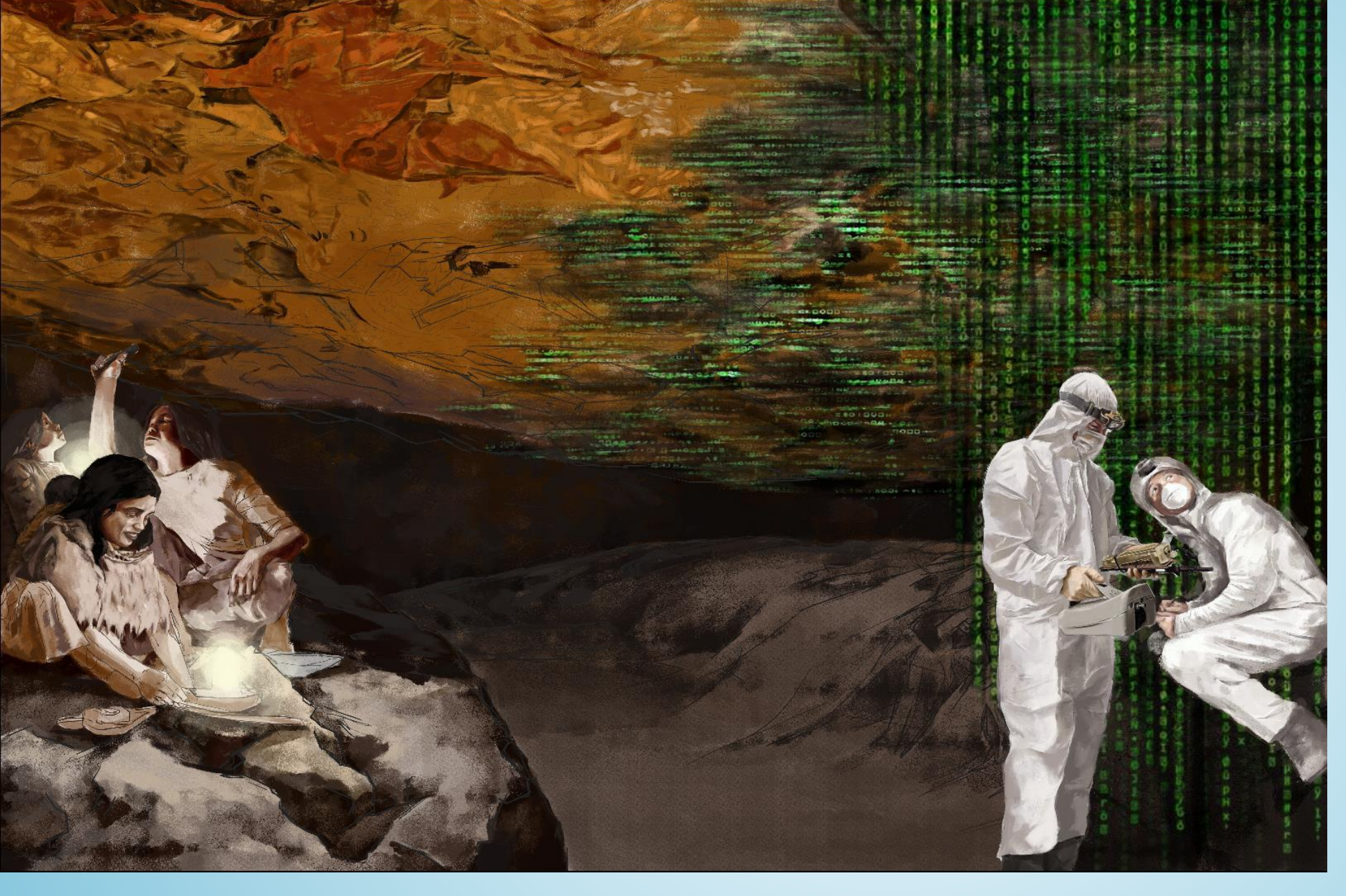
- DESCAMACIÓN

- Disminución de propiedades adhesivas de los pigmentos/Dilataciones y contracciones de los materiales del techo
- Cambios relevantes de humedad
- Cambios bruscos de temperatura del techo

- DISOLUCIÓN DE SOPORTE Y ARRASTRE

- Proceso inexorable por el baño continuo del techo de Polícromos
- Carácter incrustante/agresivo del agua, CO2
- Pluviometría, vías y caudales de infiltración
- Ciclos de evaporación condensación

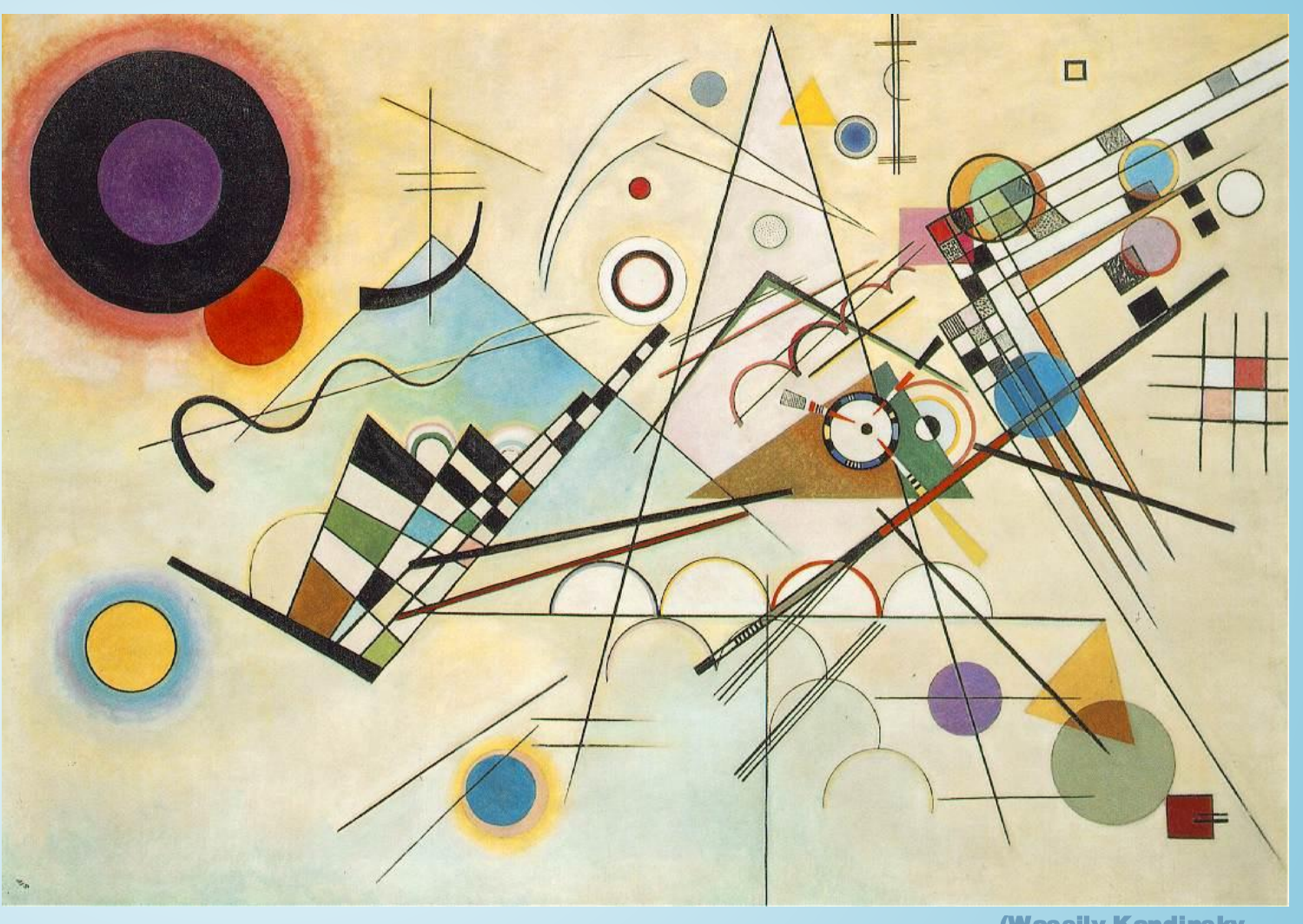




- Campo de Temperaturas (aire, roca)
- Humedades:
 - Precipitaciones y caudal de infiltración
 - Análisis
 químicos del
 agua de
 infiltración
- Gases traza (Radon y CO₂)

Ilustración: Yolanda Gonzalez

¿Cómo se hace el seguimiento ambiental?



(Wassily Kandinsky, 1944)

¿Cómo se hace el seguimiento ambiental?

Equipamiento de precisión

Procedimientos rigurosos y validados

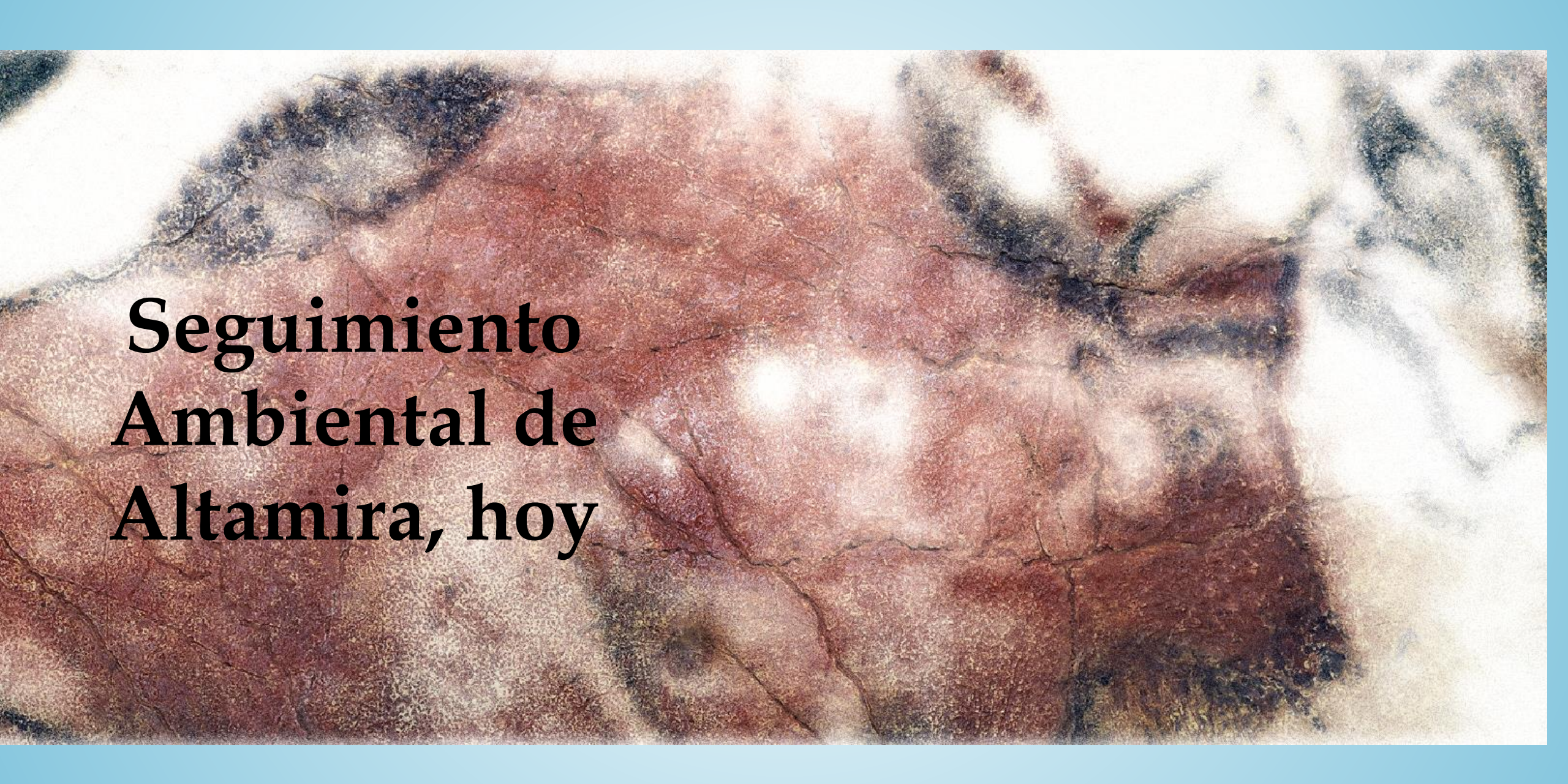
Equipo humano altamente cualificado

Gestión y análisis de datos

EXACTO Y REPRODUCIBLE

Seguimiento ambiental en Altamira, historia





Programa de investigación para la Conservación Preventiva y de Régimen de acceso a la cueva de Altamira

2012 - 2014 :

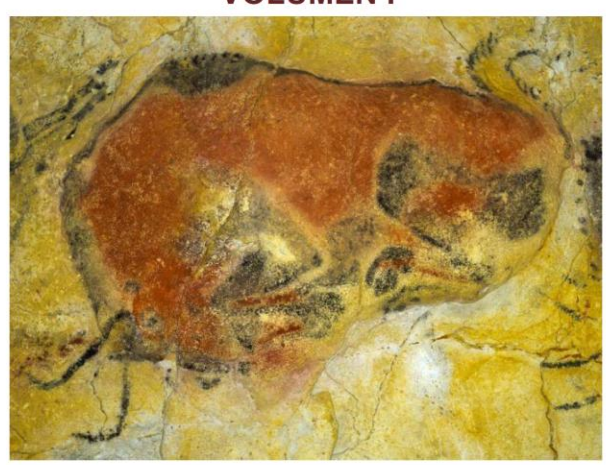
- Definición de métodos de trabajo SISTEMÁTICOS
- Definición de respuestas frente a riesgos para la conservación



ROGRAMA DE INVESTIGACIÓN PARA LA CONSERVACIÓN PREVENTIVA Y RÉGIMEN DE ACCESO DE LA CUEVA

PROGRAMA DE INVESTIGACIÓN PARA LA CONSERVACIÓN PREVENTIVA Y RÉGIMEN DE ACCESO DE LA CUEVA DE ALTAMIRA (2012-2014)

VOLUMEN I



INFORME FINAL

Dirección Científica: Gaël de Guichen







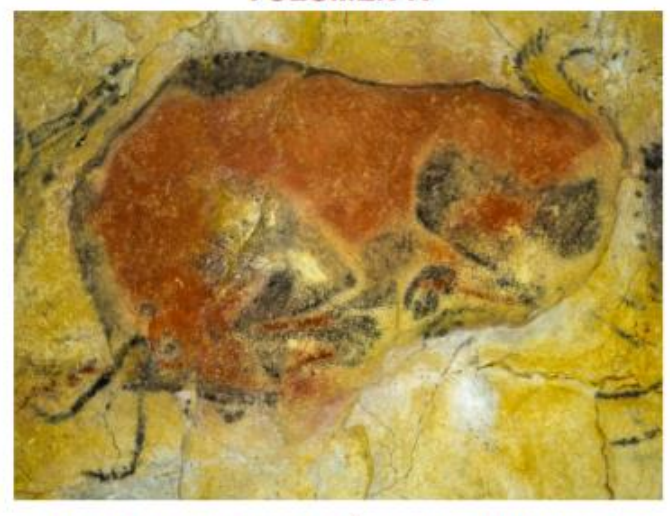


Plan de Conservación Preventiva (PCP)

- Fase 1
 - Análisis de documentación / modificaciones sufridas
 - Condiciones medioambientales cueva y entorno
 - Estado de conservación
- Fase 2
 - Identificación y valoración de los riesgos
- Fase 3
 - Establecer protocolos actuación

PROGRAMA DE INVESTIGACIÓN PARA LA CONSERVACIÓN PREVENTIVA Y RÉGIMEN DE ACCESO DE LA CUEVA DE ALTAMIRA (2012-2014)

VOLUMEN IV



PLAN DE CONSERVACIÓN PREVENTIVA DE LA CUEVA DE ALTAMIRA

DIRECCIÓN CIENTÍFICA: GAËL DE GUICHEN



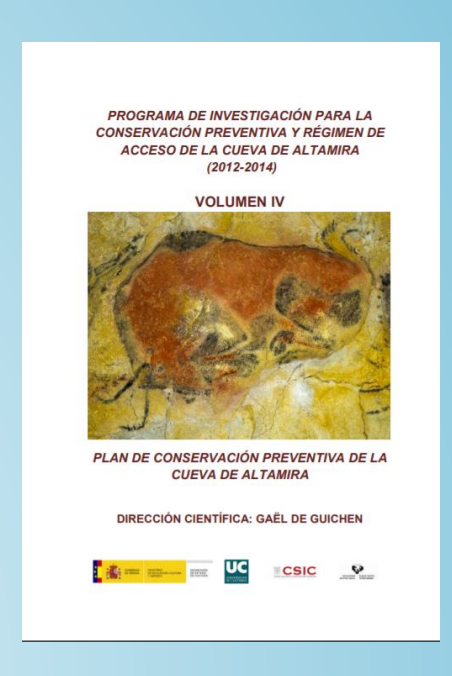




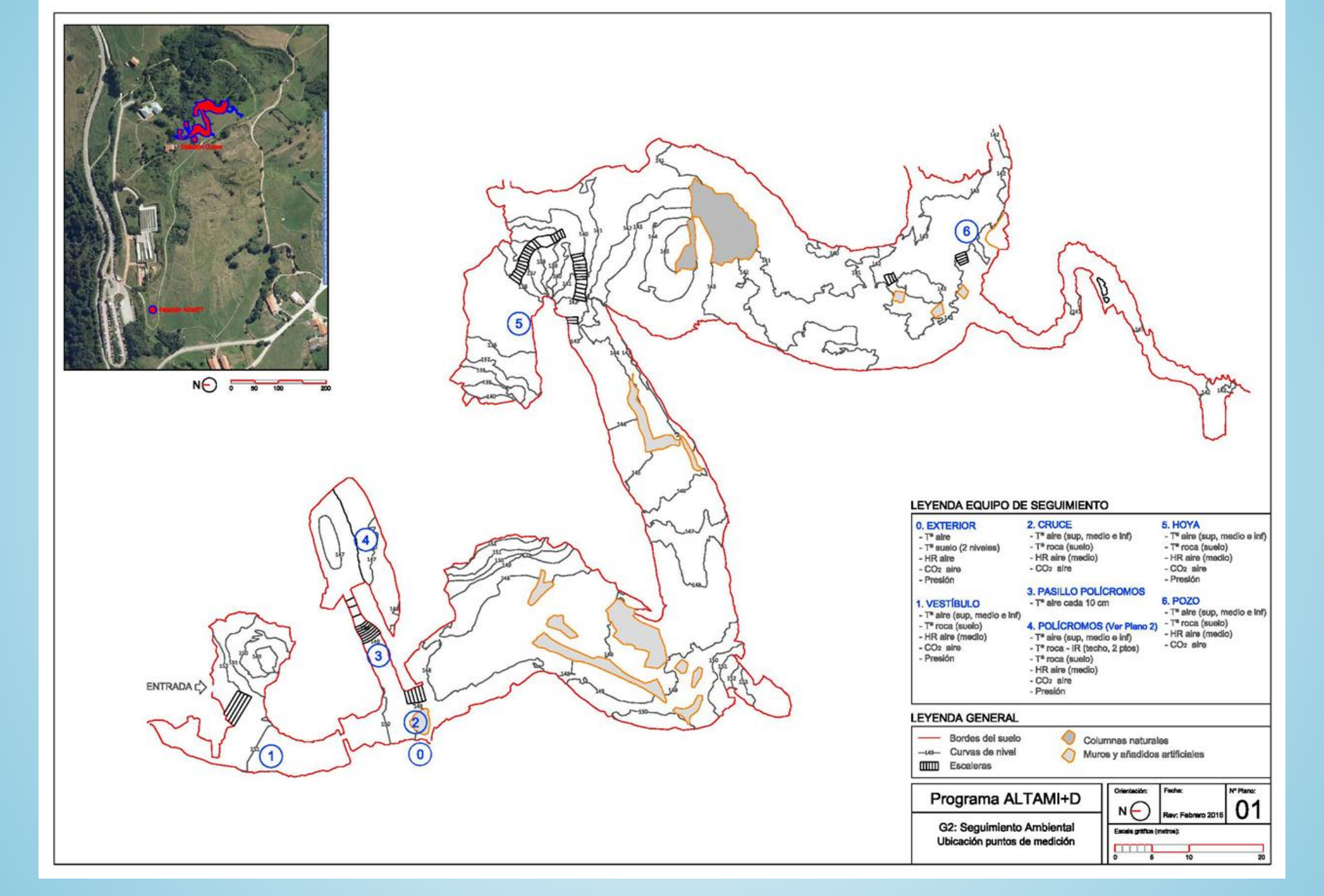


Listado de protocolos

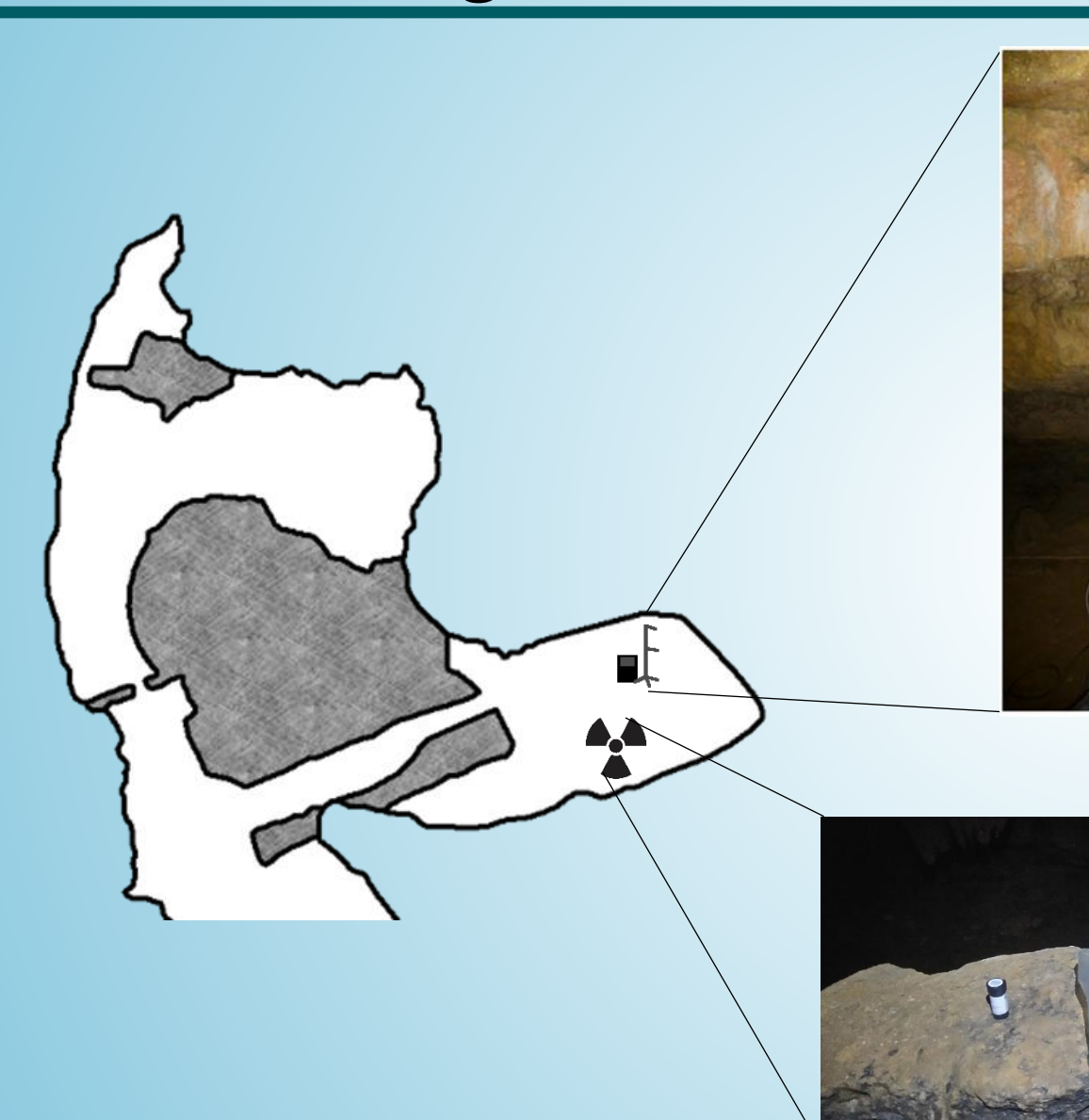
- P01- Normas de acceso
- P02- Control del biodeterioro
- P03- Seguimiento de la concentración de gas radón
- P04- Condiciones ambientales
- P05- Seguimiento de humedades y puntos de goteo
- P06- Seguimiento del estado de conservación
- P07- Estabilidad geológica-estructural
- P08- Control de las actividades en las superficie de la zona de influencia de la cueva







Seguimiento ambiental: Medios técnicos



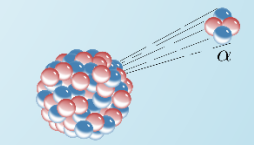
Temperatura de la roca en el techo

Temperatura del aire a 10 cm del techo

Temperatura del aire con termómetro de mercurio

Temperatura del aire, humedad relativa, Presión atmosférica y CO₂ a media altura

Temperatura del suelo con termómetro de mercurio
Temperatura del aire a 10 cm del suelo
Temperatura del suelo

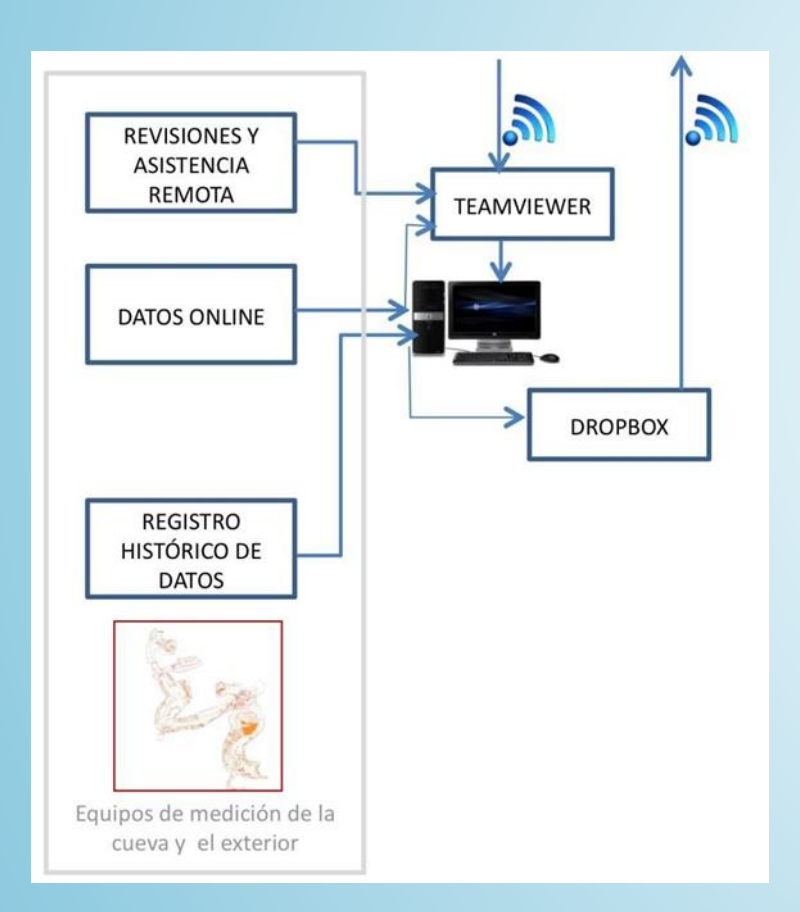


Radón



- Medidas en continuo
- Medidas integradas en el tiempo

Seguimiento ambiental: Medios técnicos



Sistema Remoto



Miles de datos monitorizados diariamente

Sensibilidad 0,01 °C, 1 ppm

Datos en Sala de Polícromos cada minuto en tiempo real

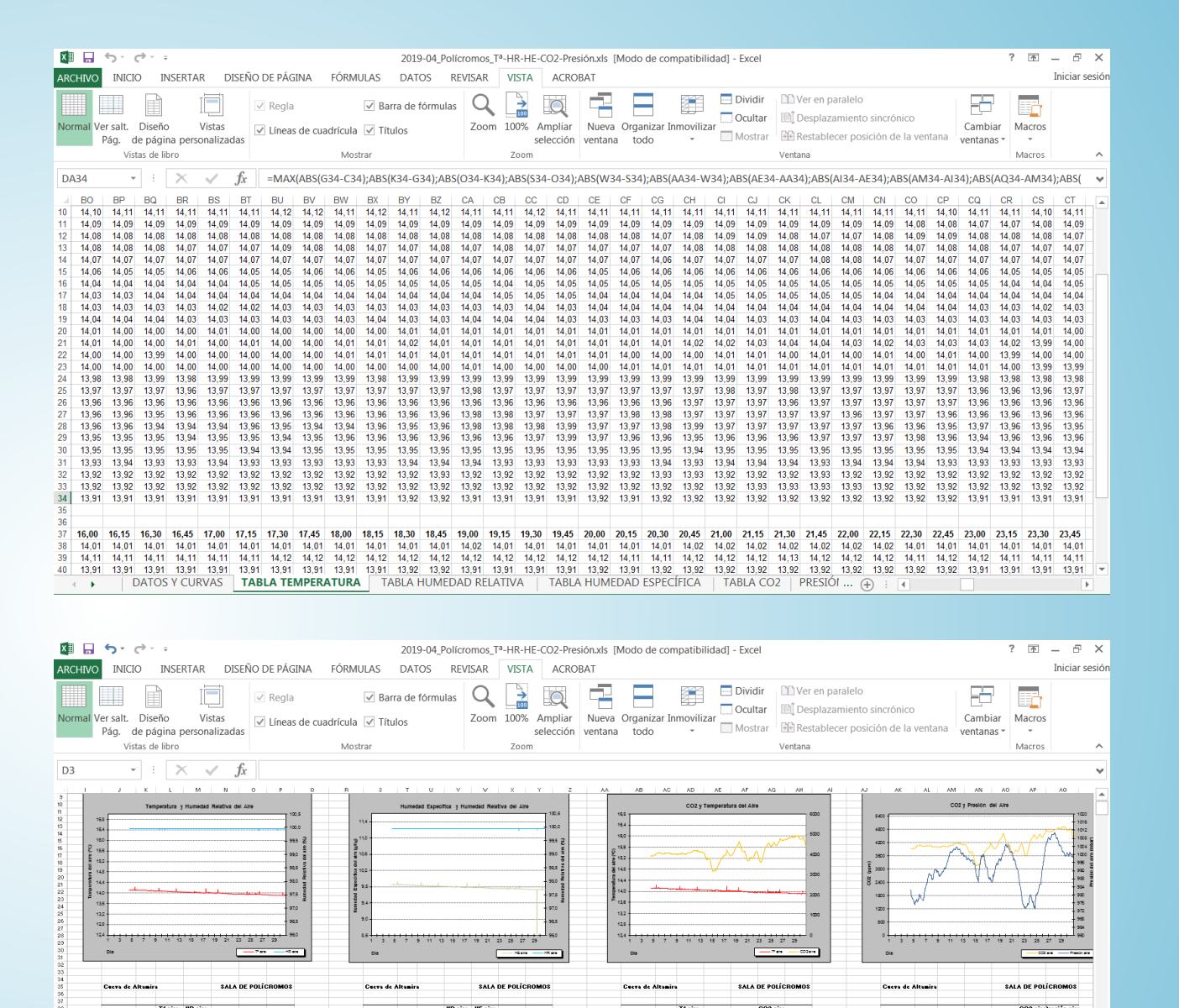
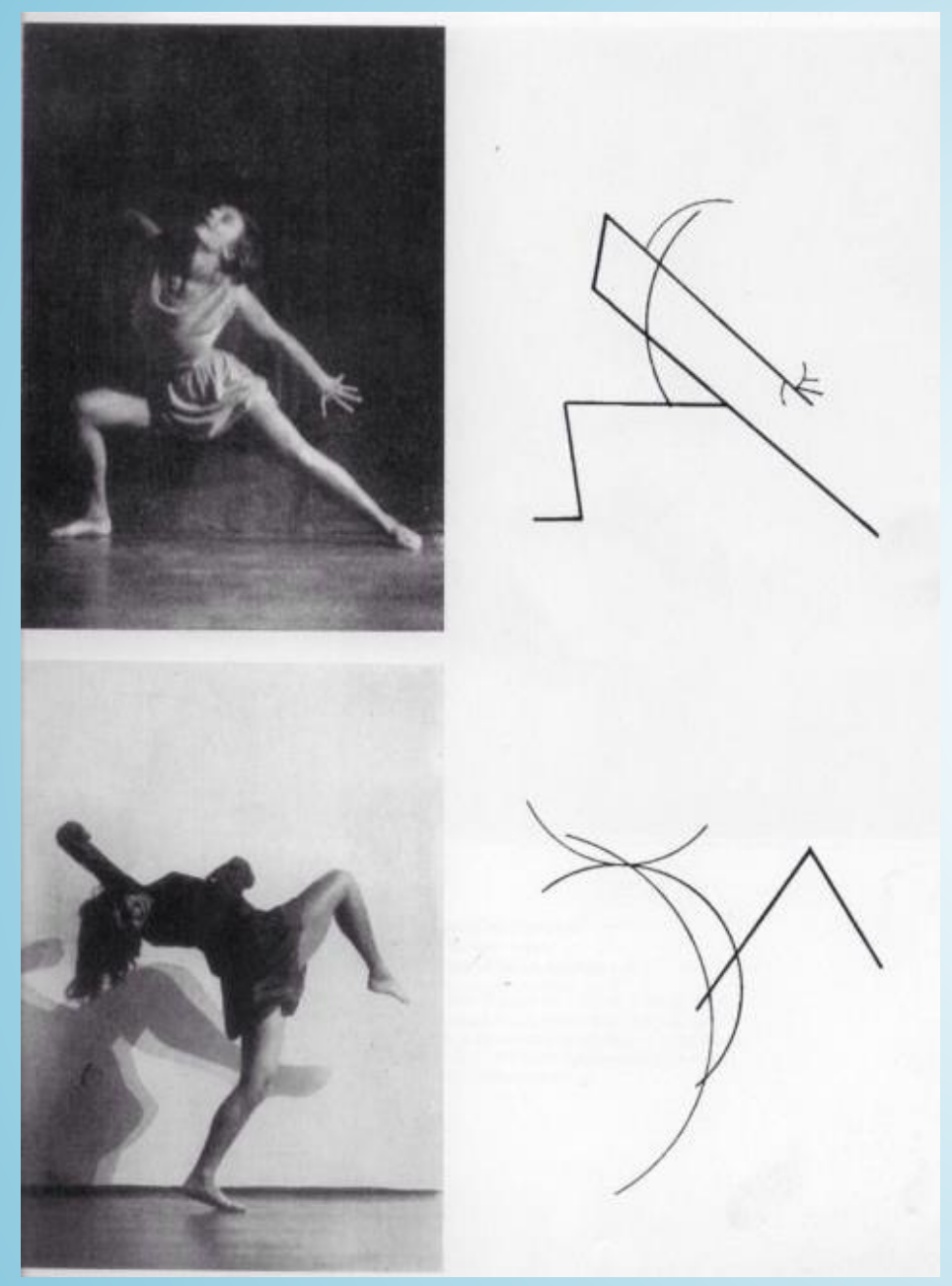


TABLA HUMEDAD RELATIVA | TABLA HUMEDAD ESPECÍFICA | TABLA CO2 | PRESIÓI ... (+) :

Entradas de seguimiento (12 minutos)

- Seguimiento in situ para el control adicional de parámetros (quincenal)
 - Lectura de los termómetros Hg calibrados
 - Cambio de detectores de radón
 - Agua de infiltración
 - Humedad
 - CO2
 - Partículas
 - Medidas de conductividad y pH in situ
 - VERIFICACIONES Y CALIBRACIONES





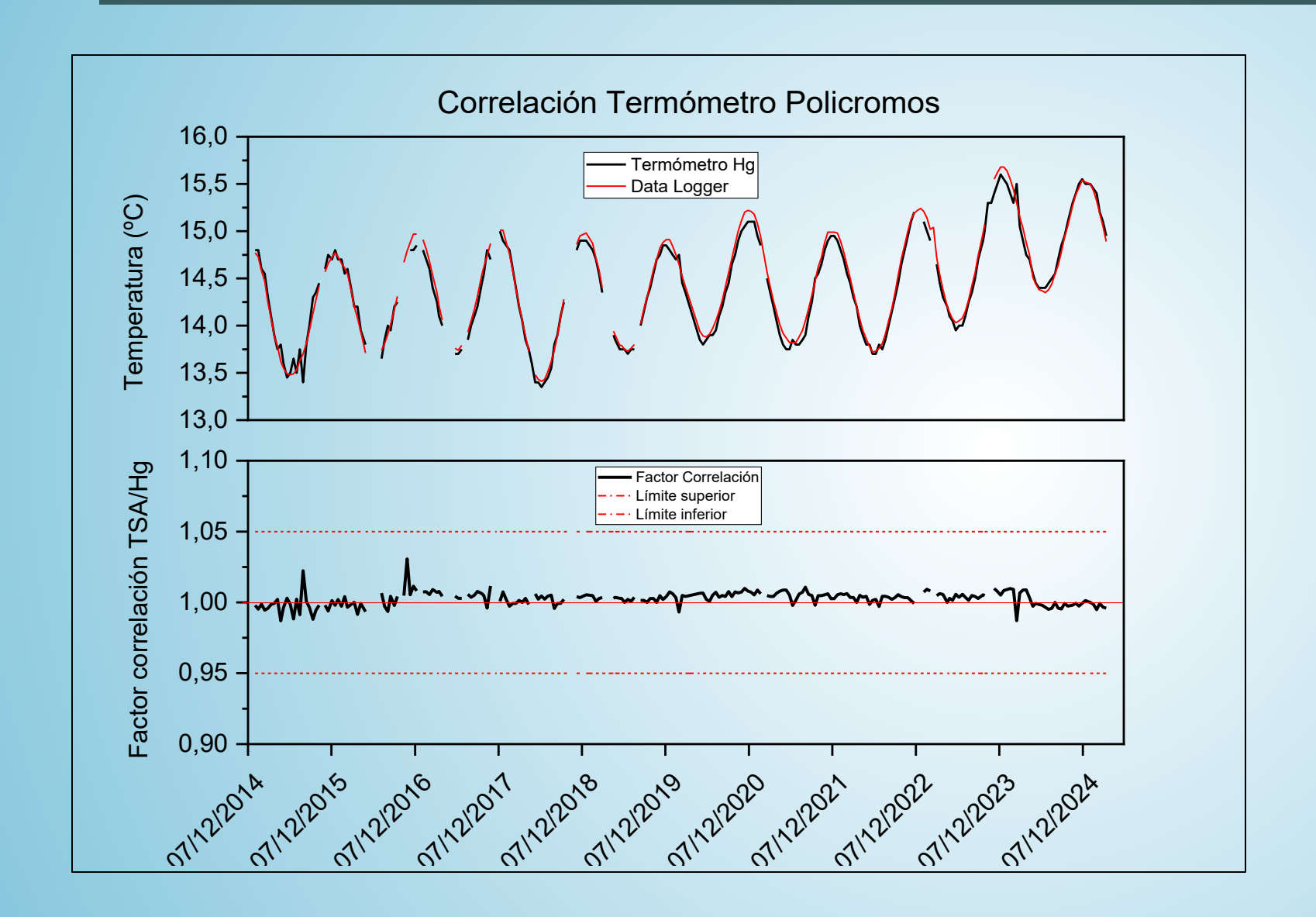
Kandinsky: Dance Curves: On the Dances of Palucca (1926).

Campo de temperaturas

¿Cómo evoluciona el campo de temperaturas?

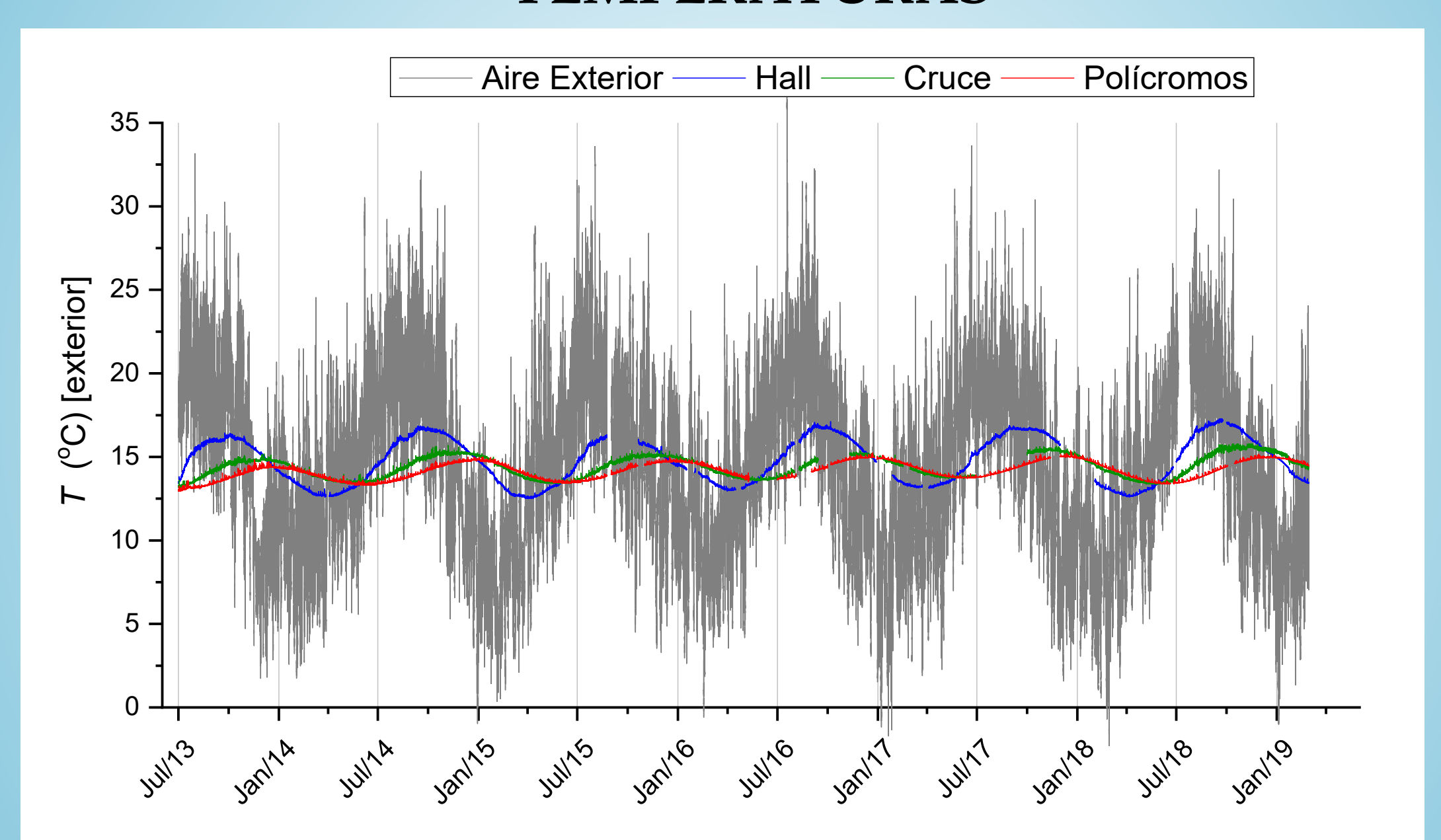
¿Por qué se pueden superar los límites de accesibilidad?

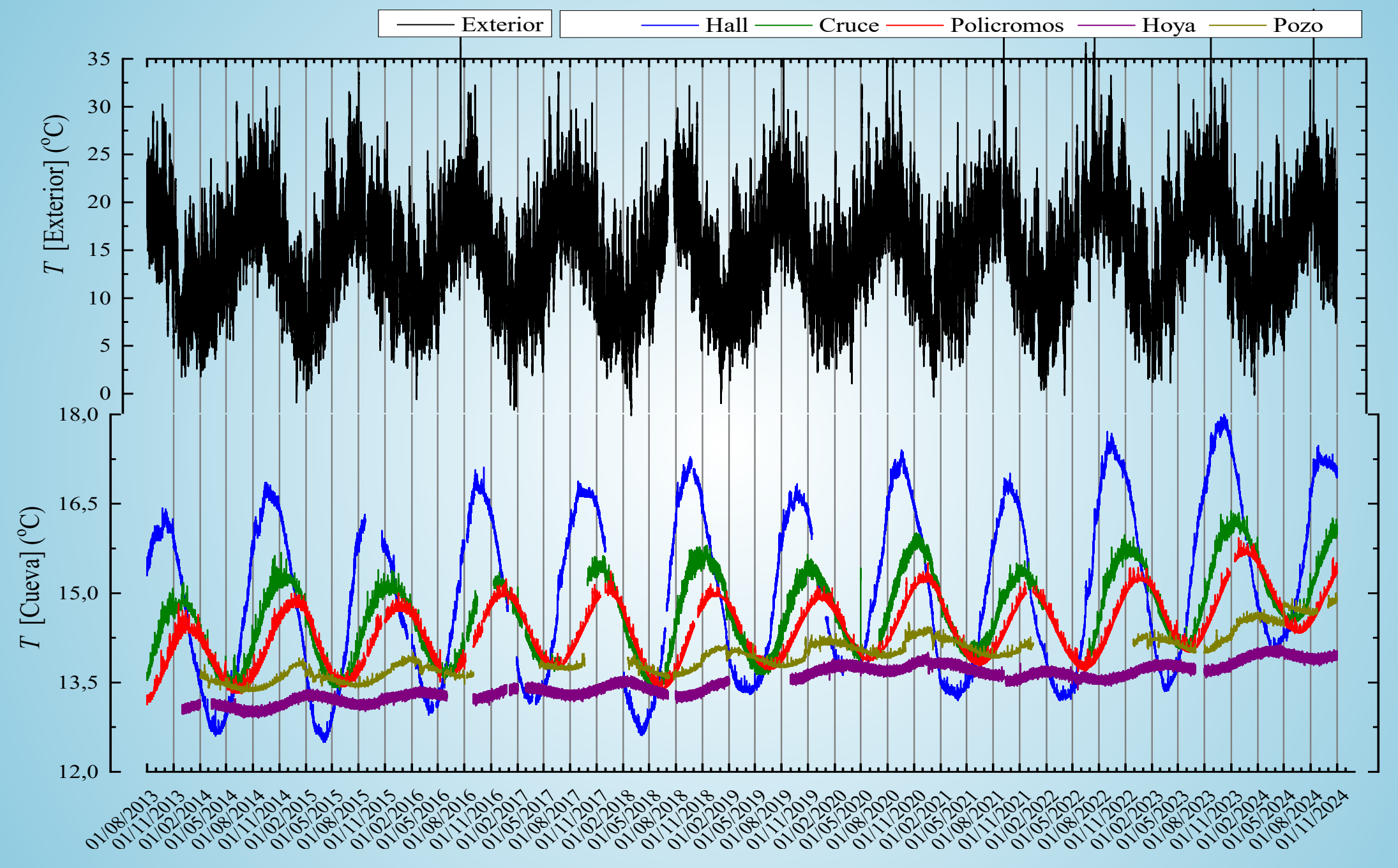
Temperaturas: Control de calidad

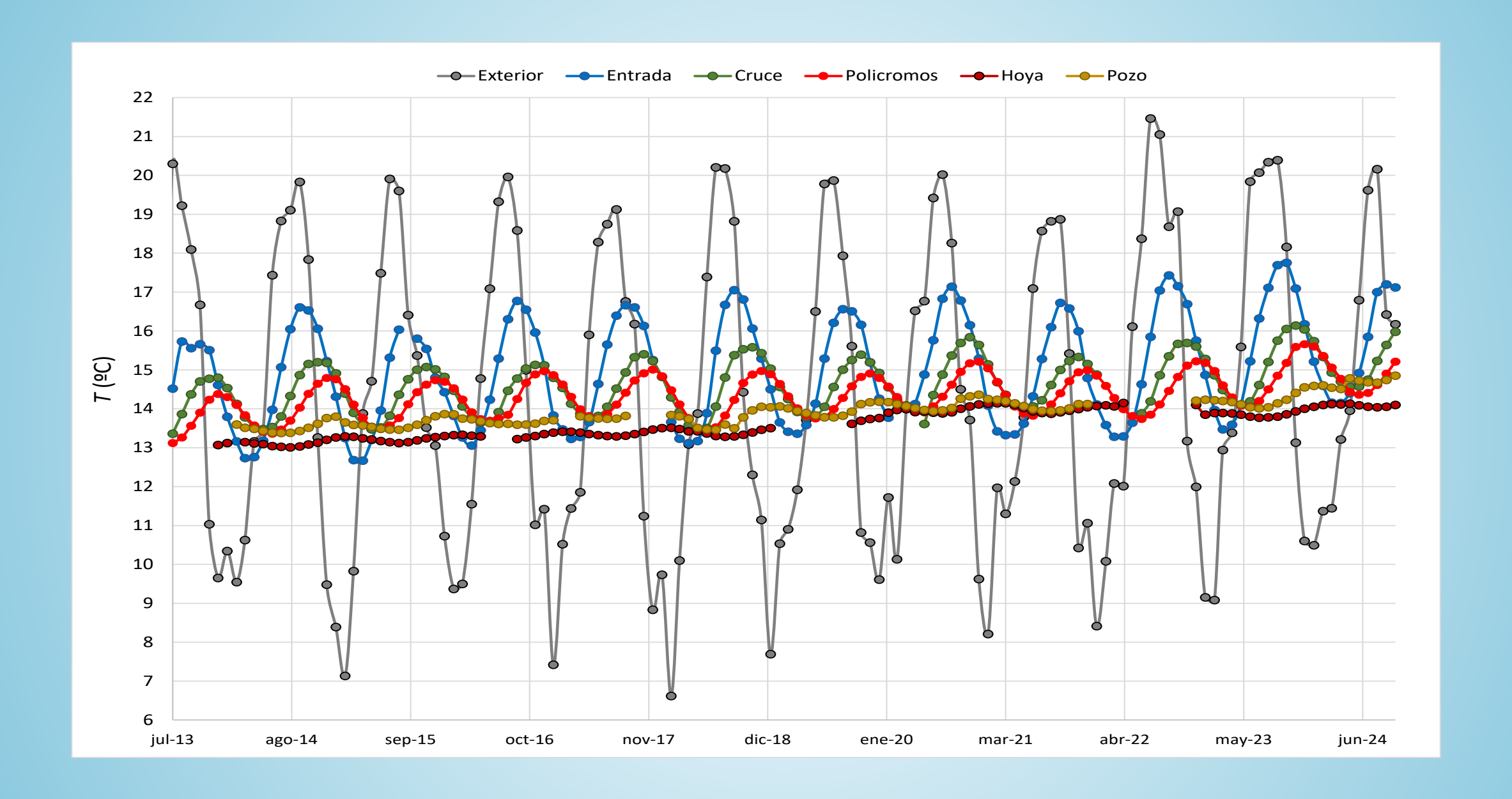




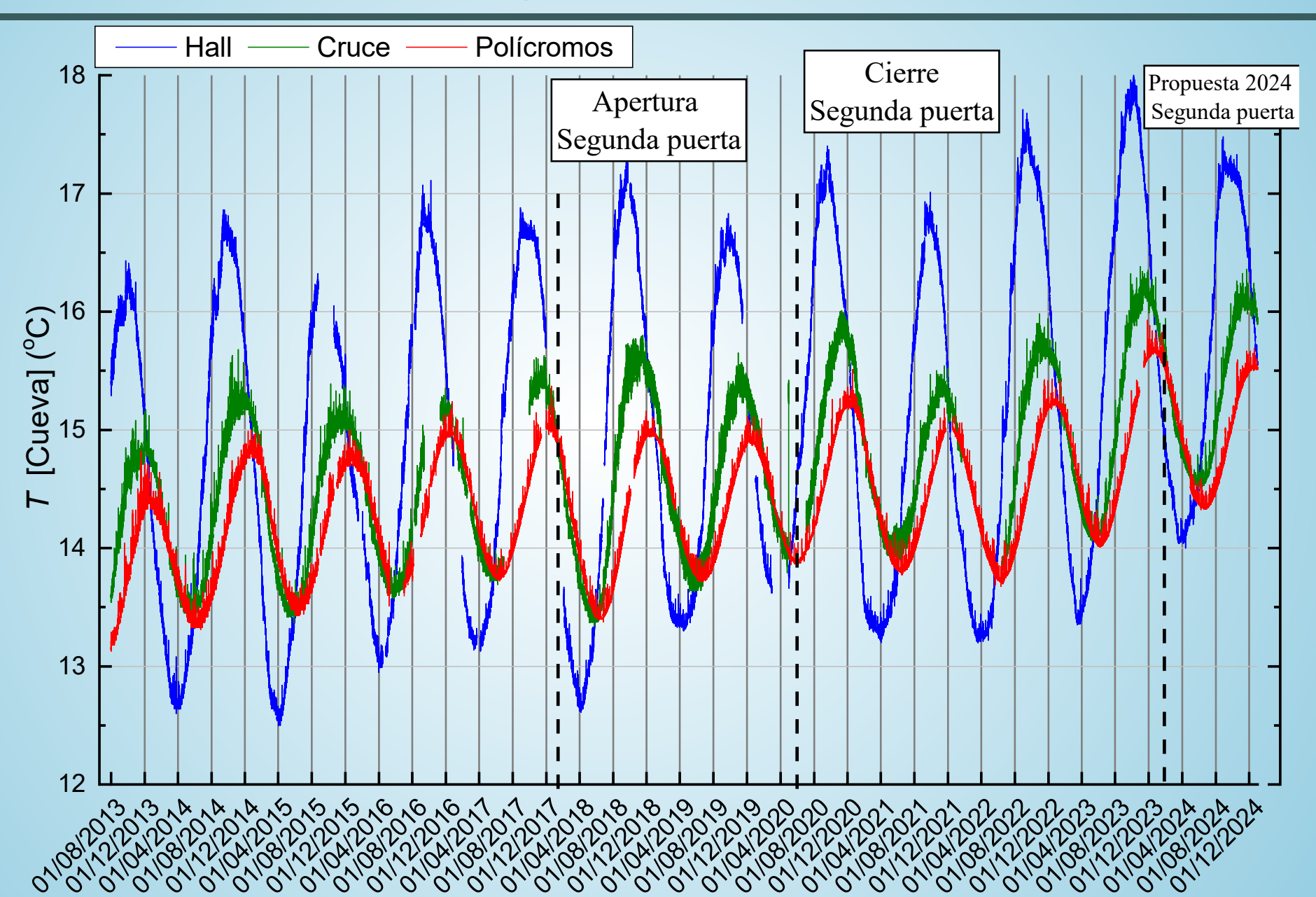
TEMPERATURAS







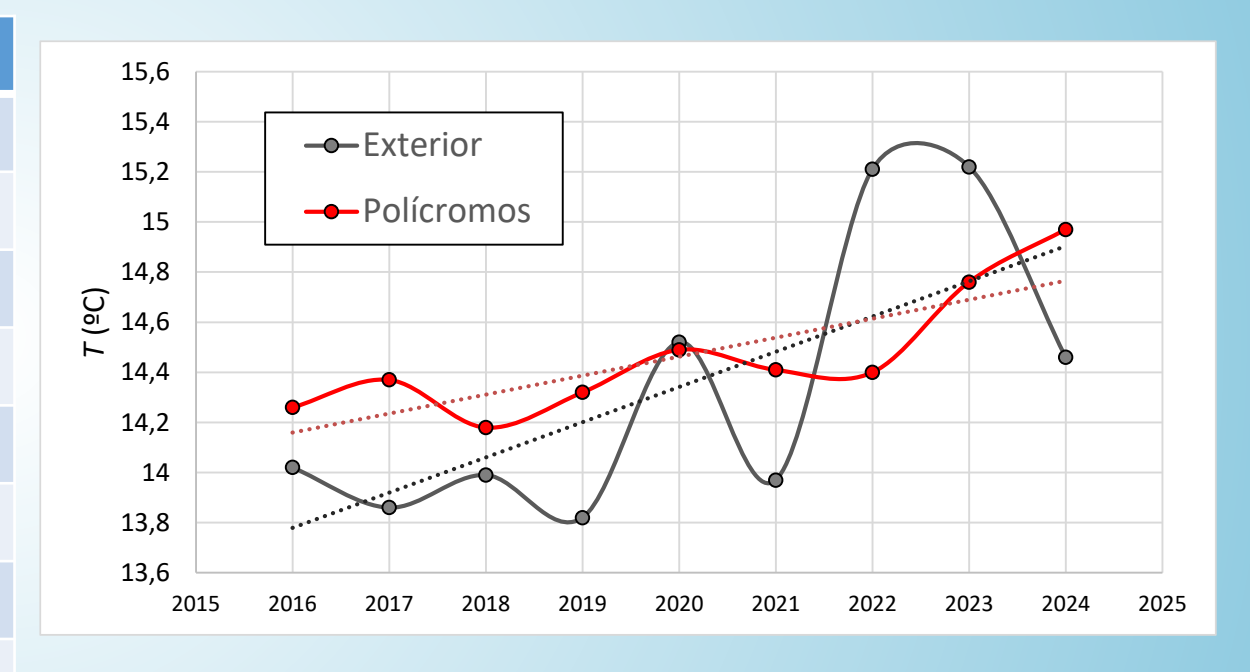
Temperaturas



Temperaturas

Medias anuales

Año	Exterior	Polícromos
2016	14,02	14,26
2017	13,86	14,37
2018	13,99	14,18
2019	13,82	14,32
2020	14,52	14,49
2021	13,97	14,41
2022	15,21	14,40
2023	15,22	14,76
2024	14,46	14,97

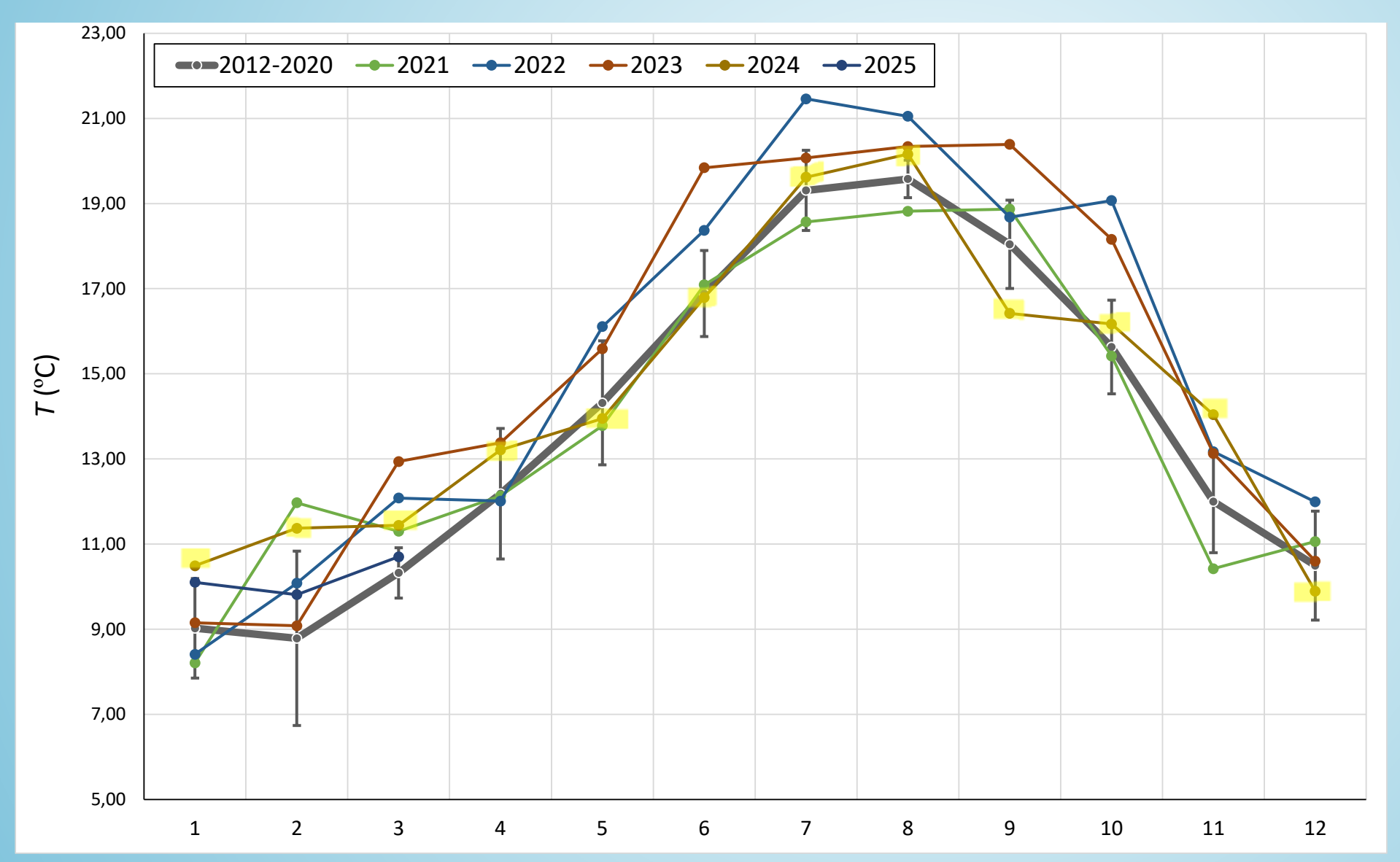


Exterior: 0,14 °C/año

Polícromos: 0,08 °C/año

Temperaturas

Evolución medida mensual Exterior



Calentamiento últimos 4 años

2021: febrero cálido/noviembre frío

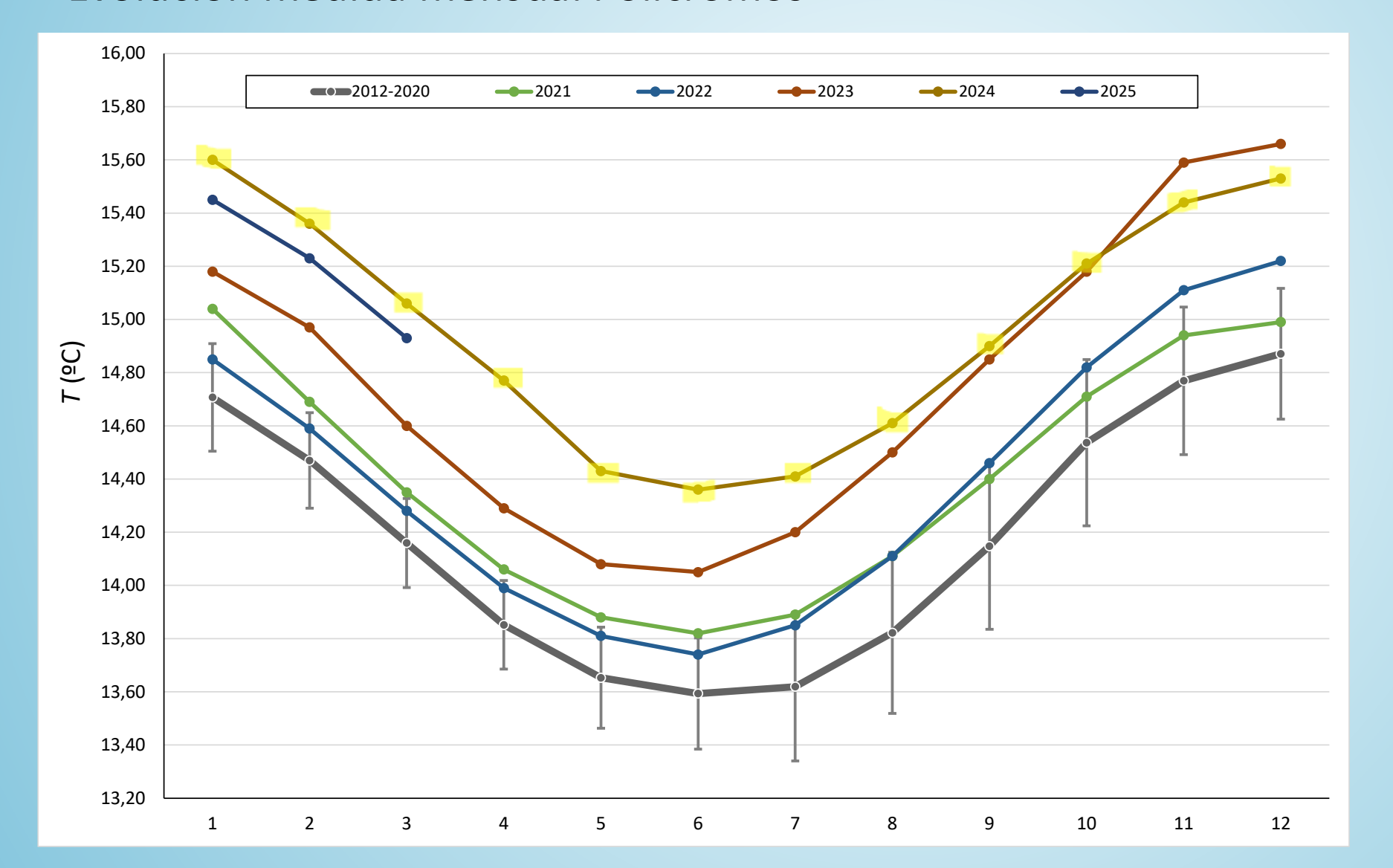
2022: Verano/octubre y diciembre máximos

2023: Primavera/junio septiembre máximos

2024: Mayo a Oct. Similar al histórico 2012-2020

Temperaturas

Evolución medida mensual Polícromos



Máximos históricos

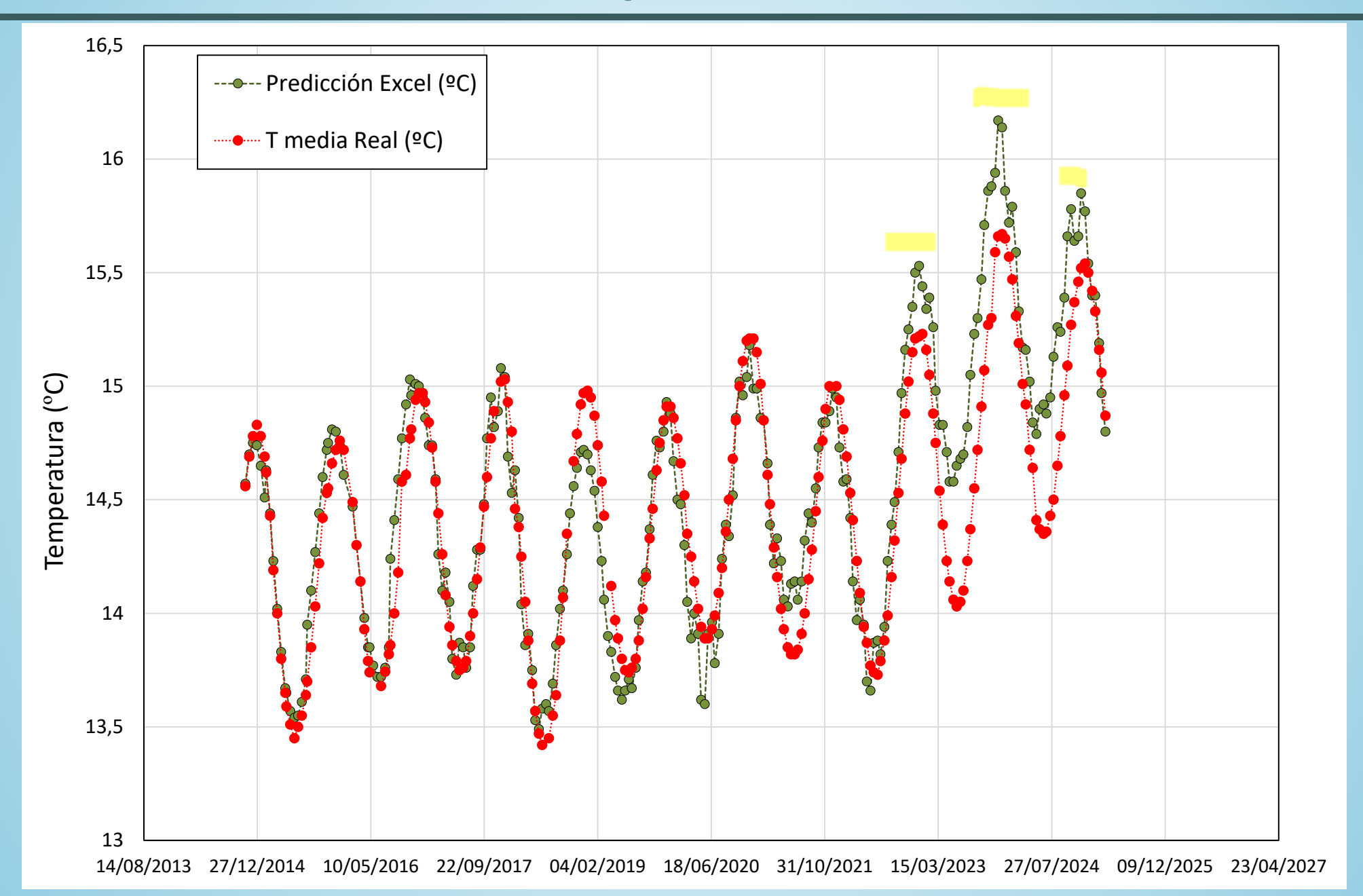
<u>Ene-Oct 2024</u>

<u>Oct-Dic 2023</u>

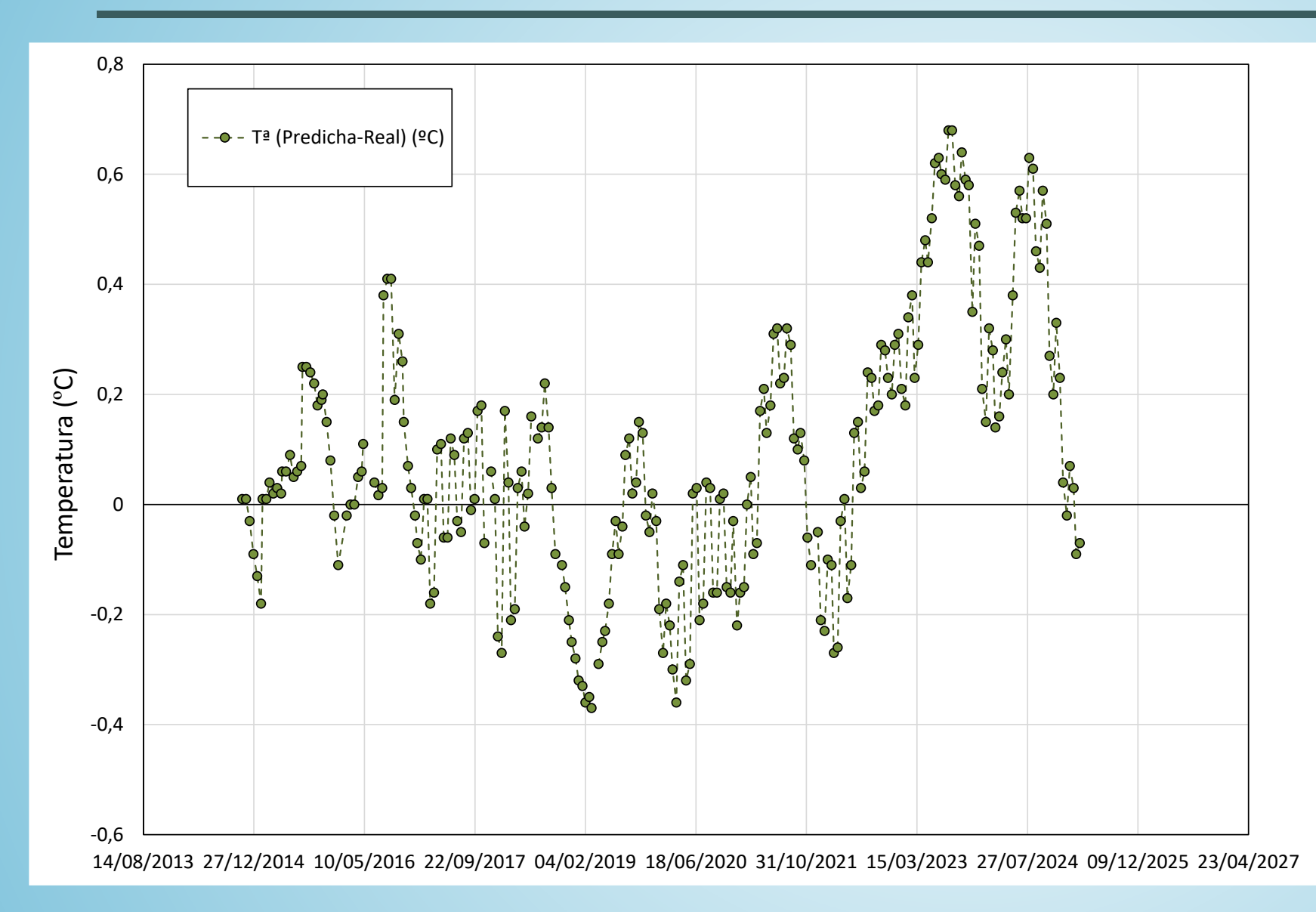
Temperaturas: Propuesta nuevo límite

$$T_{acceso} = T_{\rm e} + |T_{\rm inicial} - T_{\rm final}| + S$$
 $T_{\rm e} = {\rm Temperatura\ predicha}$
 $T_{\rm inicial}$ del mes del año anterior
 $T_{\rm final}$ del mes del año anterior
S: Sesgo promedio de los dos meses anteriores

Temperaturas



Temperaturas



Cálculo límite actual

Año	Promedio (Bias)	
2015	0,09	
2016	0,13	
2017	0,02	
2018	-0,03	
2019	-0,11	
2020	-0,15	
2021	+0,09	
2022	+0,06	
2023	+0,48	
2024	+0,37	
2025*	-0,01	

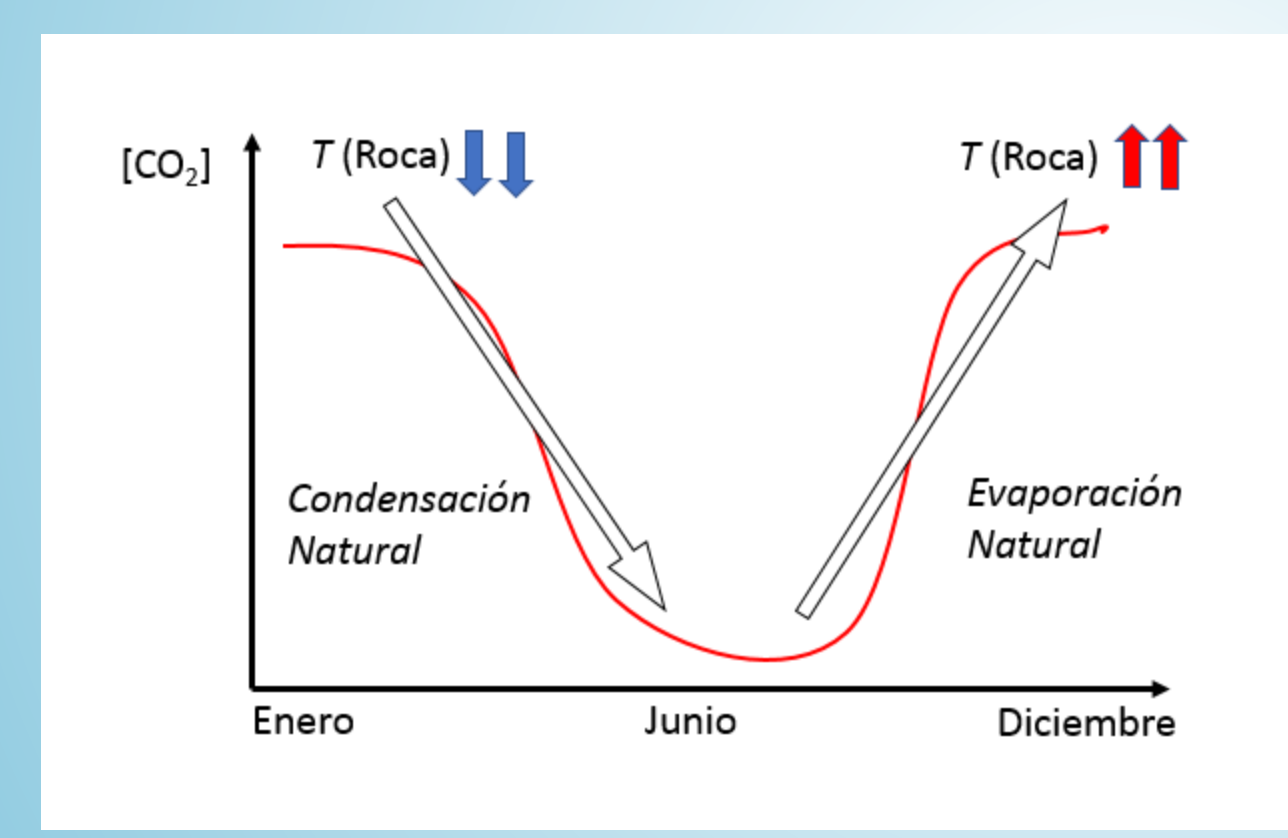
$$T_{\rm e} + |T_{\rm inicial} - T_{\rm final}| - S$$

 $T_{\rm e}$ = Temperatura estimada $T_{\rm inicial}$ del mes del año anterior $T_{\rm final}$ del mes del año anterio 11

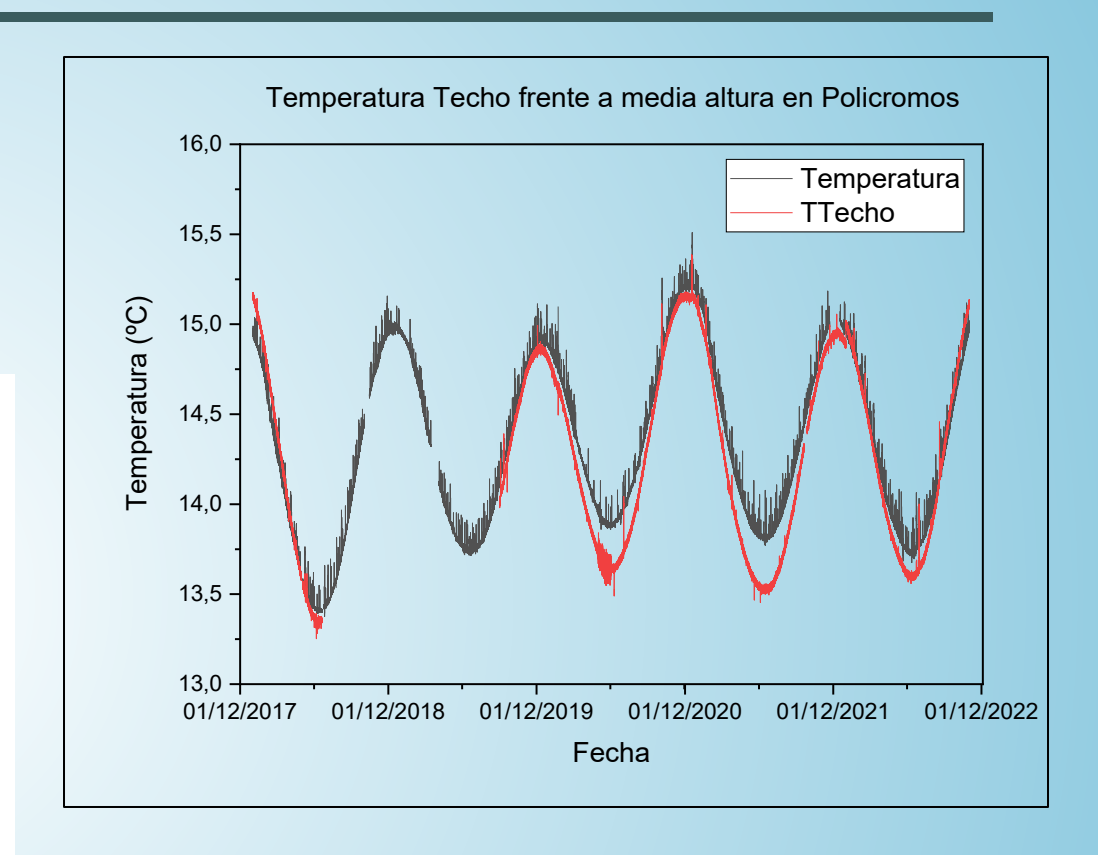


Caída de pigmento, Disolución y arrastre

- Influencia de la condensación
 - Ciclos naturales



Gradiente techo/aire (condensación/evaporación)



Equilibrio dinámico:

Condensación (Tt < Ta): dic – jun Evaporación (Tt > Ta): jun - dic



GASE S





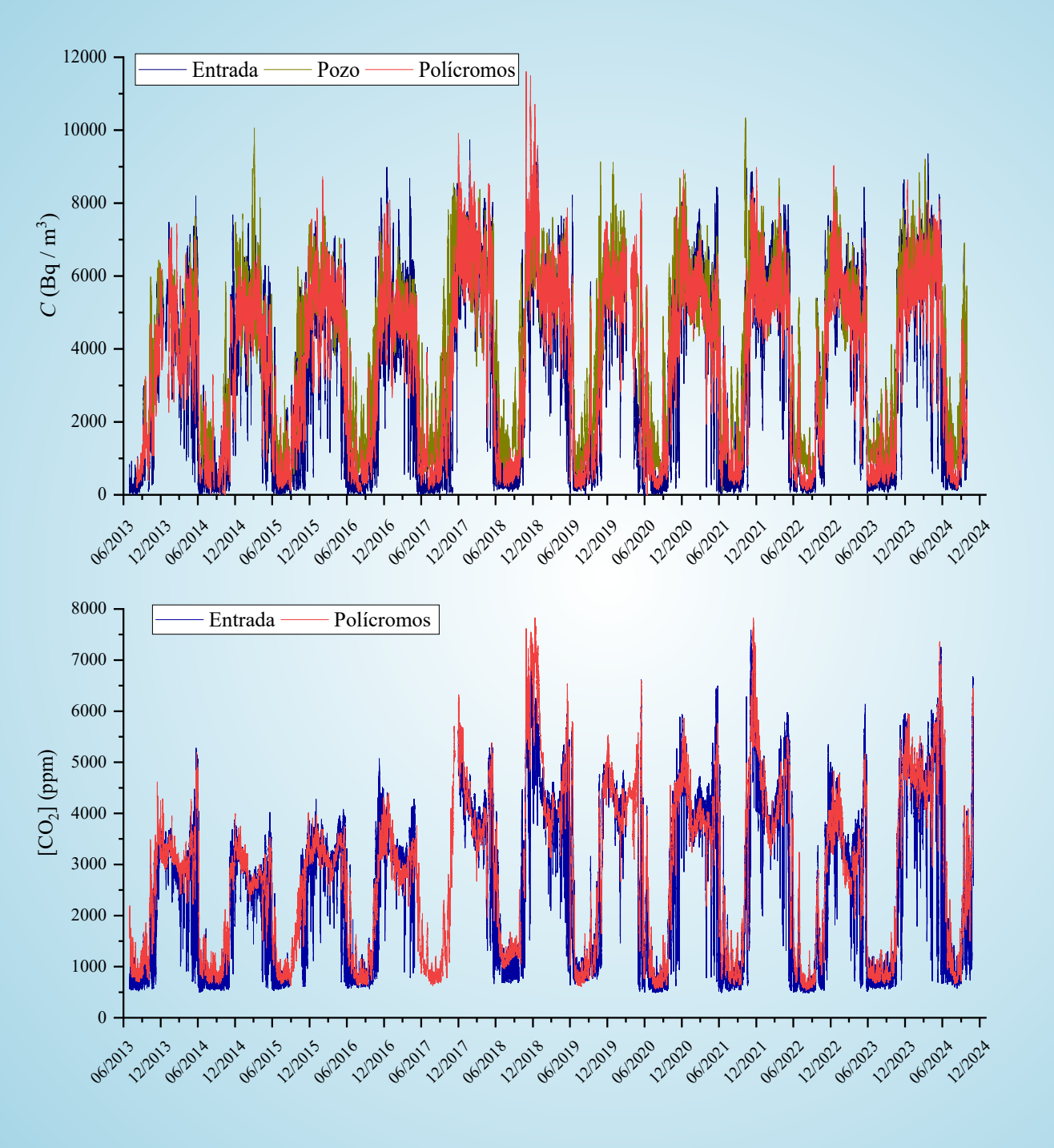
AGUA

Gases e hidrología

¿Cómo evolucionan las concentraciones de gases traza interiores?

¿Varía la cantidad de precipitación con respecto a años anteriores y/o los caudales de entrada de agua en Polícromos?

¿Varía la composición geoquímica del agua en los puntos de seguimiento?

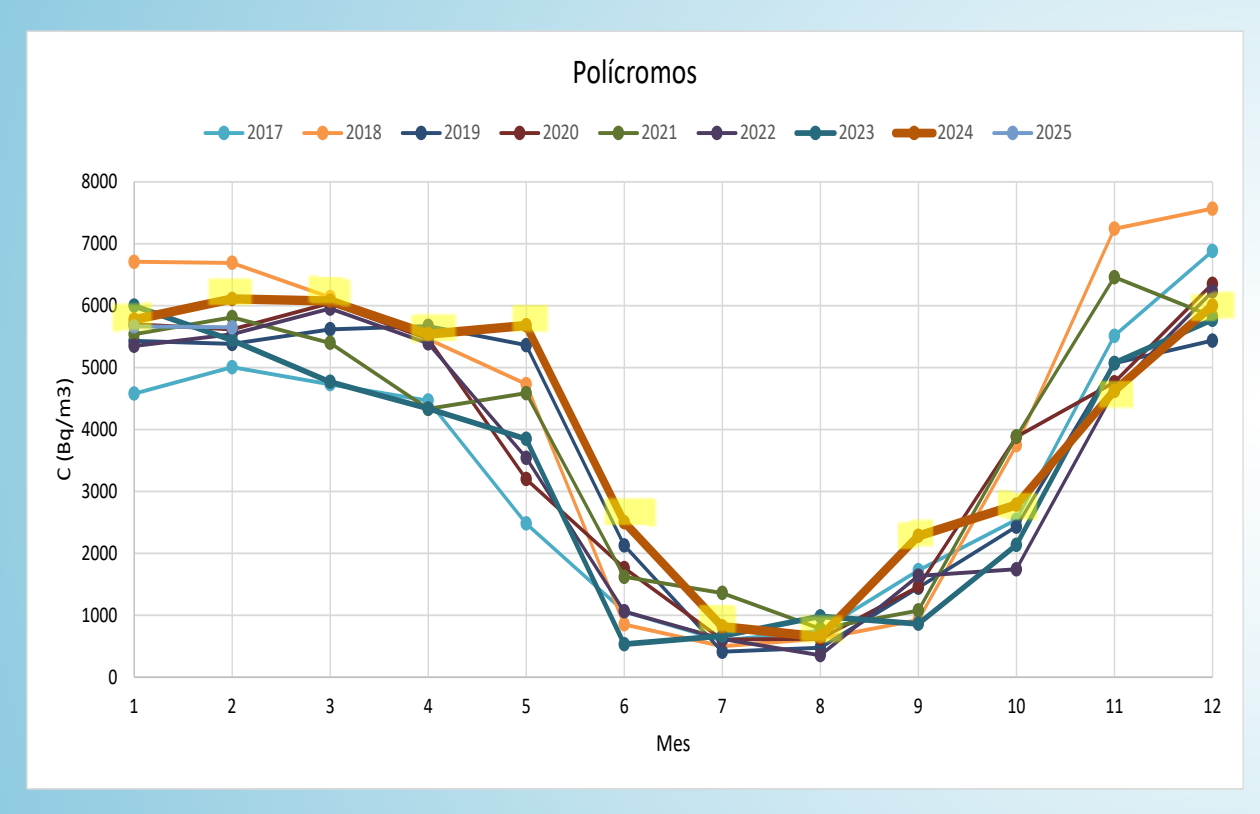


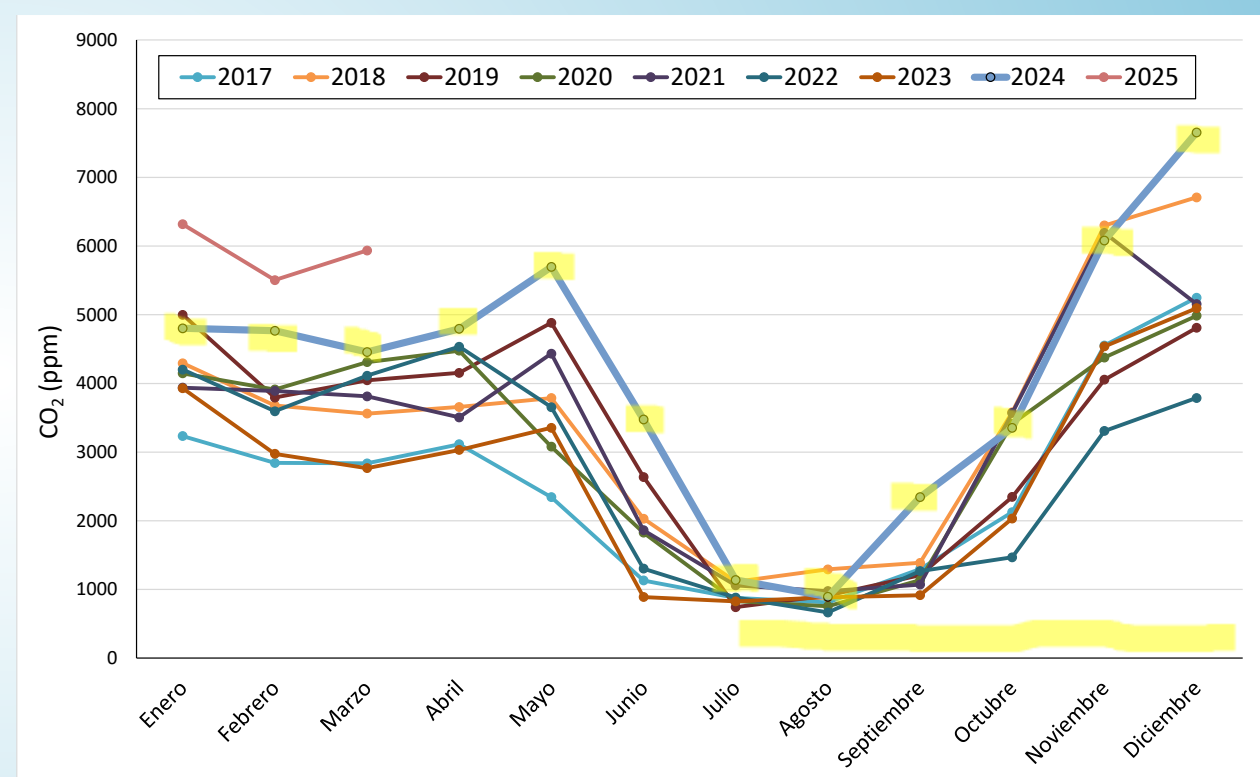
RADON

CO₂

Radon y CO₂

Comparativa Polícromos datos mensuales 2016-2023





Máximos en 2018

Máximos en 2024-2025

Primer semestre: Similar nivel de confinamiento con respecto al histórico

Segundo semestre: Diferencia en tasa de producción de CO2

Dinámica de gases

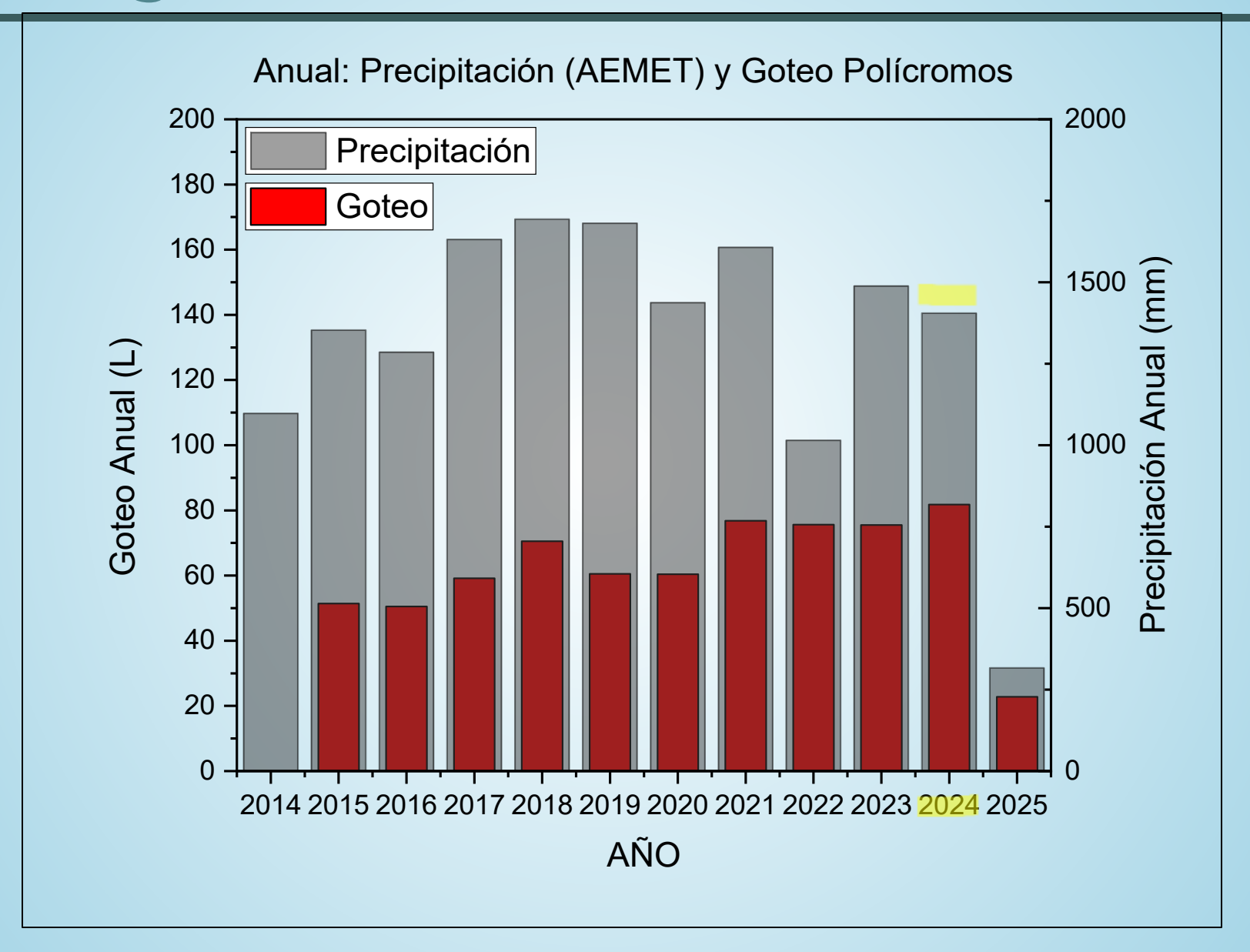
Periodos de Desgasificación-Recarga anual (C </> 2000 Bq/m³)

	Desgasificación	Recarga	Nº días
2016	6 Junio	4 Noviembre	151
2017	1 Junio	9 Septiembre	100
2018	23 Mayo	15 Octubre	145
2019	2 Junio	25 Septiembre	115
2020	18 Junio	12 Noviembre	147
2021	8 junio	3 Octubre	117
2022	1 Junio	31 Octubre	152
2023	28 Mayo	19 noviembre	175
2024	21 Junio	10 noviembre	142

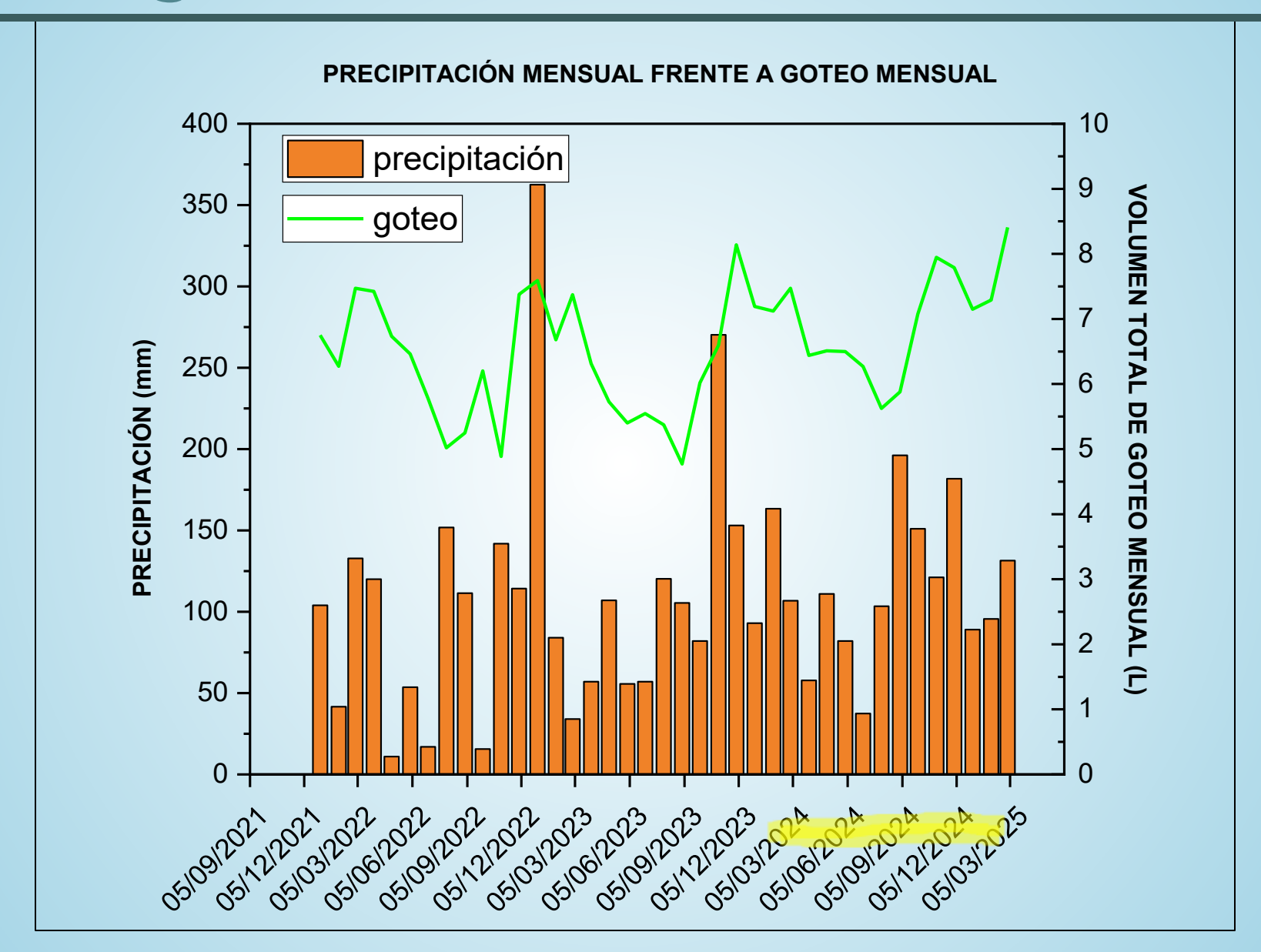
Variabilidad fechas de recarga (mes+)
"Abrupto"

Variabilidad fechas desgasificación (días) "Progresivo"

Agua: Pluviosidad e Infiltración



Agua: Pluviosidad e Infiltración



Agua: Composición química

Parámetro

рН

 CO_3^{-2} (mg/l)

 $HCO_3^- (mg/l)$

Cl- (mg/l)

 NO_{2} (mg/l)

 NO_3^- (mg/l)

 SO_a^{-2} (mg/l)

Na+ (mg/l)

K+ (mg/l)

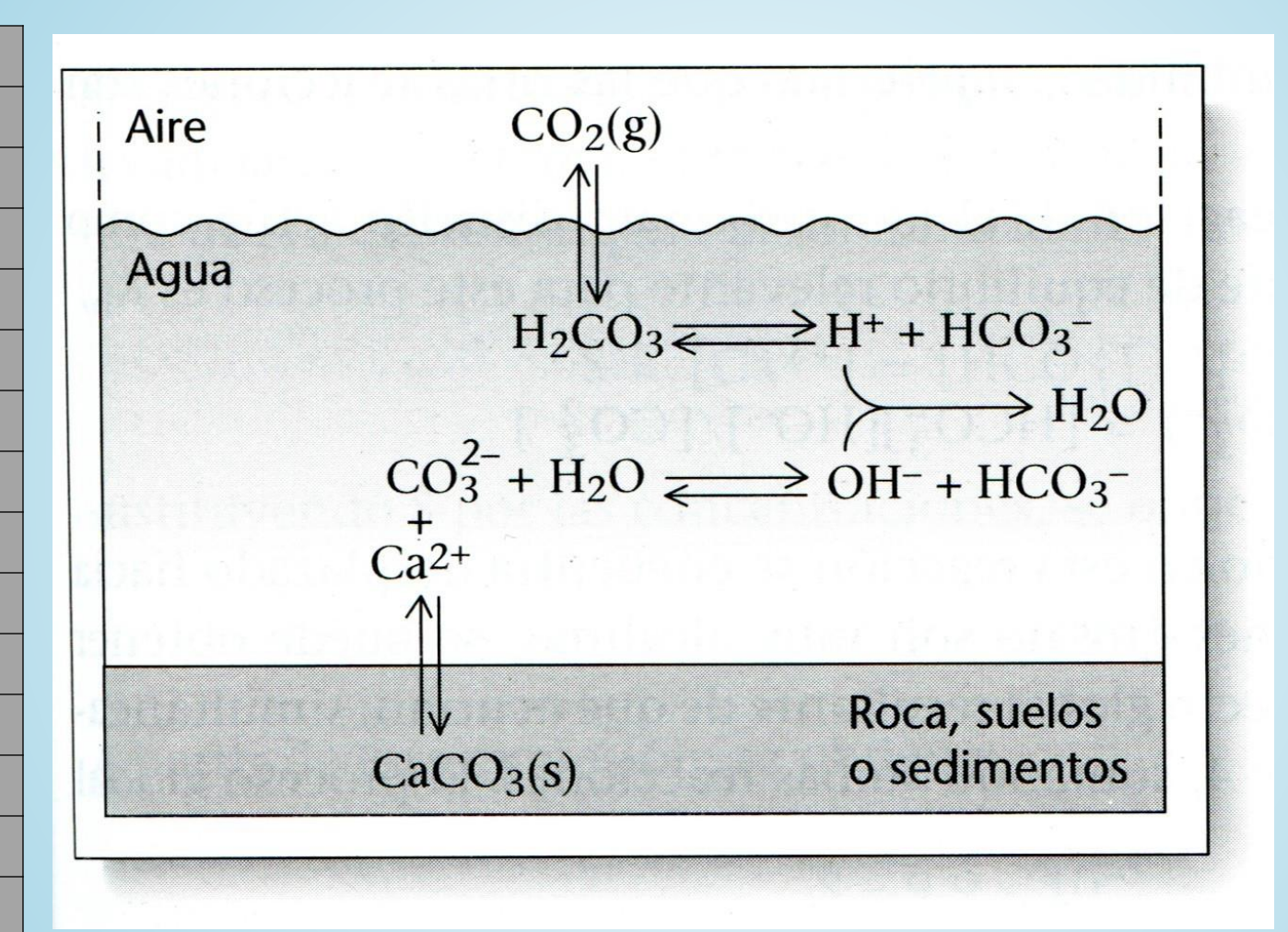
 Ca^{+2} (mg/l)

 $Mg^{+2}(mg/l)$

TDS (mg/l)

Ca/Mg

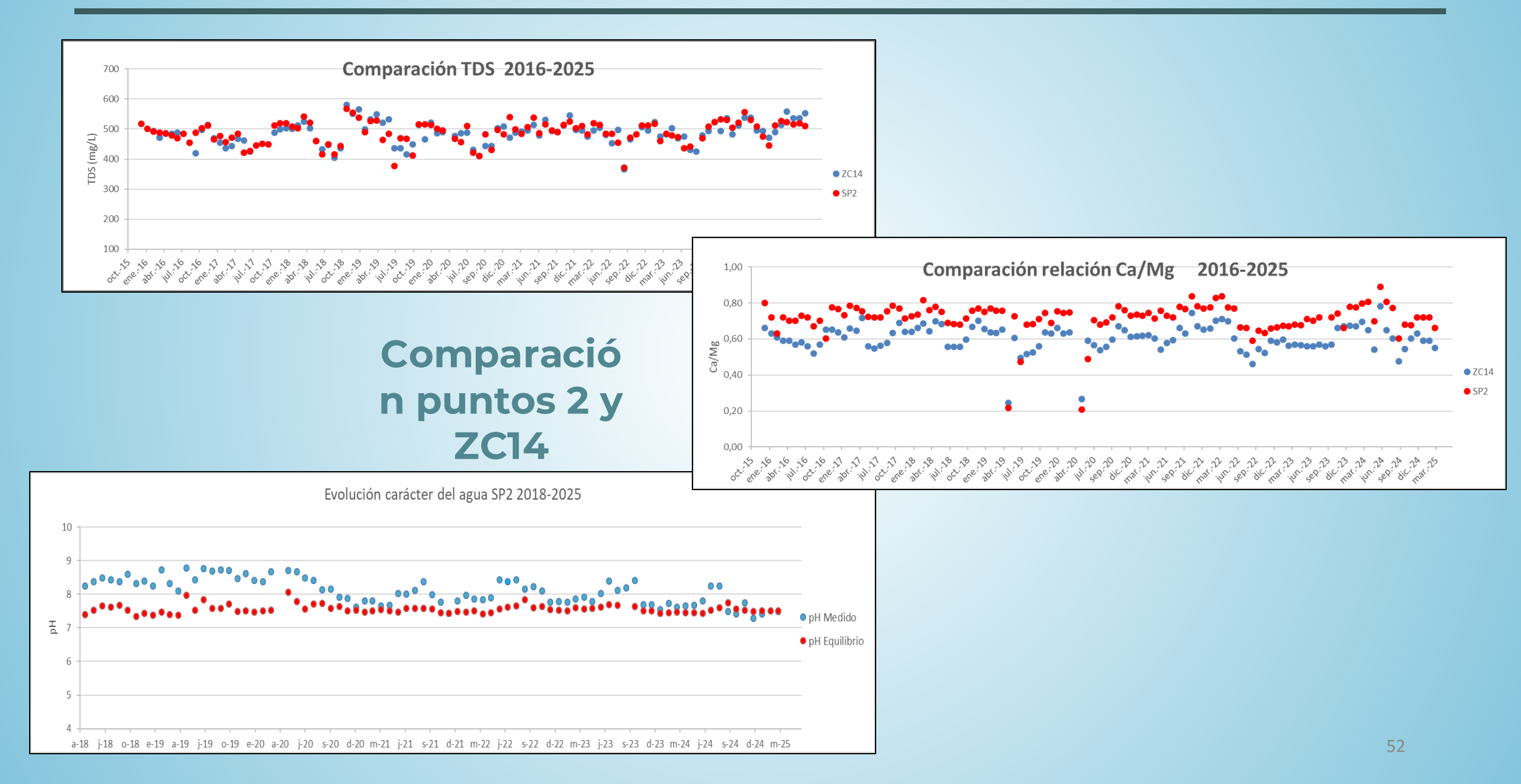
COT (mg/l)



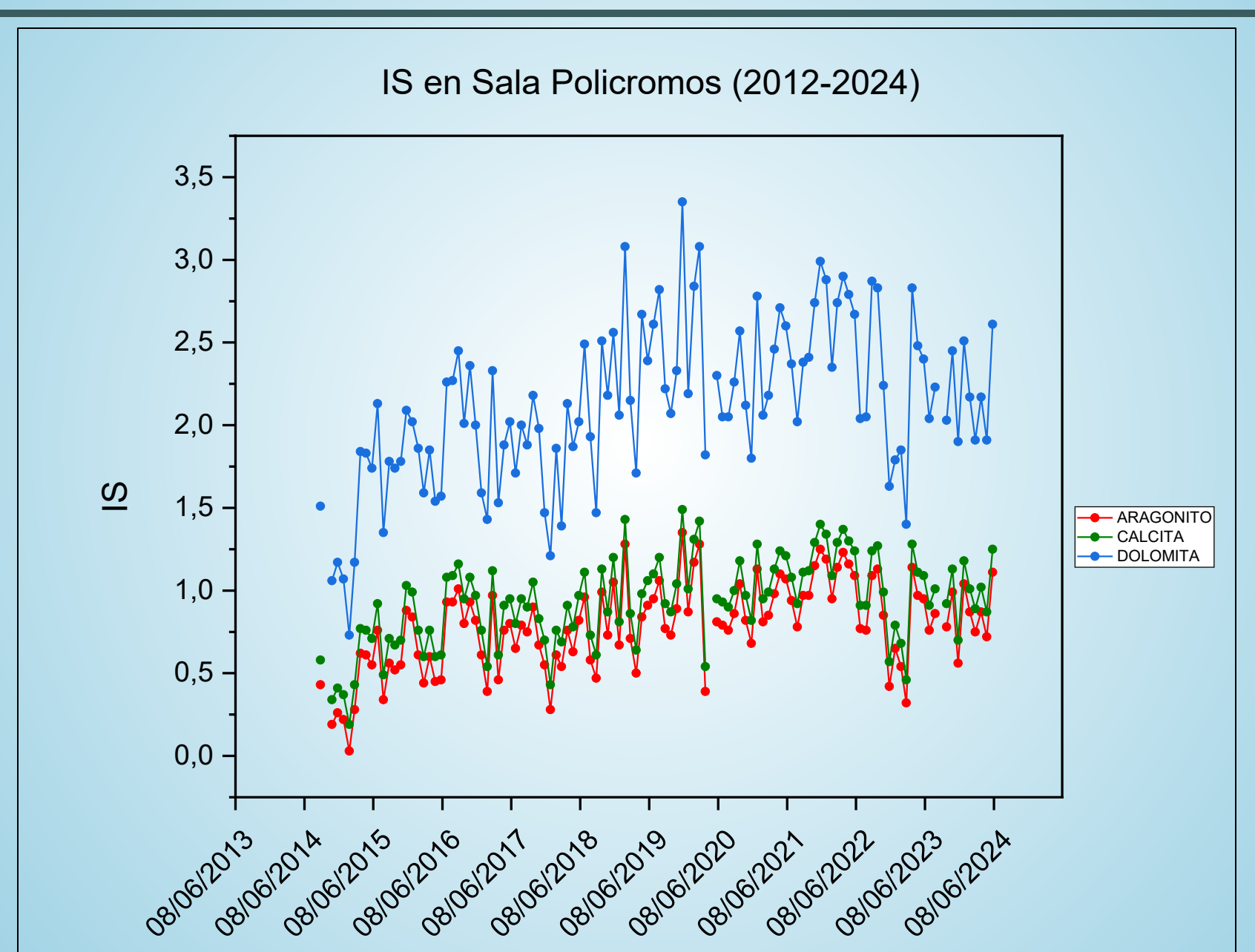
PUNTOS DE MUESTREO VS CONJUNTO

IS > 0 pH > pH (equilibrio)

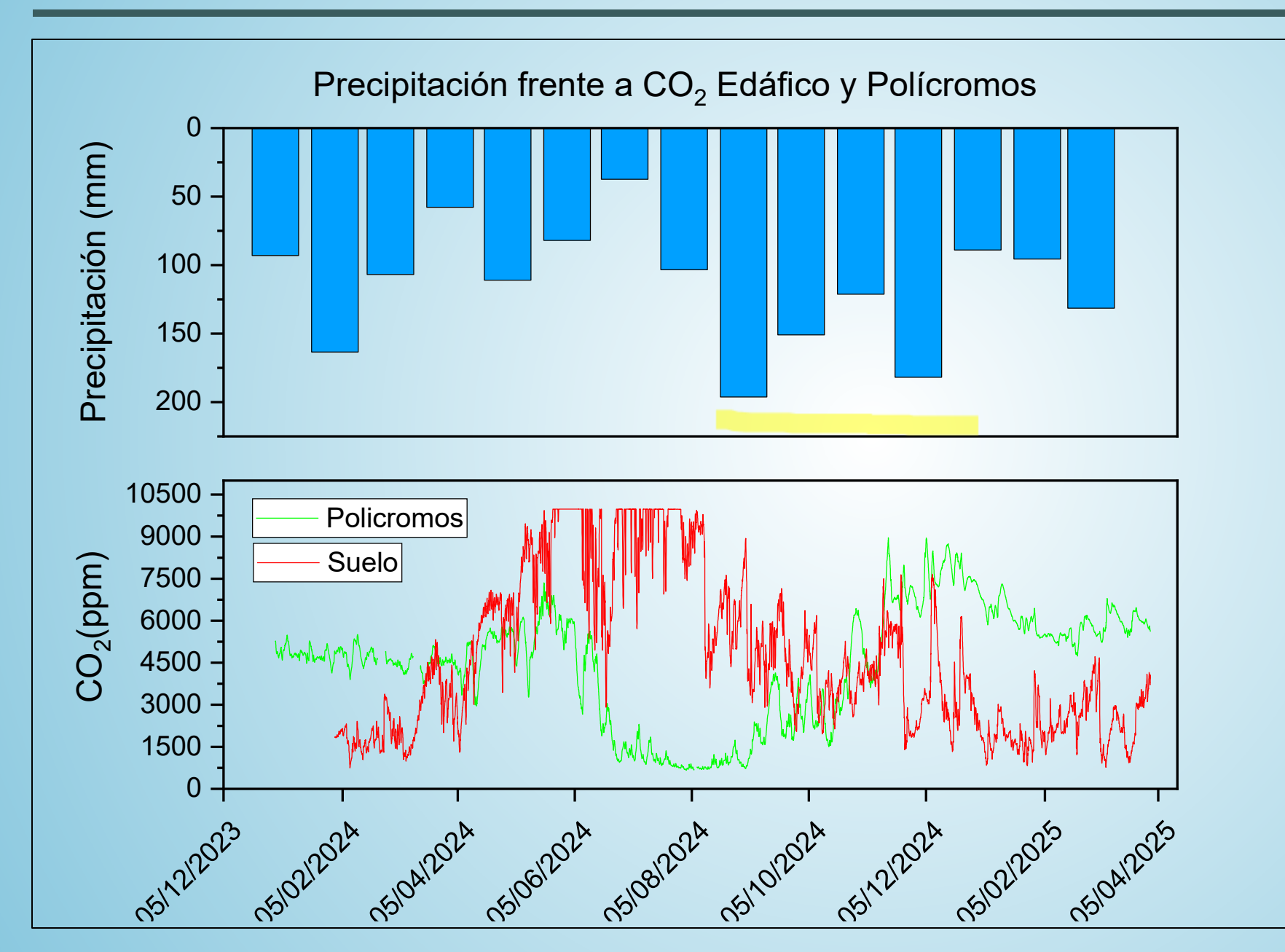
Agua: Composición química



Agua: Composición química



Agua y CO2 edáfico

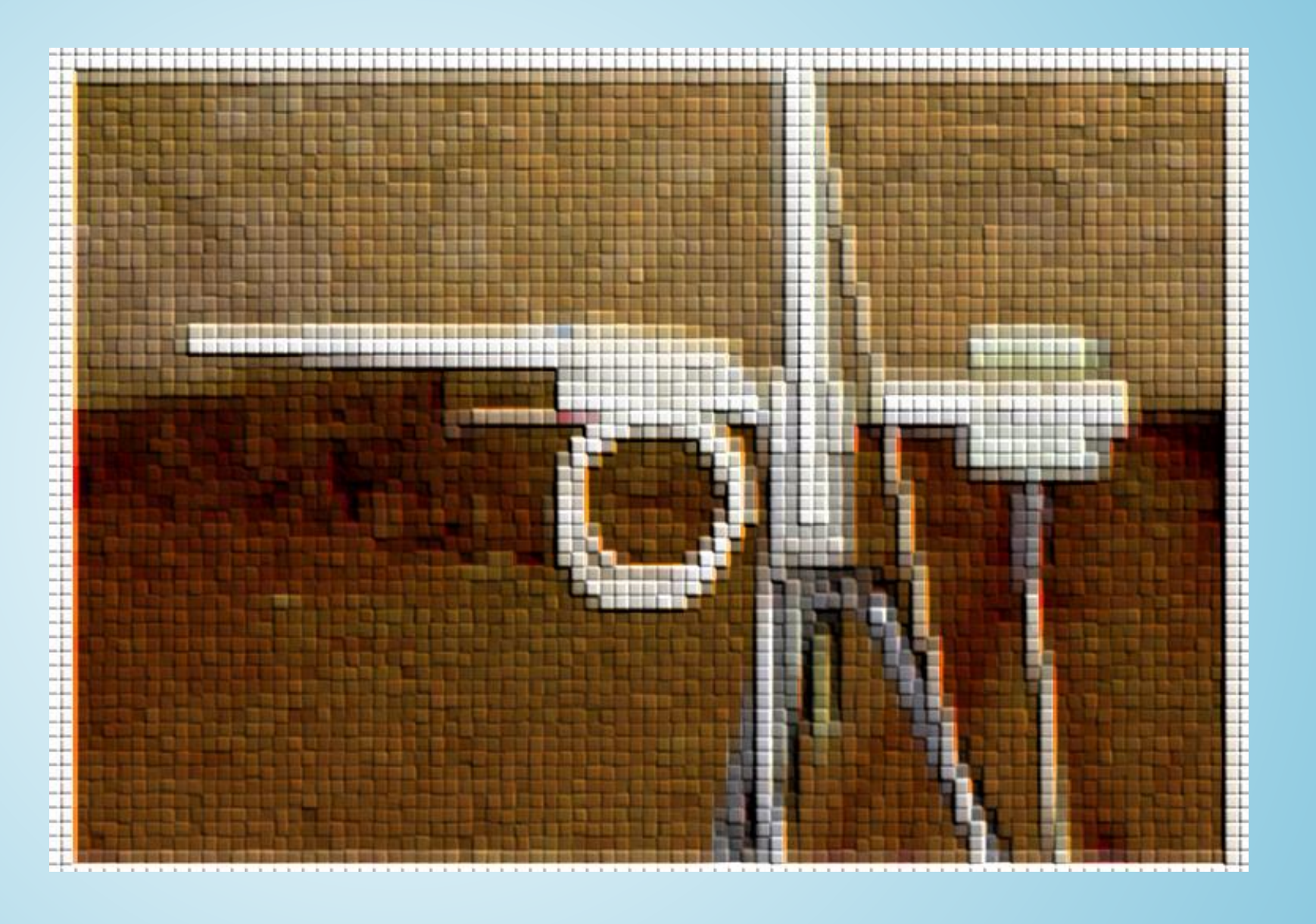


Lluvia y
transporte de
agua
enriquecida
en CO2 al
final del
periodo de
desgasificaci
ón

¿Tiempo de residencia del agua?

Influencia antrópica

Accesibilid ad y visitas experimen tales/públicas



VISITA PÚBLICA

- 1967 1975: 150.000 personas / año
- 1977: 37.000 personas / año (máx 500 personas/día)
- 1977 1982: Cierre al público
- 1982 2002: 11.300 personas / año
- 2002 2014: Segundo cierre al público
- 2014 ...: Visitas experimentales/públicas
 - 5 personas + 2 guias / semana





Descontaminación Monos desechables Mascarillas Calzado

(450+ visitas 2014-2024)





DEFINICIÓN DE LÍMITES

Basada en valores históricos

"Acceso" y "Alarma"

$$T_{acceso} = T_e + |T_{inicial} - T_{final}| + S$$

 $T_{\rm e}$ = Temperatura estimada $T_{\rm inicial}$ del mes del año anterior $T_{\rm final}$ del mes del año anterior S: Sesgo promedio de los dos meses anteriores

$$H_{e,acceso} = \frac{37,95}{1013,25} \cdot X \cdot 10^{\left(\frac{7,5 \cdot T_{accesibilidad}}{237 + T_{accesibilidad}}\right)}$$

$$CO_{2,acceso} = \overline{CO_2} + |Med_{max} - Med_{min}|$$

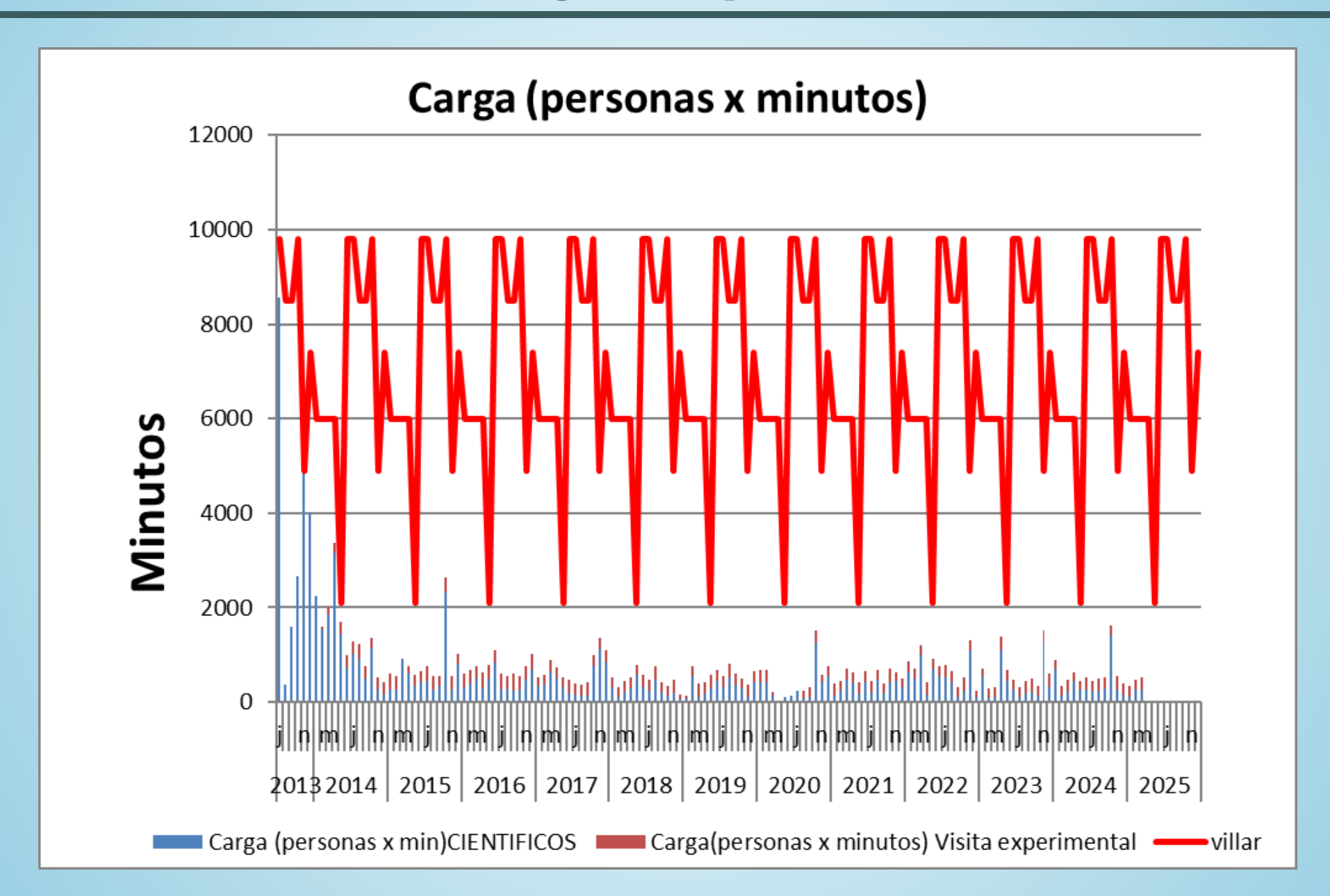
 $\overline{CO_2}$ = Promedio mes histórico

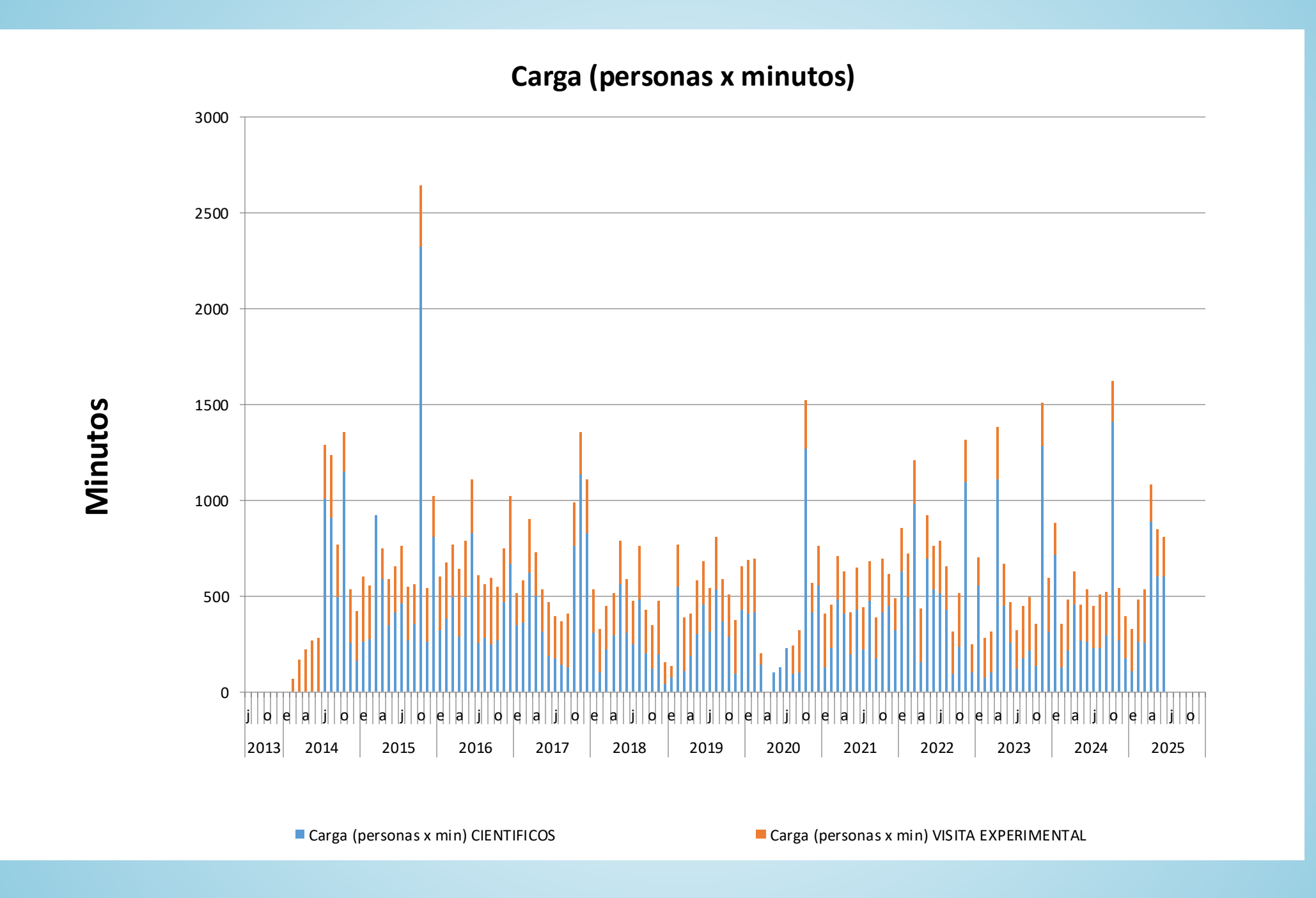
 Med_{max} mediana 5 años valores máximos ese mes. Med_{min} mediana 5 años valores mínimos ese mes.

¡IMPORTANTE!

Límites no definidos con relación a procesos de deterioro, sino con relación al ESTADO "NATURAL" de la Sala

CO2 y ocupación





CO2 y ocupación

Estimación del aporte de CO2 por las visitas en la cueva de Altamira en el periodo Oct24 a Mar25 (ambos incluidos) para la Sala de Polícromos.

Se toma como referencia el incremento promedio experimentado en las visitas públicas:

$$\Delta[\text{CO2}] = \frac{80 \text{ ppm}}{7 \text{ personas} \cdot 8 \text{ min}} = 1.4 \frac{\text{ppm}}{\text{persona} \cdot \text{min}} = 1.4 \frac{\text{ppm}}{\text{carga}}$$

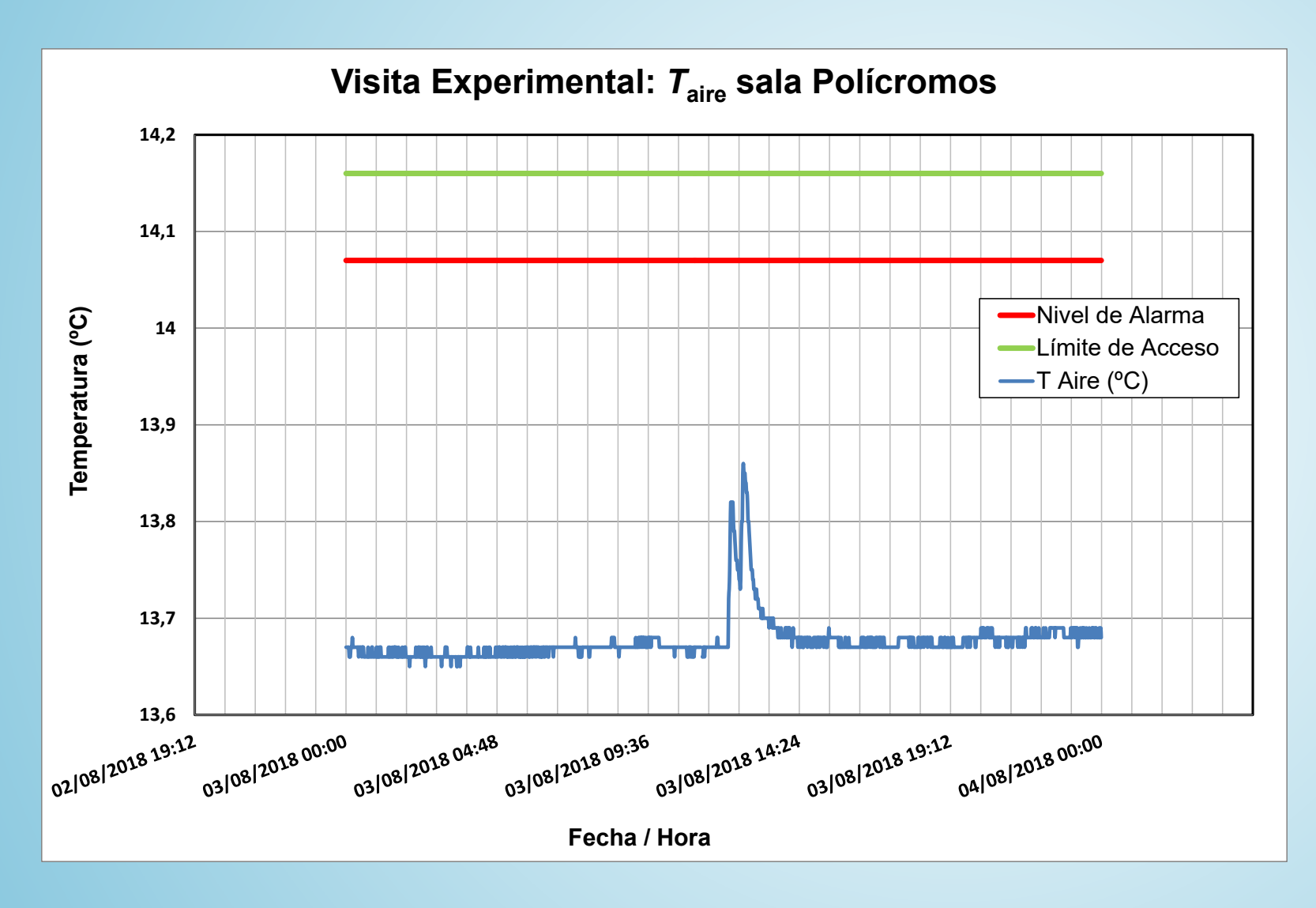
Mes	Carga total (Investigación + público) (personas · min)
Octubre 2024	1626
Noviembre 2024	543
Diciembre 2024	396
Enero 2025	330
Febrero 2025	483
Marzo 2025	537
Oct. 2024 a Marzo 2025	3915

Por lo tanto, el aporte de CO2 en el periodo mencionado es:

$$\delta \text{[CO2]} = \Delta \text{[CO2]} \cdot \textit{carga total} = 1.4 \frac{\text{ppm}}{\text{carga}} \cdot 3915 \text{ carga} = 5872 \text{ ppm}$$

Una parte del CO₂ generado queda acumulado en la sala durante el periodo de confinamient o de gases

INFLUENCIA DE LAS VISITAS EXPERIMENTALES EN LA T



Límite Acceso:

Te + Variación año anterior

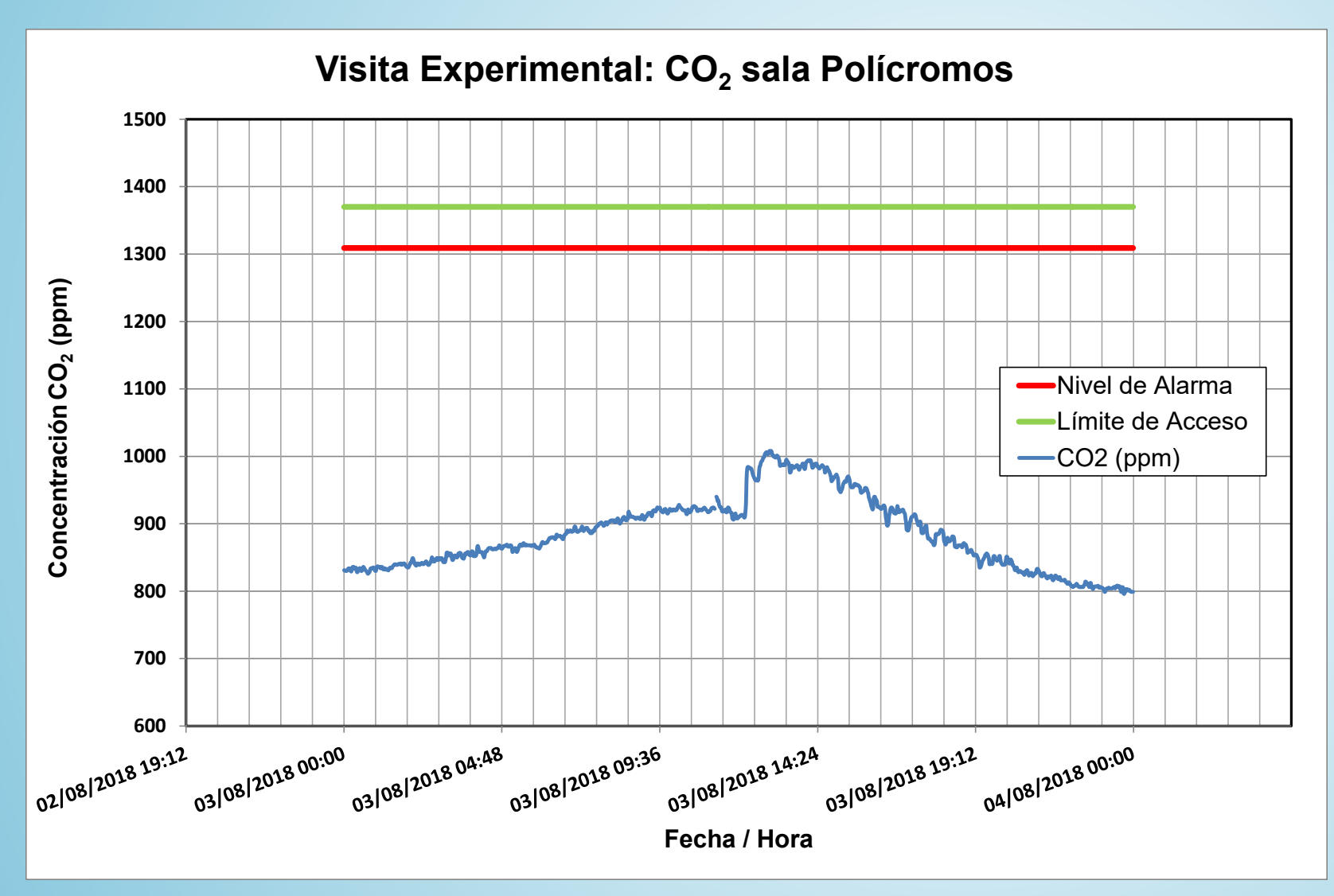
Nivel Alarma:

Inicial + 0,4 °C

3+Guia /15 min/ 2+Guia

$$\Delta T = 0.2$$
 °C

INFLUENCIA DE LAS VISITAS EXPERIMENTALES EN EL CO2



Límite Acceso:

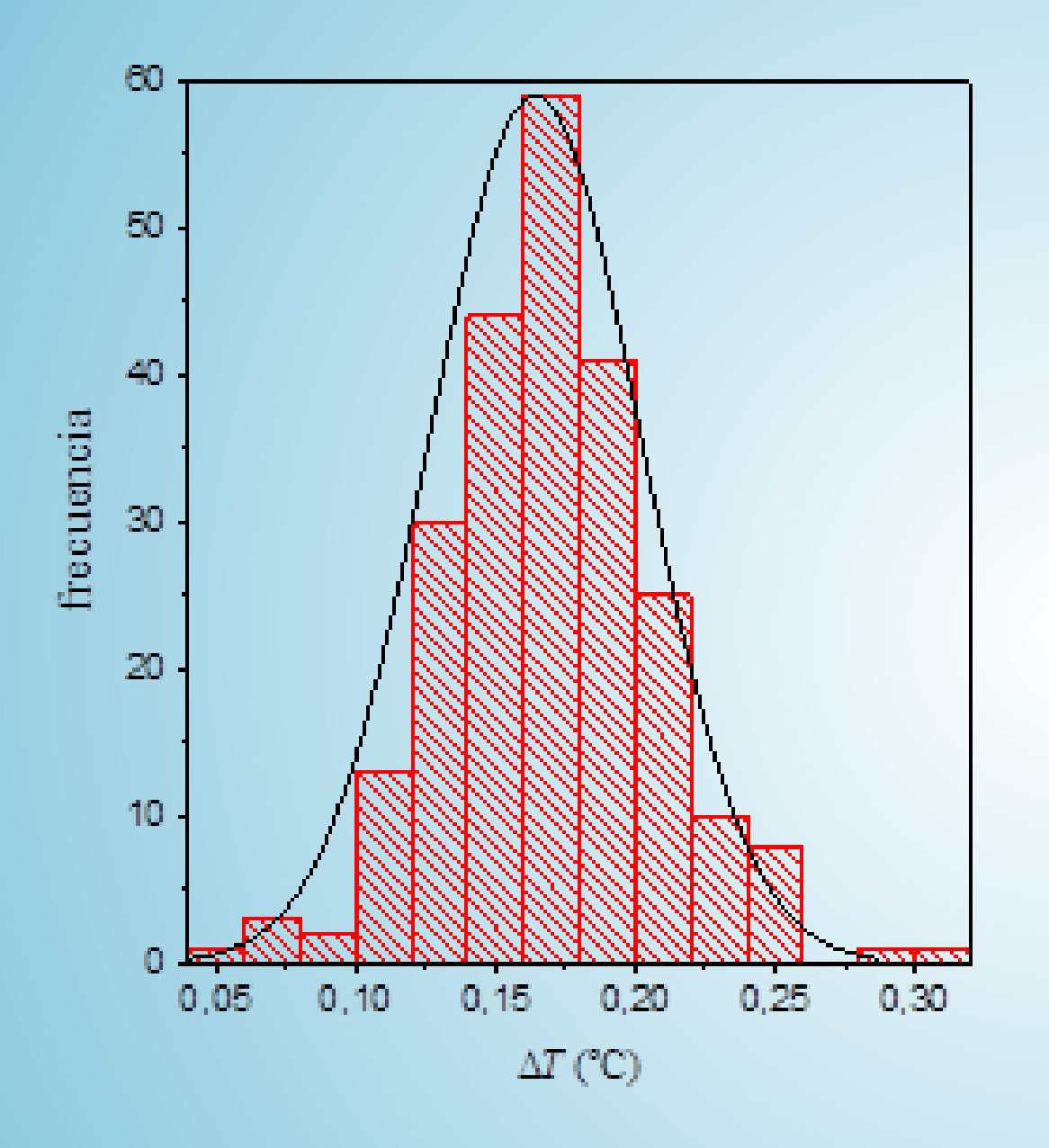
CO2 histórico + Variación años anteriores

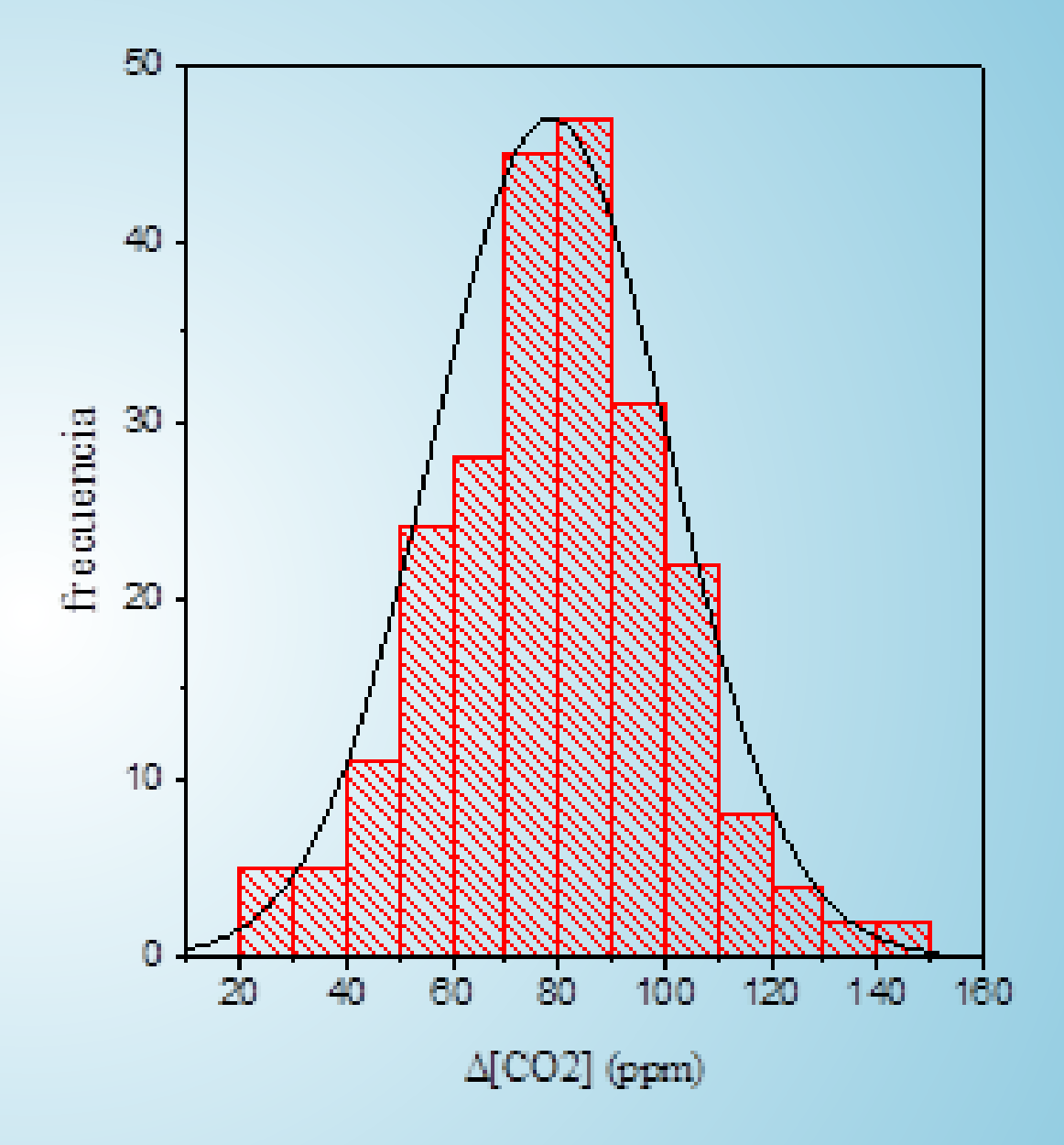
Nivel Alarma:

Inicial + 400 ppm

3+Guia /15 min/ 2+Guia

 Δ CO2 = 100 ppm







Dios creando el universo a través de principios geométricos. Frontispicio de la *Bible Moralisée*, 1215.

Investigación

Contents lists available at Science Direct

Science of the Total Environment





in the cave of Altamira (Cantabria, Spain)

GRAPHICAL ABSTRACT

Carlos Sainz ab, Daniel Rábago a*, Santiago Celaya a, Enrique Fernández a, Jorge Quindós a, Luis Quindós a, Alicia Fernández a. Ismael Fuente a. Jose Luis Arteche C. Luis Santiago Quindós

* Radon Group, University of Cantabria. C/Cardenal Herrera Oria 5/n, 39011 Santander, Spain ²⁰ The Cantabrian International Institute for Prehistoric Research (TBPC), Spain ³¹ Spanish Meteorological Agency, AEMET, Spain

HIGHLIGHTS

- · The distribution of radon concentration reflects the air exchange rates in the cav
- Knowledge of environmental condition
- es occur seasonally at Altamira cave.
- is relevant in the rock art conservation.

 Main gaseous charge-discharge proces able tool for studying atmospheric



Escuela Técnica Superior de Ingenieros de Caminos, LINIVERSIDAD DE CANTABRIA



AI0

TRAB

ANÁLISIS DE LAS SERIES TEMPORALES DE PARÁMETROS QUÍMICOS DE LAS AGUAS DE INFILTRACIÓN EN LA CUEVA DE ALTAMIRA Y SU CORRELACIÓN CON **FACTORES AMBIENTALES**

ANALYSIS OF THE TIME SERIES OF CHEMICAL PARAMETERS INFILTRATION WATERS ALTAMIRA CAVE AND ITS CORRELATION WITH ENVIRONMENTAL FACTORS

Trabajo realizado por:

Miguel Arechavaleta Sancho

Dirigido por:

Carlos Sainz Fernández

José Ezequiel Gómez Arozamena

IOP Publishing | Society for Radiological Protection

J. Radiol. Prot. 40 (2020) 367-380 (14nn)

https://doi.org/10.1088/1361-6498/ab6fd2

Journal of Radiological Protection



Ciencias

IDENTIFICACIÓN Y ANÁLISIS DE FLUCTUACIONES EN EL INTERCAMBIO GASEOSO DE LA CUEVA DE ALTAMIRA CON LA ATMÓSFERA EXTERIOR

(IDENTIFICATION AND ANALYSIS OF THE FLUCTUATIONS OF THE GAS EXCHANGE OF ALTAMIRA CAVE WITH THE EXTERIOR ATMOSPHERE)

> Trabajo de Fin de Grado para acceder a

GRADO EN FÍSICA

Autor: Julia Fábrega Torrano Director: Carlos Sainz Fernández Codirector: Daniel Rábago Gómez Junio - 2021

Variations in radon dosimetry under different assessment approaches in the Altamira Cave

Carlos Sainz^{1,2}, Daniel Rábago^{1,4}, Enrique Fernández¹, Jorge Quindós¹, Luis Quindós¹, Alicia Fernández¹, Ismael Fuente 10, Jose Luis Arteche3 Luis Santiago Quindós^{1,2} and Santiago Celaya¹

Radon Group, University of Cantabria, C/Cardenal Herrera Oria s/n 39011 Santander, Spain

² The Cantabrian 3 Spanish Meteoro

Received 10 Dec Accepted for publ

Journal of Environmental Management

Published 28 Febi Research article

Spatiotemporal distribution of $\delta^{13}C-CO_2$ in a shallow cave and its potential use as indicator of anthropic pressure Alicia Fernández-Villar b. Ismael Fuente-Merino b. Santiago Celava-Gonzalez

ARTICLE INFO

Journal of Hydrology

The role of cave ventilation in the triple oxygen and hydrogen isotope composition of condensation waters in Altamira Cave, northern Spain

Fernando Gázquez a.b.*, Luis Quindós c.d, Daniel Rábago c, Ismael Fuente c, Santiago Celaya c Carlos Sainz e,d

ABSTRACT

ARTICLEINFO

on (6¹⁷O, 6¹⁸O, 8D and derived parameters ¹⁷O-

Facultad de Ciencias

ANÁLISIS DE SERIES TEMPORALES EN LAS **TEMPERATURAS DE LA CUEVA DE** ALTAMIRA: INFLUENCIA DEL AMBIENTE **EXTERIOR**

(Time series analysis of Altamira Cave temperatures: influence of external environment)

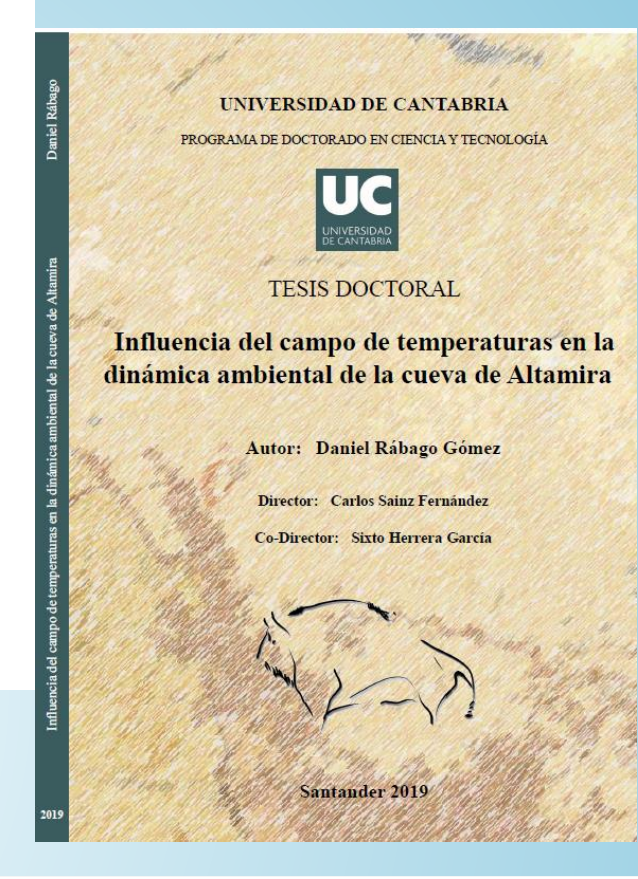
> Trabajo de Fin de Máster para acceder al

MÁSTER EN FÍSICA, INTRUMENTACIÓN Y MEDIO

Autor: Daniel Rábago Gómez

Director: Carlos Sainz Fernández

Octubre 2017







Use of Radon and CO₂ for the Identification and Analysis of Short-Term Fluctuations in the Ventilation of the Polychrome Room Inside the Altamira Cave

Carlos Sainz 1,2, Julia Fábrega 1, Daniel Rábago 1,40, Santiago Celaya 1,2, Alicia Fernandez 1, Ismael Fuente 10, Enrique Fernandez 1, Jorge Quindos 1, Jose Luis Arteche 3 and Luis Quindos 1,2

- $^{1} \quad \text{Radon Group, University of Cantabria, 39011 Santander, Spain; carlos.sainz@unican.es} \ (C.S.);$ julia fabrega@alumnos.unican.es (LE); santiago.celava@unican.es (S.C.); alicia fernandezv@unican.es (A.E.); ismael.fuente@unican.es (LE); enrique.fernandez@unican.es (E.F.); jorge.quindos@unican.es (J.Q.);
- The Cantabrian International Institute for Prehistoric Research (IIIPC), 39005 Santander, Spain
- Spanish Meteorological Agency (AEMET), 39012 Santander, Spain; jartecheg@aemet.es

2014-2024: 5 artículos internacionales, Monografía, 1 tesis doctoral, 2 TFM, 2 TFG, 5 congresos

Investigación

Isótopos estables

Uso de gases como trazadores de procesos de ventilación

Estimación de dosis por inhalación de radón interior

Caracterización de eventos de desgasificación/recarga de corto periodo



Contents lists available at ScienceDirect

Journal of Environmental Management





Research article

Spatiotemporal distribution of $\delta^{13}C-CO_2$ in a shallow cave and its potential use as indicator of anthropic pressure



Fernando Gázquez ^{a, *}, Luis Quindós-Poncela ^b, Carlos Sainz-Fernández ^b, Alicia Fernández-Villar ^b, Ismael Fuente-Merino ^b, Santiago Celaya-Gonzalez ^b

ARTICLE INFO

Article history: Received 18 December 2015 Received in revised form 25 May 2016 Accepted 29 May 2016 Available online 3 June 2016

Keywords: Carbon stable isotopes Cave microclimate Cave air ventilation Altamira Cave Cave management

ABSTRACT

This study deals with the spatiotemporal dynamics of CO₂ and its isotopic composition (§ 13C-CO₂) in the atmosphere of Altamira Cave (northern Spain) over two annual cycles. In general terms, the cavity shows two distinct ventilation modes, acting as a CO2 reservoir from October to May (recharge stage), while actively exchanging gases with the outside atmosphere between July and September (discharge stage). In recharge mode, the in-cave air shows higher and relatively homogeneous CO2 values (3332 ± 521 ppm) with lower $\delta^{13}C-CO_2$ (-23.2 ± 0.4%). In contrast, during the discharge stage, the CO₂ concentrations are lower and relatively more variable (1383 \pm 435 ppm) and accompanied by higher $\delta^{13}C-CO_2$ (up to -12%). This seasonal pattern is controlled by the distinct rates of exchange of air masses with the external atmosphere through the annual cycle, as well as by changes in the production of CO2 in the soil and natural fluctuations in the concentration of dissolved inorganic carbon transported by drip water into the cave, In contrast to the interpretations of previous studies in Altamira Cave, no local air intakes into the deepest cave sections were flagged by our δ13C measurements. This finding is also supported by analyses of CO2 and 222Rn in air, density of airborne particles and air temperature. In addition, preliminary experiments examining the visitor-produced disturbances on δ13C-CO2 were conducted during the various cave ventilation stages to explore the potential use of this parameter as an indicator of anthropic pressure in caves. Our data show that visits (overall stay of 60-85 min; i.e., 4 people for 20 min) significantly affected $\delta^{13}C-CO_2$ (up to $\Delta\delta^{13}C--2\%$) in the Polychrome Hall of Altamira Cave under conditions of low natural CO2 (discharge stage), whereas it remained almost unaltered under circumstances of high CO2 concentration (recharge stage). This demonstrates that $\delta^{13}C-CO_2$ is sensitive to perturbations produced by visitors during certain periods.

© 2016 Elsevier Ltd. All rights reserved.

Origen del CO2

Caracterizaci ón de agua de condensación

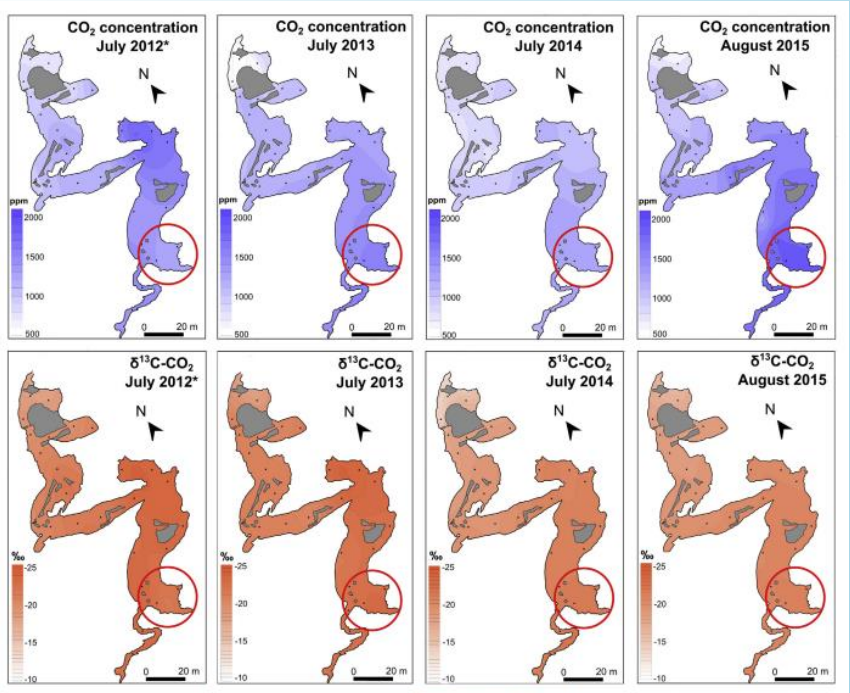


Fig. 5. Spatial distribution of CO₂ concentration and its δ¹³C in Altamira Cave in July 2012 (García-Antón et al., 2013)*, July 2013, July 2014 and August 2015 (this study). Note that the small anomalies in CO₂ concentration and δ¹³C observed in Well Hall (red circles) in 2012 were not repeated in 2013, 2014 or 2015. (For interpretation of the references to colour in this figure legend, the reader is referred to the web version of this article.)

^a Department of Earth Sciences, Cambridge University, Downing Street, Cambridge, Cambridgeshire, CB2 3EQ, United Kingdom

b Radon Research Group, Faculty of Medicine, University of Cantabria, Avda. Herrera Oria s/n, E-39011, Santander, Spain

Journal of Hydrology 606 (2022) 127416



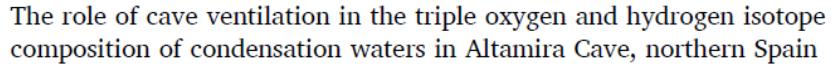
Contents lists available at ScienceDirect

Journal of Hydrology





Research papers







b Andalusian Centre for the Monitoring and Assessment of Global Change (CAESCG), University of Almería, Spain

ARTICLEINFO

This manuscript was handled by Marco Borga, Editor-in-Chief, with the assistance of Huade Guan, Associate Editor

Keywords: Cave management

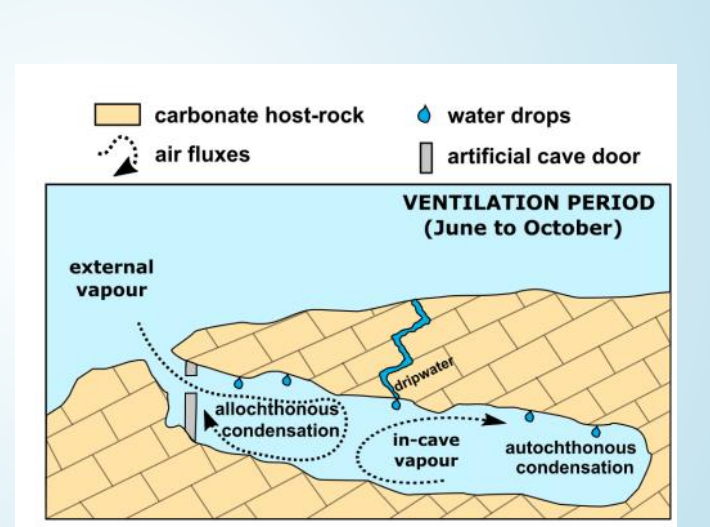
Cave monitoring Condensation wa

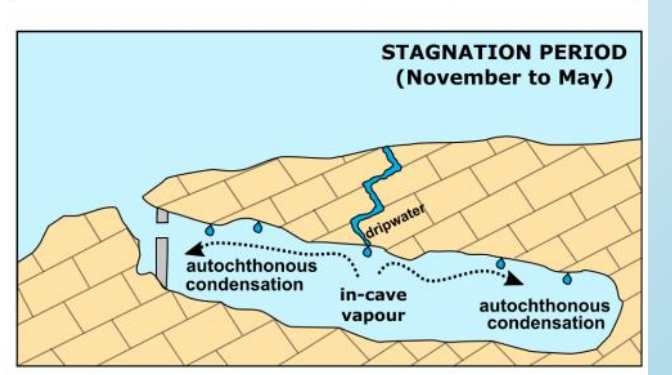
Condensation wa Stable isotopes

Oxygen-17 Triple oxygen isotopes

ABSTRACT

In cave environments, water vapor condensation occurs naturally when warmer/wet air masses flow close to colder cave surfaces. Artificial microclimate perturbations in show caves can enhance this process, leading to potential deterioration of rock art and degradation of speleothems. Here we investigate the triple oxygen and hydrogen isotopic compositions of condensation water in Altamira Cave (Cantabria, northern Spain) to evaluate the potential of stable isotopes in the study of condensation mechanisms in caves. We assess the role of cave ventilation in the spatiotemporal isotopic variability of condensation water in Altamira Cave. To this end, water drops that condense naturally on artificial supports in different parts of the cave were collected for 7 years and their isotopic compositions (817O, 818O, 8D and derived parameters 17O-excess and d-excess) were compared to those of droplets with no apparent dripping taken from the cave ceiling (i.e. presumably condensation water) and fast dripping points (i.e. infiltration water) during the same period. Condensation waters in the outmost cave sectors, closer to the entrance, show higher δ¹⁷O, δ¹⁸O and δD values during the cave ventilation period (June to October) compared to the rest of the year. This seasonal pattern can be explained by changes in the contributions of two moisture sources for condensation: advection of allochthonous water vapor from outside during the cave ventilation period and recycling of autochthonous vapor generated from cave dripwater during the stagnation period. In contrast, the isotopic values of condensation waters in the inner cave sectors are similar to those of infiltration water, with insignificant seasonal variability. This suggests that water condensation in the inner cave sectors is sourced by autochthonous vapor, with no significant contributions of external moisture, even during the cave ventilation period. We conclude that allochthonous water vapor condenses preferentially in the Entrance Hall and does not affect significantly the rest of the cave. These results are relevant for the management of Altamira Cave and for future investigations on condensation mechanisms in cavities elsewhere.





Caracterizaci
ón isotópica y
origen del
agua de
condensación
en diferentes
periodos del
año

^c Radon Research Group, Faculty of Medicine, University of Cantabria, Avda. Cardenal Herrera Oria s/n, E-39011 Santander, Spain

^d The Cantabrian International Institute for Prehistoric Research (IIIPC), Spain



Contents lists available at ScienceDirect

Science of the Total Environment

journal homepage: www.elsevier.com/locate/scitotenv



Continuous monitoring of radon gas as a tool to understand air dynamics in the cave of Altamira (Cantabria, Spain)



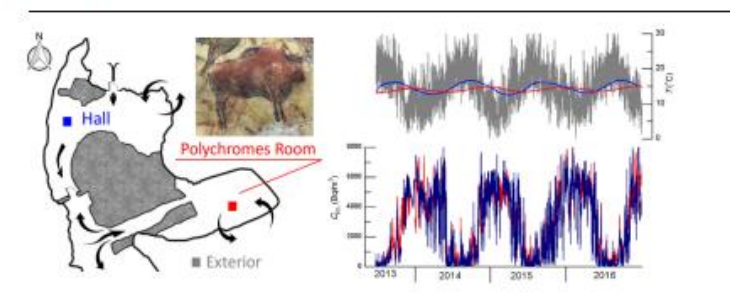
Carlos Sainz ^{a,b}, Daniel Rábago ^{a,*}, Santiago Celaya ^a, Enrique Fernández ^a, Jorge Quindós ^a, Luis Quindós ^a, Alicia Fernández ^a, Ismael Fuente ^a, Jose Luis Arteche ^c, Luis Santiago Quindós ^{a,b}

- Radon Group, University of Cantabria. C/Cardenal Herrera Oria s/n, 39011 Santander, Spain
- b The Cantabrian International Institute for Prehistoric Research (IIIPC), Spain
- Spanish Meteorological Agency, AEMET, Spain

HIGHLIGHTS

- The distribution of radon concentration reflects the air exchange rates in the cave.
- Knowledge of environmental conditions is relevant in the rock art conservation.
- Main gaseous charge-discharge processes occur seasonally at Altamira cave.
- Radon continuous monitoring is a valuable tool for studying atmospheric dynamics.

GRAPHICAL ABSTRACT



ARTICLE INFO

Article history: Received 26 October 2017 Received in revised form 12 December 2017 Accepted 13 December 2017 Available online 27 December 2017

Editor: D. Barcelo

Keywords: Radon

Cave

Conservation Carbon dioxide Ventilation

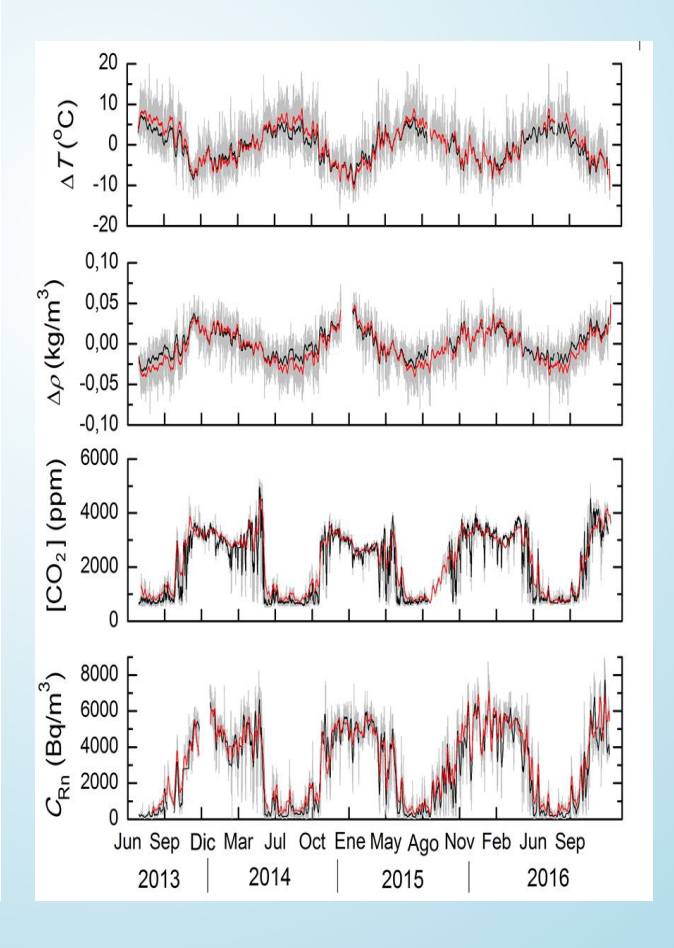
ABSTRACT

The use of radon as an atmospheric tracer in the Altamira Cave over the past 30 years has provided relevant information about gaseous exchanges between the Polychromes Room, the adjoining Chambers inside the cave, and the outside atmosphere. The relatively simple physico-chemical behaviour of radon gas provides a marked advantage over other tracer gases that are usually present in high concentrations in hypogeous environments. such as CO2. Two types of continuous radon measurement were undertaken. The first involves active detectors located in the Hall and Polychromes Room, which provide radon concentration values at 1-hour intervals, In addition, nuclear solid track etched detectors (CR-39) are used in every chamber of the cave over 14-day exposure periods, providing average radon concentrations. In this paper we show some of the specific degassing and recharge events identified by anomalous variations in the concentration of radon gas in the Polychromes Room. In addition, we update knowledge regarding the degree of connection between chambers inside the cave and with the outside atmosphere. We verify that the connection between the Polychromes Room and the rest of the cave has been drastically reduced by the installation of the second closure in 2008. Except for point exchanges with the Crossing zone generated by a negative temperature gradient in that direction, the atmosphere of the Polychromes Room remains stable, or else it exchanges matter with the outside atmosphere through the karst interface. The role of radon as a tracer is demonstrated to be valid both to reflect seasonal cycles of degassing and recharge, and to analyse shorter (daily) period fluctuations.

© 2017 Elsevier B.V. All rights reserved.

Uso del radón como trazador de dinámica atmosférica

Descripción de mecanismo principal de intercambio cueva exterior







Use of Radon and CO₂ for the Identification and Analysis of Short-Term Fluctuations in the Ventilation of the Polychrome Room Inside the Altamira Cave

Carlos Sainz 1,2, Julia Fábrega 1, Daniel Rábago 1,*@, Santiago Celaya 1,2, Alicia Fernandez 1, Ismael Fuente 1,0, Enrique Fernandez 1, Jorge Quindos 1, Jose Luis Arteche 3 and Luis Quindos 1,2

- Radon Group, University of Cantabria, 39011 Santander, Spain; carlos.sainz@unican.es (C.S.); julia.fabrega@alumnos.unican.es (J.F.); santiago.celaya@unican.es (S.C.); alicia.fernandezv@unican.es (A.F.); ismael.fuente@unican.es (I.F.); enrique.fernandez@unican.es (E.F.); jorge.quindos@unican.es (J.Q.); luis.quindos@unican.es (L.Q.)
- The Cantabrian International Institute for Prehistoric Research (IIIPC), 39005 Santander, Spain
- Spanish Meteorological Agency (AEMET), 39012 Santander, Spain; jartecheg@aemet.es
- Correspondence: daniel.rabago@unican.es

Abstract: A study is presented on rapid episodes of air exchange in the Polychrome Room of the the internal and external atmosphere.

Keywords: radon; CO2; tracer; rock art; cave

Altamira Cave (Cantabria, Spain) using continuous monitoring of radon and CO2 tracer gases, as well as environmental parameters such as internal and external air temperature. For this, criteria have been developed to carry out an inventory of these types of events during the 2015-2020 period. Most of the degassing-recharging events occur over several hours or days, especially during spring and autumn. This means that the room can be significantly ventilated during these short periods of time, posing an exchange of energy and matter with potential impact in the preservation of the rock art present inside. In addition, the hypothesis that temperature gradients between the internal and external atmosphere is one of the main factors that induces degassing has been tested. To this end, correlation analysis has been carried out between the different magnitudes involved in this study, such as radon and CO2 concentrations, and air temperature gradients. A total of 37 degassing-recharging events have been analyzed for the 5 year studied period. The distribution of the duration of the events have been described, as well as that of the correlations between the degassing and recharge stages of each event, showing significant values of r coefficients for the correlation with temperature gradients between

doi.org/10.3390/ijerph19063662 Academic Editor: Miroslaw Janik

Altamira Cave. Int. J. Environ. Res.

Public Health 2022, 19, 3662. https://

check for

updates

Citation: Sainz, C.; Fábrega, J.;

Rábago, D.; Celaya, S.; Fernandez, A.;

Fuente, I.; Fernandez, E.; Quindos, J.;

Radon and CO2 for the Identification

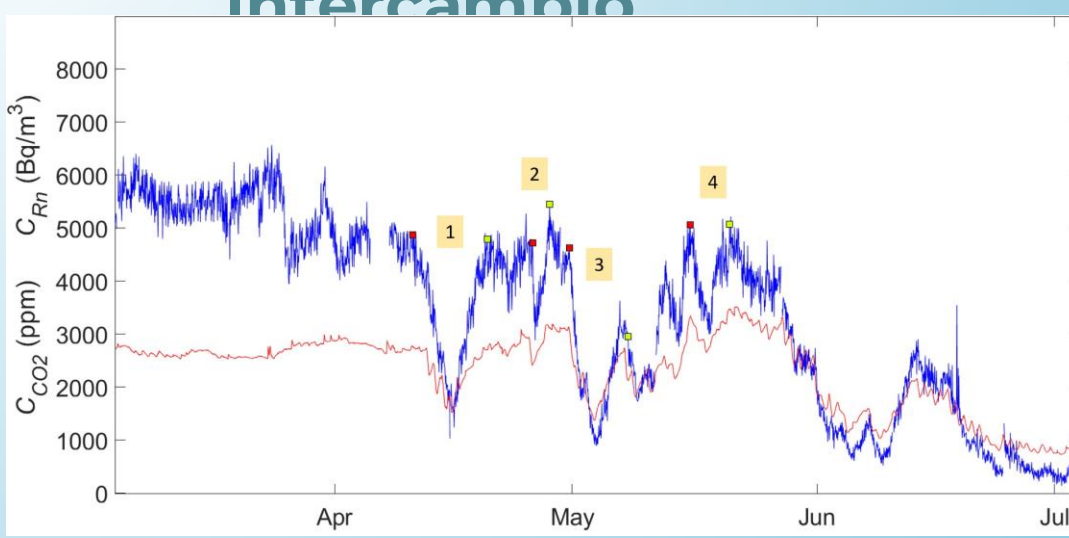
Arteche, J.L.; Quindos, L. Use of

and Analysis of Short-Term Fluctuations in the Ventilation of the

Polychrome Room Inside the

Uso del radón como trazador de dinámica atmosférica

Descripción de mecanismo principal de intercambio



Variations in radon dosimetry under different assessment approaches in the Altamira Cave

Carlos Sainz^{1,2}, Daniel Rábago^{1,4}, Enrique Fernández¹, Jorge Quindós¹, Luis Quindós¹, Alicia Fernández¹, Ismael Fuente¹, Jose Luis Arteche³, Luis Santiago Quindós^{1,2} and Santiago Celaya^{1,2}

E-mail: daniel.rabago@unican.es

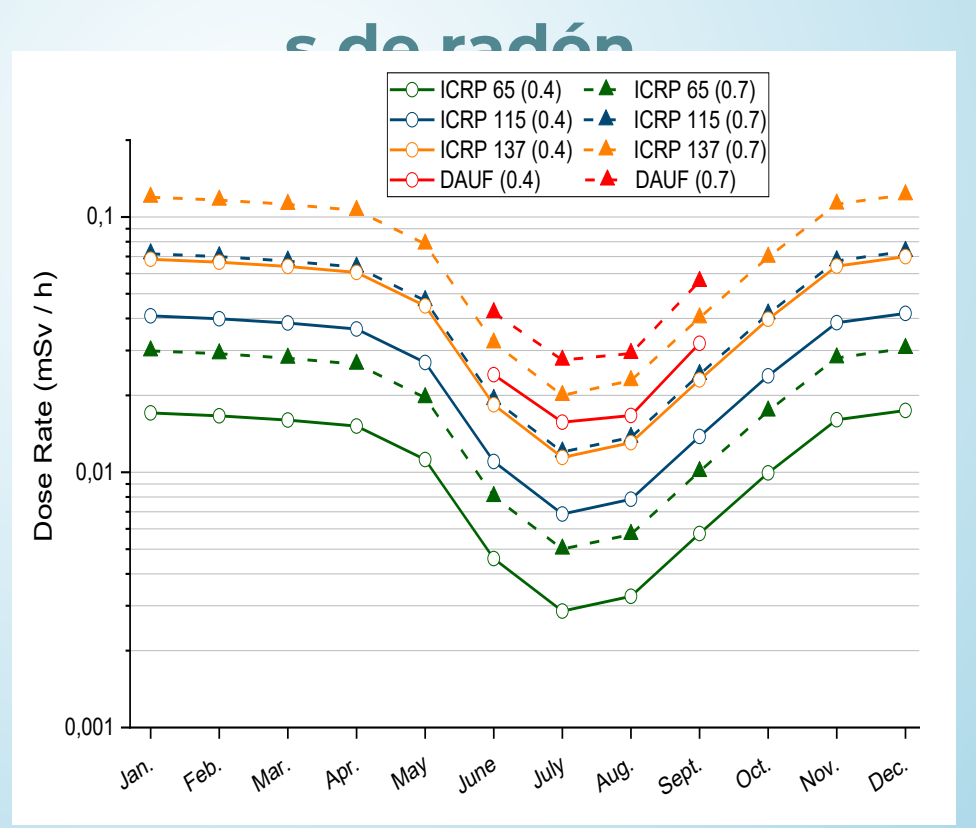
Received 10 December 2019, revised 20 January 2020 Accepted for publication 24 January 2020 Published 28 February 2020



Abstract

The atmosphere of caves is a special environment where it is necessary to take into account some particular characteristics when assessing the radon dose. The equilibrium factor (F) between radon and its progeny, and especially its unattached fraction (f_p) , is a key parameter in radon dose evaluation. In order to consider the specific features of the atmosphere in the Altamira Cave, the radon and particle concentrations have been measured. The mean annual radon concentration inside the cave over the period 2013-2019 is around 3500 Bg m⁻³ with a standard deviation of 1833 Bg m⁻³ and this exhibits seasonal variations. This value surpasses all international (WHO, IAEA, ICRP) upper action and reference levels (occupational and non-occupational). Dose rate levels expressed in µSv h⁻¹ were estimated for four different equilibrium scenarios between radon and its progeny 218Po, 214Pb, 214Bi and ²¹⁴Po. The most recent dose conversion factors have been used and the contribution made to the dose by the unattached fraction of radon progeny f_p has been also assessed from the particle concentration. The results suggest that the mean annual dose levels show variations of up to 500% due to the range of F and the f_p considered in this study. Given the high radon concentrations usually found in show caves, the best way to reduce this variability and its

Evaluación de tasas de dosis por inhalación de descendiente



¹ Radon Group, University of Cantabria, C/Cardenal Herrera Oria s/n 39011, Santander, Spain

²The Cantabrian International Institute for Prehistoric Research (IIIPC), Spain ³ Spanish Meteorological Agency, AEMET, Spain



Relación Temperatura Cruce con Ramal



Facultad de Ciencias

ANÁLISIS DE FLUCTUACIONES TÉRMICAS NO ESTACIONALES EN LA ZONA DE CRUCE EN EL INTERIOR DE LA CUEVA DE ALTAMIRA

(No seasonal thermal fluctuations analysis in the Crossing zone inside Altamira's cave)

Trabajo de Fin de Grado para acceder al

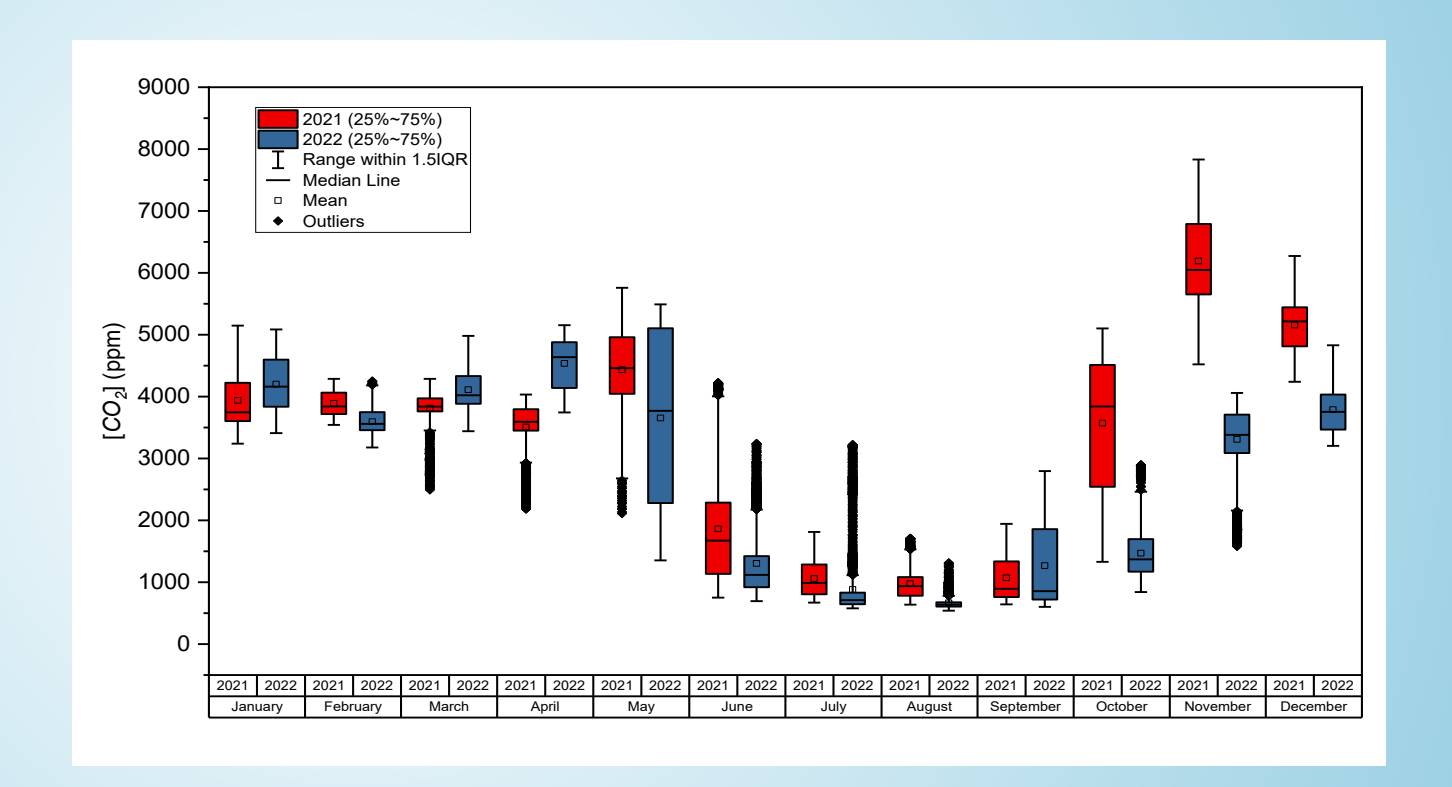
GRADO EN FÍSICA

Autor: Irene Morales Mena

Director: Carlos Sainz Fernández

Co-Director: Daniel Rábago Gómez

Septiembre - 2023



Implications of daily thermal variations in the ventilation and indoor CO2 levels in the Cave of Altamira (in press)



Original Research Article



Evaluation of commercial facemasks to reduce the radioactive dose of radon daughters

Volume 54: 1–16

© The Author(s) 2024
Article reuse guidelines:
sagepub.com/journals-permissions
DOI: 10.1177/15280837241247342
journals.sagepub.com/home/jit

S Sage

Isidoro Gutiérrez-Álvarez^{1,2}, Santiago Celaya González¹, Ismael Fuente Merino¹, Luis Santiago Quindós¹ and Carlos Saínz Fernández¹

Abstract

Commercial facemasks have become a common tool during the COVID-19 pandemic. They are cheap, simple to use and some are capable of filtering out most particles in the air, protecting the user. These qualities are usually employed in relation to hurtful viruses or contaminants, but they could also be used to prevent the radioactive dose due to radon, which is the second leading cause of lung cancer worldwide. For that reason, the main goal of this study is to verify if facemasks could prevent radon decay products from entering the potential user's lungs. Since these decay products are the main source of radioactive dose, several commercial facemasks were tested by exposing them to radon and then measuring the presence of radon daughters by gamma spectroscopy. Reusable facemasks made from materials such as cotton, polyester or neoprene appeared to be inefficient with only 40% filtering efficiency, Polypropylene woven masks being the only exception, with 80% efficiency. Surgical masks presented filtering efficiencies between 90 and 98%. FFP3 and FFP2 proved to be the most reliable, almost completely filtering out radon daughters with filtering efficiencies up to 98%. Results prove that the use of

Corresponding author:

Santiago Celaya González, Faculty of Medicine, Department of Medical and Surgical Sciences, University of Cantabria, Cardenal Herrera Oria, Santander 3901 I, Spain.

Emails: celayas@unican.es



Creative Commons Non Commercial CC BY-NC: This article is distributed under the terms of the Creative Commons Attribution-NonCommercial 4.0 License (https://creativecommons.org/licenses/by-nc/4.0/) which permits non-commercial use,

reproduction and distribution of the work without further permission provided the original work is attributed as specified on the SAGE and Open Access pages (https://us.sagepub.com/en-us/nam/open-access-at-sage).

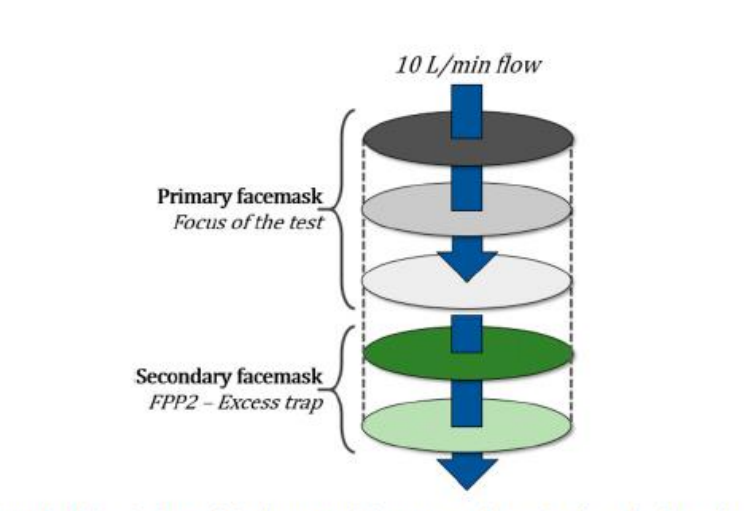
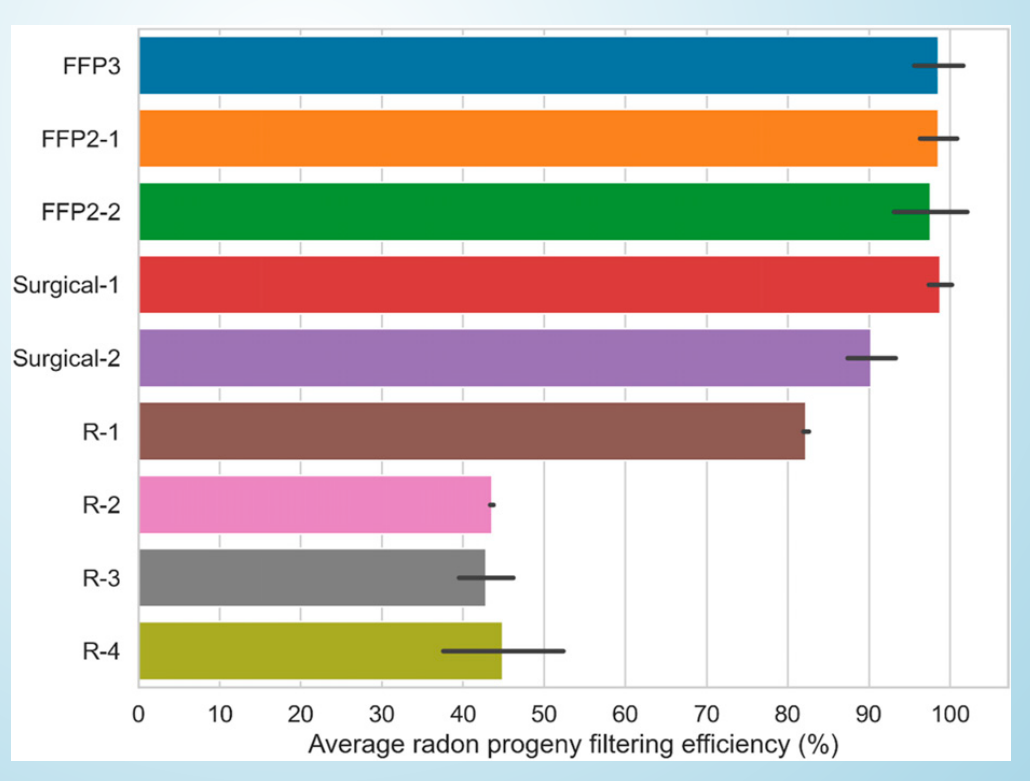


Figure 1. Idealized scheme of the placement of the primary and secondary facemaks during the samplings.





Radon Group, University of Cantabria, Santander, Spain

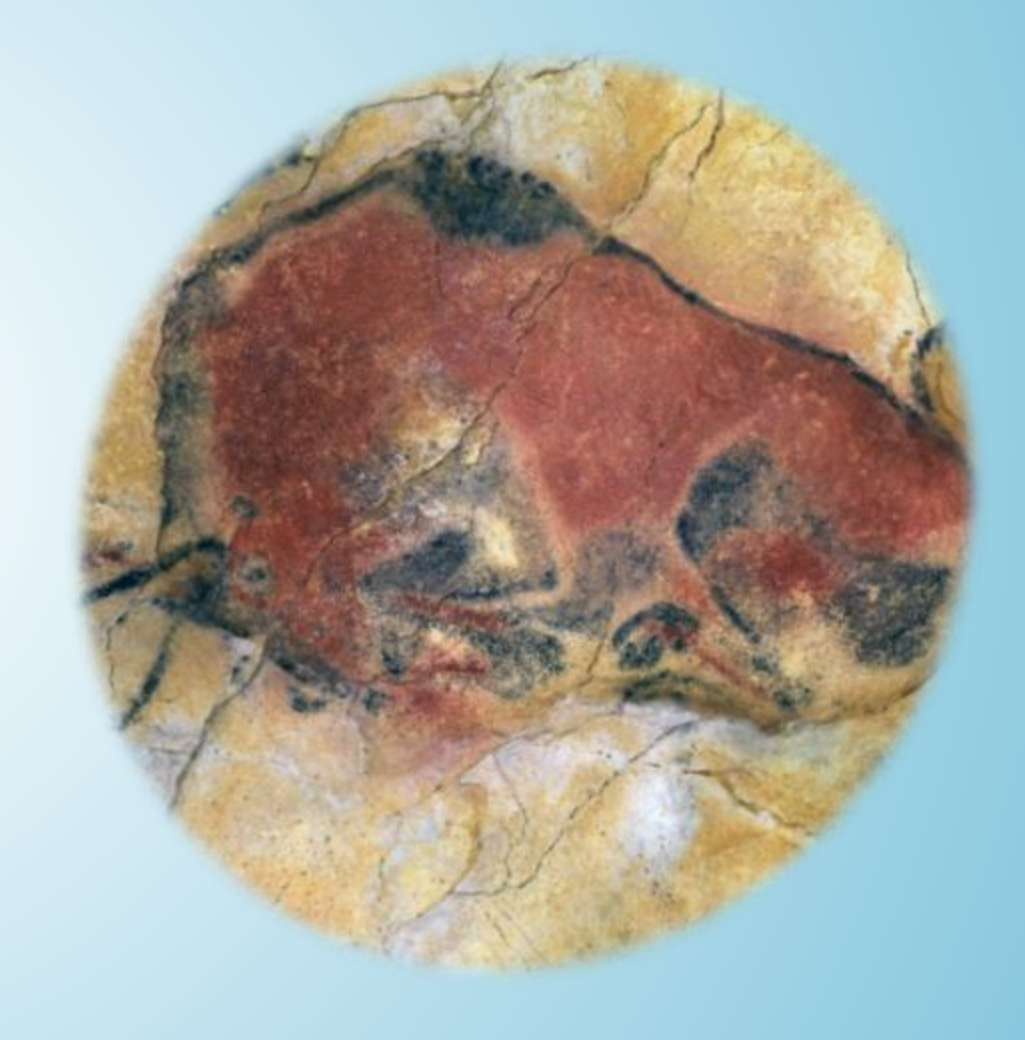
²Integrated Sciences Department, University of Huelva, Faculty of Experimental Sciences, Huelva, Spain

Lineas futuras...

- Caracterización experimental del factor de equilibrio entre el radon y sus descendientes
- Estudio puntos caida de pigmento
- Evaluación ambiental del impacto antrópico
- **➤** Influencia calentamiento exterior
- ➤ Modelo ambiental integrado
- **≻Etc...**

A MODO DE CONCLUSIÓN...

- El seguimiento Ambiental es una herramienta esencial tanto para la gestión cultural como para la generación de conocimiento basado en la evidencia científica.
- La cantidad y, sobre todo, la calidad de la información acumulada tienen un valor fundamental para su uso y estudio futuros
- ➤ Altamira "respira" profundamente solo una vez cada año, y necesitamos ver como lo hace muchas veces para entenderla y conservarla mejor



Muchas gracias por vuestra atención

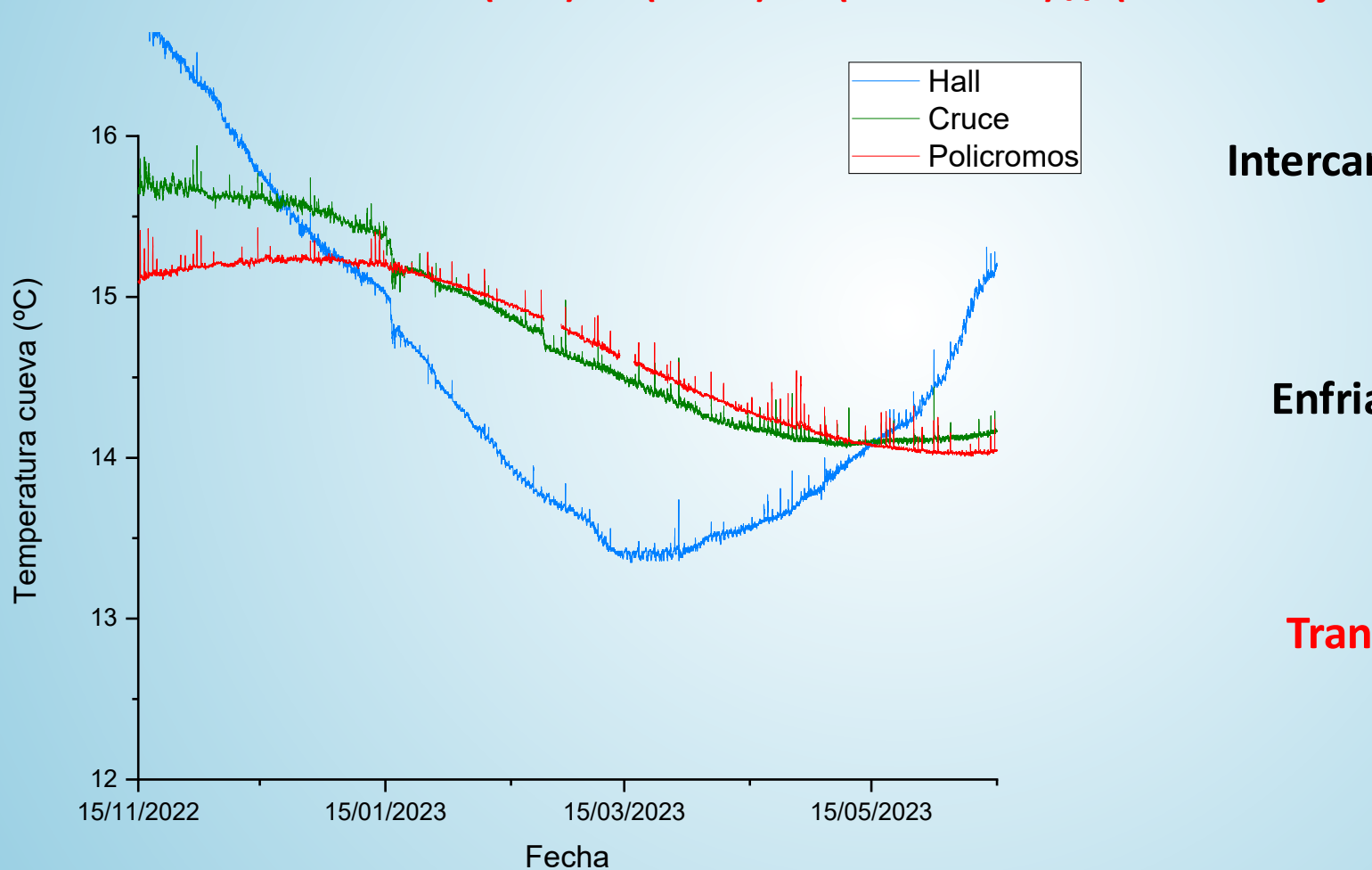


Pictures Source: Altamira's Museum

http://www.culturaydeporte.gob.es/mnaltamira/home.html

Cambios dinámica interna

"Situación 1": t (Hall) < t (Cruce) < t (Policromos) // (diciembre-junio)



Intercambio Hall → Cruce



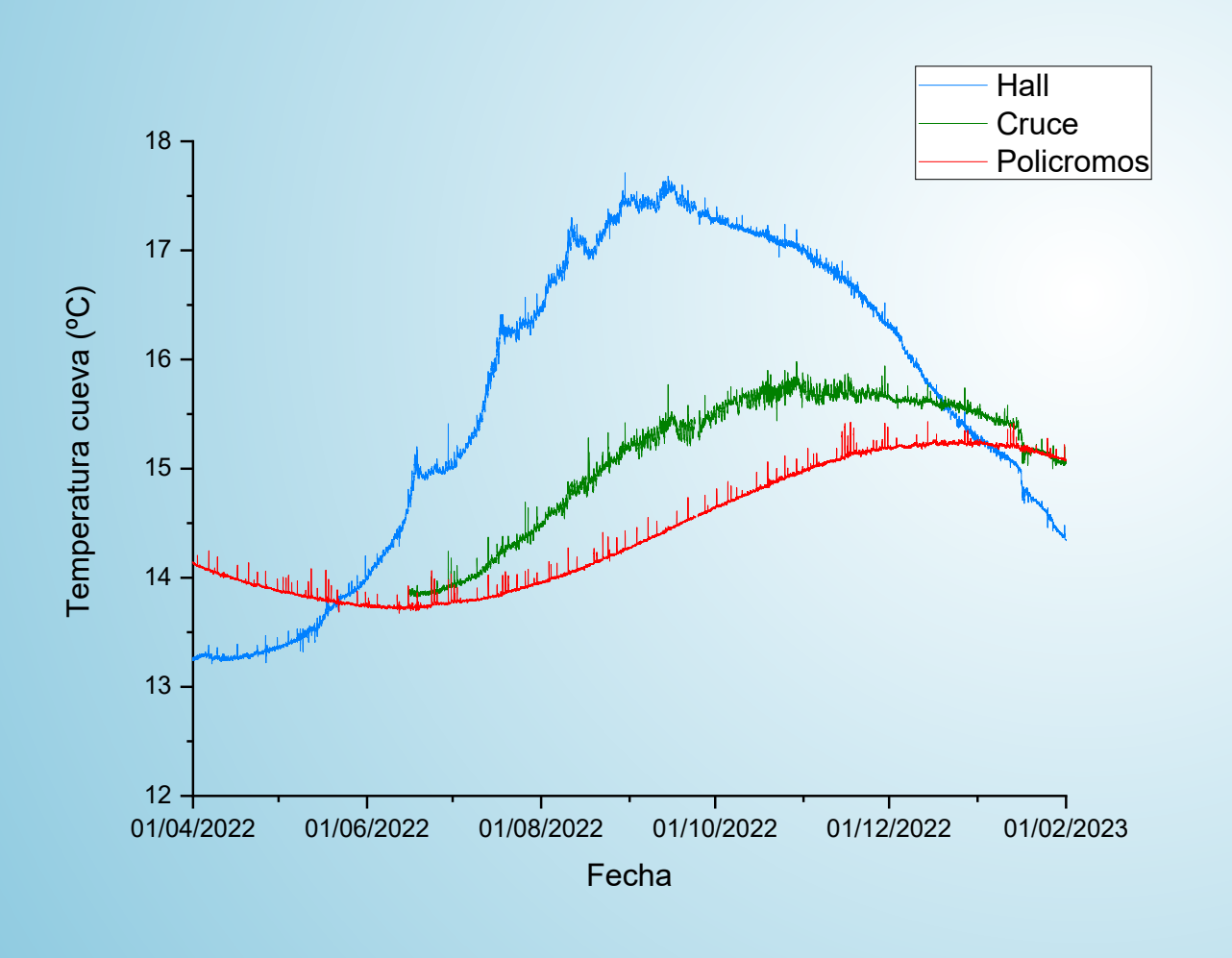
Enfriamiento Cruce



Transporte a Policromos (enfriamiento)

Cambios dinámica interna

"Situación 2": t (Hall) > t (Cruce) > t (Policromos) // (junio-diciembre)



Intercambio Cruce → Hall



Calentamiento Cruce



"Aislamiento" Policromos



Radon y CO₂: Control de calidad

CO₂: Calibración realizada in-situ Nov. 2021

Radón: Detectores Pasivos CR-39 (Radosys RSKS)

Monitores en continuo: Radon Scout (SARAD GmbH)



LaRUC: Laboratorio acreditado para Ensayos y Calibración (ISO 17025)

Ejercicios de Intercomparación

Ensayos en paralelo entre técnicos

Determinación del factor de calibración en la cámara de radón







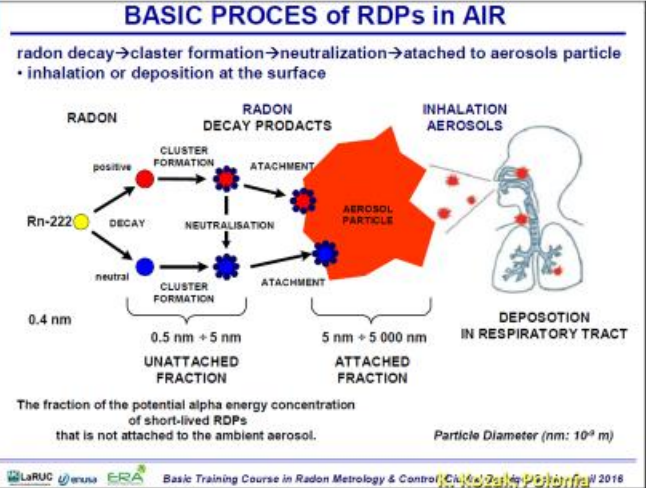
Radon: Dosimetría



Actualización marco legislativo

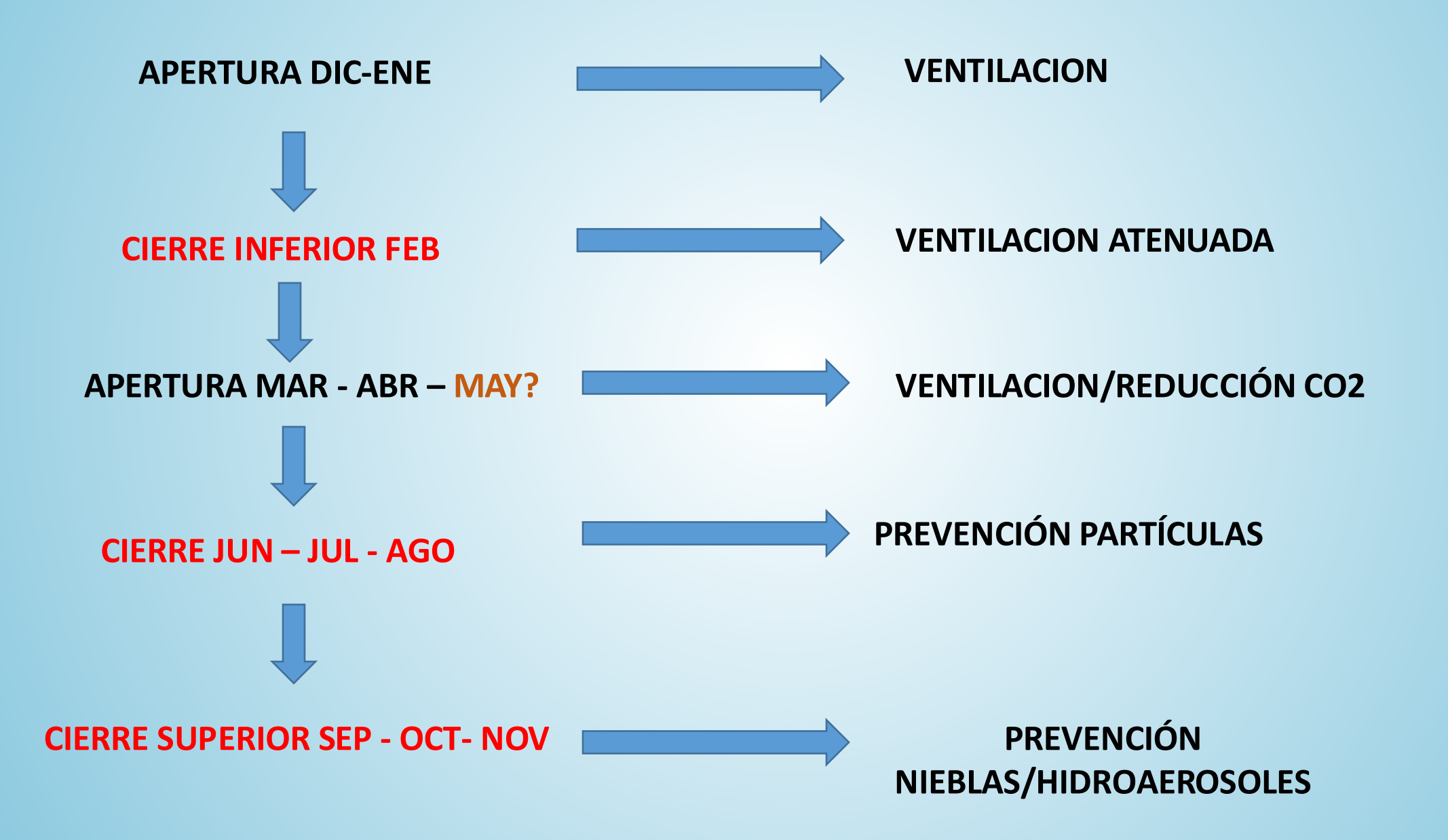
Posibilidad determinación factor de equilibrio por medida de descendientes.

Evaluación más precisa de dosis



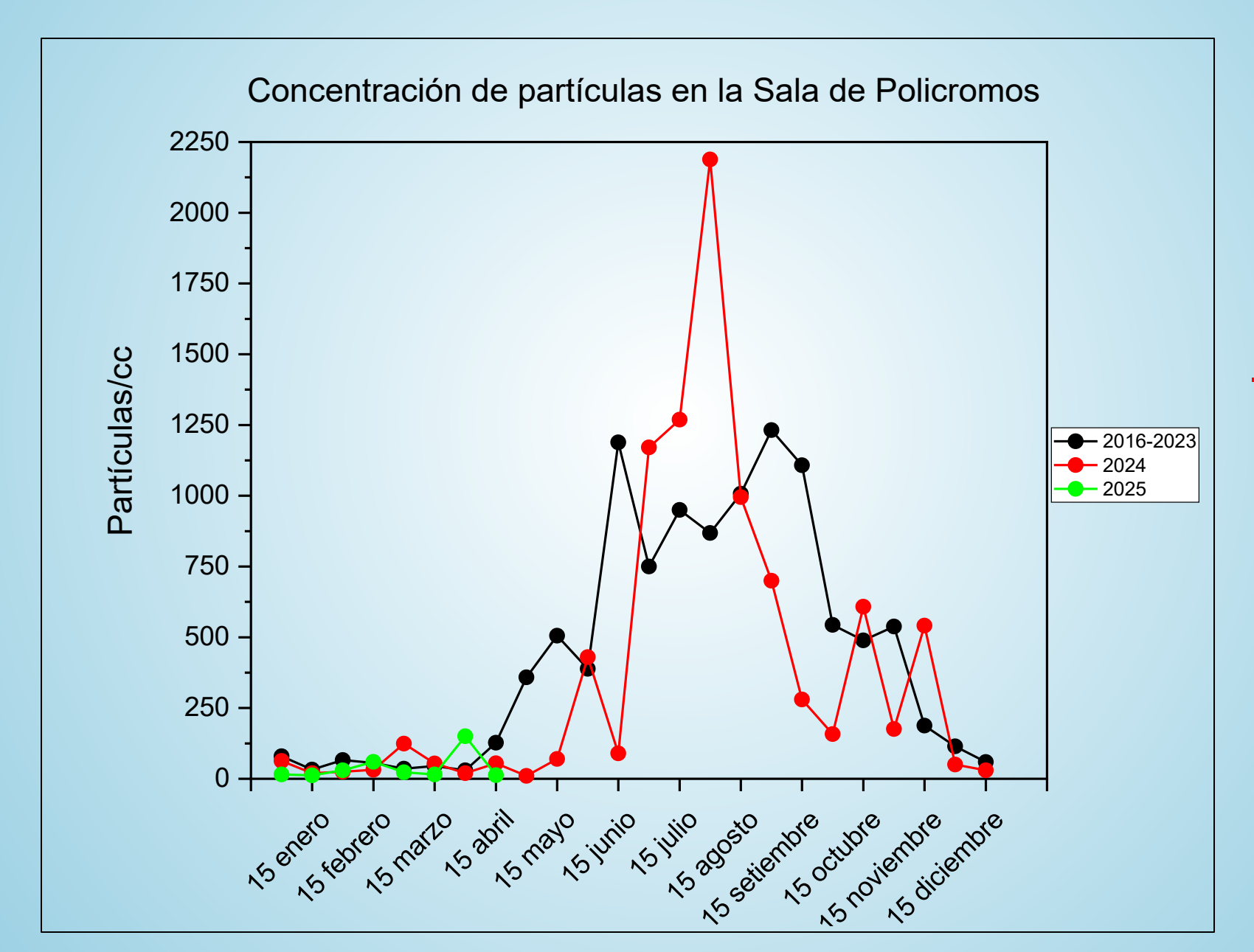
23

PROPUESTA 2º CIERRE





Concentración de Partículas



Adquisición de equipo nuevo de iguales características



pH - Equipamiento



Thermo Scientific

Equipo: Orion Star A329

Sonda: 913600 Flat Surface

Toma de muestra superficial

Calibración disoluciones patrón:

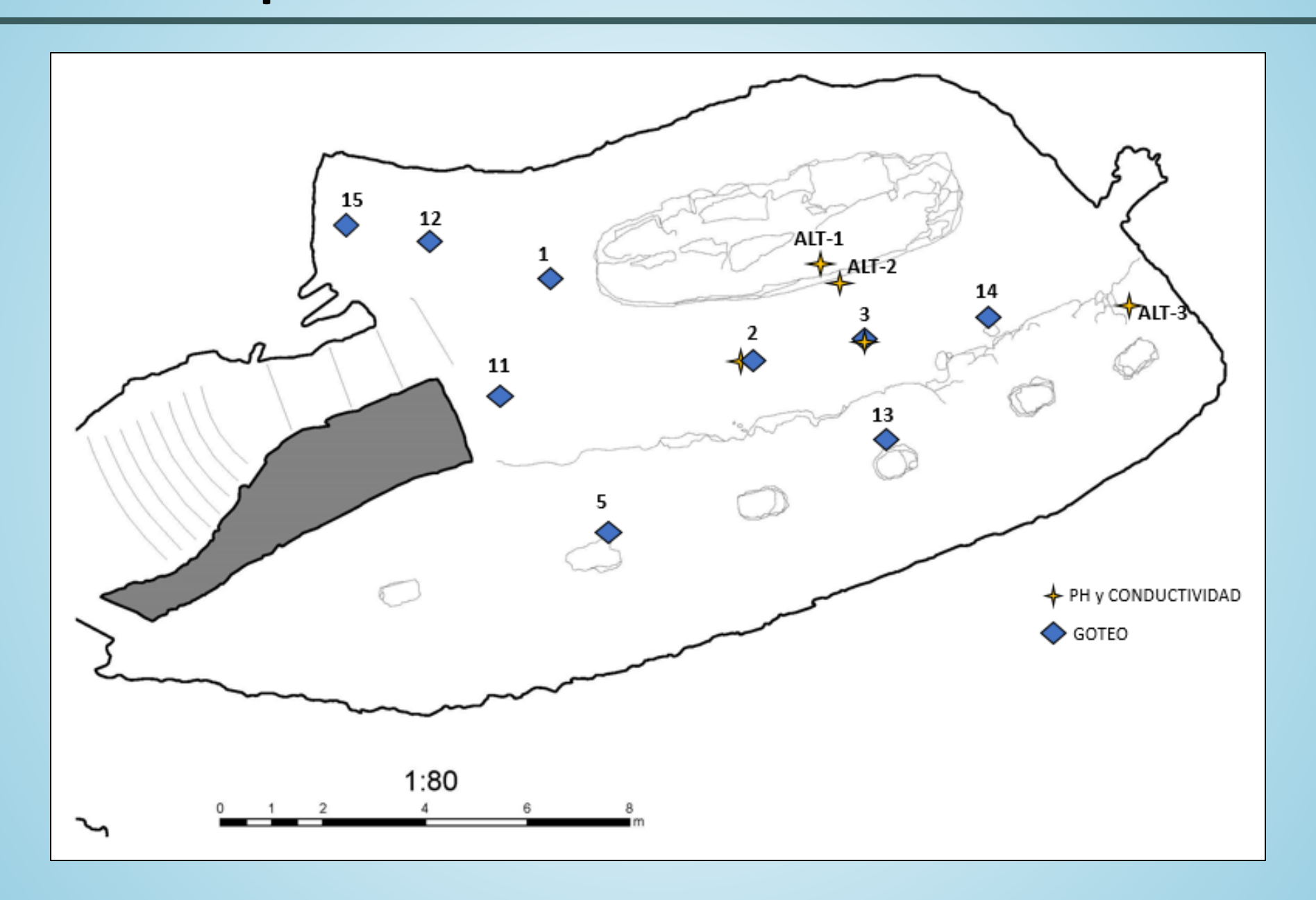
pH = 4, 7, 9

SENSIBILIDAD ± 0.01 pH





pH – Puntos Estudio Policromos













Periodo	Estado puerta A: Lamas superiores B: Lamas inferiores	Acción sobre Policromos
Noviembre-Enero	A: Abierta	Ventilación
	B: Abierta	
Febrero	A: Abierta	Ventilación atenuada
	B: Cerrada	CONTRACTOR CONTRACTOR SAN TON THE SAN
Marzo -hasta 15 Mayo	A: Abierta	Ventilación
	B: Abierta	
15 de Mayo- Septiembre	A: Cerrada	Prevención paso de
	B: Cerrada	partículas/hidroaerosoles
Octubre	A: Cerrada	Prevención paso
	B: Abierta	hidroaerosoles